ANALISIS DISPERSI UDARA AMBIEN DENGAN PARAMETER CO DAN KEBISINGAN DI TERMINAL ALAM BARAJO

TUGAS AKHIR

Disusun Untuk Memenuhi Salah Satu Syarat Memperoleh Gelar Sarjana Teknik



2000825201049

PROGRAM STUDI TEKNIK LINGKUNGAN FAKULTAS TEKNIK UNIVERSITAS BATANGHARI JAMBI 2025

HALAMAN PERSETUJUAN

ANALISIS DISPERSI UDARA AMBIEN DENGAN PARAMETER CO DAN KEBISINGAN DI TERMINAL ALAM BARAJO

TUGASAKHIR

Oleh

GHINA RINANDA PUTRI

2000825201049

Dengan mi Dosen Pembimbing Tugas Akhir Program Studi Teknik Lingkungan Fakultas Teknik Universitas Batanghari Jambi, menyatakan bahwa Tugas Akhir dengan Judul dan Penyusun sebagaimana tersebut diatas telah disetujui sesuai dengan prosedur, ketentuan, kelaziman yang berlaku pada Program Strata Satu (S1) Program Studi Teknik Lingkungan Fakultas Teknik Universitas Batanghari Jambi

数ない

Jambi, 22 Februari 2025

Pembimbing II

Peppy Herawati, S.T., M.T.

NIDN. 1012027402

Pembimbing I

Asih Suzana, S.T., M. T. NIDN. 1016068408

HALAMAN PENGESAHAN

ANALISIS DISPERSI UDARA AMBIEN DENGAN PARAMETER CO DAN KEBISINGAN DI TERMINAL ALAM BARAJO

Tugas Akhir ini telah dipertahankan pada Sidang Tugas Akhir Komprehensif Program Studi Teknik Lingkungan Fakultas Teknik Universitas Batanghari

Nama

: Ghina Rinanda Putri

NPM

: 2000825201049

Hari/Yanggal: Sabtu / 22 Februari 2025

TIM PENGUJI TUGASAKHIR

Ketua:

1. it. Siti Umi Kalsum, S.T., M Eng. NIDN, 1027067401

Anggota:

- 2. Asih Suzana, S.T., M.T. NJDN. 1016068408
- 3. Mahadi, S.T., M.Si. NIDN.1008038002
- 4. H. Henri Wibowo, S.T., M.E. NIP. 197702192005011003
- 5. Peppy Herawati, S.T., M.T. NIDN. 1012027402

Disahkan Oleh

Dekan Fakultas Teknik

Dr. ir. H. Fakhrul Rosi Vamali, M.E.

NIDN, 1015126501

Ketua Program Studi Teknik Lingkungan

1008038002

HALAMAN PERNYATAAN KEASLIAN



Yang bertanda tangan di bawah ini

Nama : Ghina Rinanda Putri

NPM : 2000825201049

Judul : Analisis Dispersi Udara Ambien

Dengan Parameter CO dan Kebisingan Di

Terminal Alam Barajo.

Menyatakan bahwa Laporan Tugas Akhir saya merupakan hasil karya sendiri didampingi tim pembimbing dan bukan hasil penjiplakan/plagiat. Apabila ditemukan unsur penjiplakan/plagiat dalam Laporan Tugas Akhir ini, maka saya bersedia menerima sanksi akademik dari Universitas Batanghari sesuai aturan yang berlaku.

Demikian, pernyataan ini saya buat dalam keadaan sadar dan tanpa ada paksaan dari siapapun.

Jambi,

April 2025

Ghina Rinanda Putri

ABSTRAK

ANALISIS DISPERSI UDARA AMBIEN DENGAN PARAMETER CO DAN KEBISINGAN DI TERMINAL ALAM BARAJO

Ghina Rinanda Putri: Dibimbing oleh Pembimbing I Peppy Herawati, ST, MT dan Pembimbing II Asih Suzana, ST, MT. XIV + 91 Halaman, 12 Tabel, 22 Gambar, 15 Lampiran

ABSTRAK

Terminal Alam Barajo merupakan satuan pelayanan yang dikelola oleh Balai Pengelola Transportasi Darat Kelas II Jambi. Saat ini menggunakan transportasi umum dengan bus masih menjadi pilihan bagi sebagian orang saat bepergian baik ke kota lain maupun hanya di dalam kota. Data jumlah kendaraan yang di dapat untuk kedatangan pen<mark>umpang naik 207% (4.198 o</mark>rang), untuk keberangkatan penumpang naik 452% (14.853 orang), untuk kedatangan bus turun 10% (304 bus) dan untuk keb<mark>erangkatan bus naik 55% (665</mark> bus). Tingginya intensitas kendaraan mengakib<mark>atkan pe</mark>ningkatan kadar pencemaran udara salah satunya yaitu karbon monoksida (CO) dan kebisingan. Tujuan dari penelitian ini untuk menganalisis konsentr<mark>asi</mark> karbon monoksida (CO) dan kebisingan pada udara ambien dan mengetahui pola sebaran konsentrasi karbon monoksida (CO) di Terminal Alam Barajo dengan menggunakan metode AERMOD. Metode pada penelitian ini adalah deskriptif kuantitatif yang bertujuan untuk menggambarkan tingkat kualitas udara ambien karbon monoksida (CO) dan kebisingan di Terminal Alam Barajo. Hasil penelitian ini adalah menunjukkan hasil konsentrasi CO berada di atas nilai ambang batas yang di tetapkan yaitu sebesar 10000 µg/Nm³ sesuai Peraturan Pemerintah Nomor 22 tahun 2021 tentang Penyelenggaraan Perlindungan Dan Pengelolaan Lingkungan Hidup pada jam maupun hari lain berada di bawah ambang batas yang telah di tetapkan. Hasil output pola dispersi yang diolah pada aplikasi AERMOD menunjukkan konsentrasi maksimum emisi CO di udara ambien sebesar 48377 µg/Nm dan yang terendah sebesar 10900 ug/Nm³ melebihi baku mutu menurut Peraturan Pemerintah Republik Indonesia Nomor 22 Tahun 2021 tentang Penyelenggaraan Perlindungan dan Pengelolaan Lingkungan Hidup sebesar 10000 µg/m³/1 Jam. Konsentrasi kebisingan tertinggi yaitu pada hari Jumat titik I dan konsentrasi kebisingan terendah yaitu pada hari Senin titik II sesuai Permenkes No 2 Tahun 2024 dengan nilai sebesar 60db(A). Kata Kunci: Karbon Monoksida (CO), AERMOD, Kebisingan, Terminal, Pola

Kata Kunci: Karbon Monoksida (CO), *AERMOD*, Kebisingan, Terminal, Pola Dispersi

ABSTRACT

AMBIENT AIR DISPERSION ANALYSIS WITH CO AND NOISE PARAMETERS AT TERMINAL ALAM BARAJO

Ghina Rinanda Putri: Supervised by supervisor I Peppy Herawati, ST, MT and Supervisor II Asih Suzana, ST, MT. XVII + 91 Pages, 12 Table, 22 Figures, 15 Appendinces

ABSTRACT

Alam Barajo Terminal is a service unit managed by the Class II Jambi Land Transportation Management Center. Currently, using public transportation by bus is still an option for some people when traveling to other cities or just within the city. Data on the number of vehicles obtained for passenger arrivals increased by 207% (4,198 people), for passenger departures increased by 452% (14,853) people), for bus arrivals down 10% (304 buses) and for bus departures up 55% (665 buses). The high intensity of vehicles results in an increase in air pollution levels, one of which is carbon monoxide (CO) and noise. The purpose of this study was to analyze the concentration of carbon monoxide (CO) and noise in ambient air and to determine the distribution pattern of carbon monoxide (CO) concentration at the Alam Barajo Terminal using the AERMOD method. The method in this study is quantitative descriptive which aims to describe the level of ambient air quality of carbon monoxide (CO) and noise at the Alam Barajo Terminal. The results of this study show that the CO concentration is above the threshold value set, which is 10,000 µg/Nm³ according to Government Regulation Number 22 of 2021 concerning the Implementation of Environmental Protection and Management at other hours and days it is below the threshold that has been set. The output results of the dispersion pattern processed in the AERMOD application show that the maximum concentration of CO emissions in ambient air is 48377 µg/Nm and the lowest is 10900 µg/Nm³, exceeding the quality standard according to Government Regulation of the Republic of Indonesia Number 22 of concerning the Implementation of Environmental Protection and Management of 10000 µg/m³/1 Hour. The highest noise concentration is on Friday point I and the lowest noise concentration is on Monday point II according to Minister of Health Regulation No. 2 of 2024 with a value of 60db(A).

Keywords: Carbon Monoxide (CO), AERMOD, Noise, Terminal, Dispersion Pattern

PRAKATA

Alhamdulillahirabbil'alamin, segala puji syukur atas khadirat dan rahmat dari Allah Subhanahuata'ala karena ridho dan karunia-Nya penulis dapat menyelesaikan Tugas Akhir dengan judul "Analisis Dispersi Udara Ambien Dengan Parameter CO dan Kebisingan di Terminal Alam Barajo". Ditujukan untuk memenuhi persyaratan kurikulum program Pendidikan Strata Satu (S-1) pada Program Studi Teknik Lingkungan Fakultas Teknik Universitas Batanghari Jambi.

Penyelesaian tulisan ini terutama dan teristimewa saya persembahkan kepada kedua orang tua saya tercinta, yaitu kepada Bapak Mukhwizal, ST., M.T dan Ibu Nurmida yang senantiasa selalu memberikan *support* kepada saya baik secara moral dan materil serta memberikan rasa kasih sayang yang sangat luar biasa dan didikan yang baik sekaligus doa yang selalu dipanjatkan kepada Allah SWT. kepada penulis sehingga penulis dapat menyelesaikan tulisan ini dengan baik.

Selama proses penyusunan dan penyelesaian laporan tugas akhir ini, penulis mendapatkan bimbingan, pengarahan dan *support* dari berbagai pihak. Oleh karena itu, penulis mengucapkan terimakasih kepada:

- Bapak Dr.Ir.H. Fakhrul Rozi Yamali, ME selaku Dekan Fakultas
 Teknik Universitas Batanghari Jambi;
- Bapak Marhadi, ST, M.Si selaku Ketua Program Studi Teknik Lingkungan;
- 3. Ibu Peppy Herawati, ST, MT selaku Pembimbing I yang telah

laporan ini;

- 4. Ibu Asih Suzana, ST., M.T selaku Pembimbing II yang telah memberikan pengarahan, bimbingan, dan masukan dalam penyelesaian laporan ini;
- Semua teman-teman saya yang telah memberikan support dalam penyelesaian laporan ini.

Penulis menyadari bahwa laporan penelitian tugas akhir ini tidak luput dari kekurangan dan kesalahan, dimana ada pepatah mengatakan tidak ada gading yang tidak retak. Oleh karena itu, penulis mengharapkan kritik dan saran yang bersifat membangun guna membuat laporan ini lebih baik lagi dan menjadi referensi serta masukan kedepannya dalam memenuhi referensi bagi Fakultas Teknik Lingkungan.

Akhir kata, penulis berharap laporan penelitian tugas akhir ini dapat bermanfaat bagi semuanya.

Jambi,

2025

Ghina Rinanda Putri

HALAMAN PERNYATAAN PERSETUJUAN PUBLIKASI

Yang bertanda tangan di bawah ini:

Nama

: Ghina Rinanda Putri

NPM

: 2000825201049

Judul

: Analisis Dispersi Udara Ambien Dengan Parameter CO Dan

Kebisingan Di Terminal Alam Barajo

Memberikan izin kepada pembimbing dan Universitas Batanghari untuk memublikasikan hasil penelitian saya untuk kepentingan akademik, apabila dalam waktu 1 (satu) tahun tidak memublikasikan karya penelitian saya. Dalam kasus ini saya setuju untuk menempatkan pembimbing sebagai penulis korespondensi (Corresponding Author).

Demikian pernyataan ini saya buat dalam keadaan sadar tanpa ada paksaan dari sipapun.

Jambi April 2025

Penulis

Ghina Rinanda Putri

DAFTAR ISI

HALA	AMAN PERSETUJUAN	ii
HALA	AMAN PENGESAHANError! Bookmark not def	ined.
HALA	AMAN PERNYATAAN KEASLIANError! Bookmark not def	ined.
ABST	TRAK	v
PRAK	ZATA	vii
HAL <i>A</i> define	AMAN PERNYATAAN PERSETUJUAN PUBLIKASI Error! Bookmar ed.	k not
DAFT	TAR TABEL	xiii
DAFT	CAR GAMBAR	xiv
BAB 1	I PENDAHULUAN	1
1.1	Latar Belakang	1
1.2	Rumusan Masalah	
1.3	Tujuan Penelitian	
1.4	Batasan Masalah	
1.5	Sistematika Penulisan	4
BAB 1	II TINJAUAN P <mark>USTAKA</mark>	
2.1	Pengertian Udara	
2.2	Kualitas CO Sebagai Parameter Udara Ambien	
2.3	Baku Mutu Udara Ambien dan Kebisingan	
2.4	Pencemaran Udara	
2.5	Sumber Emisi CO Di Kawasan Transportasi	10
2.5	5.1 Kualitas Udara Perkotaan	10
2.5	Sumber CO	10
2.6	Fenomena Pencemaran Udara	11
2.6	Lapse Rate Pada Kondisi Ambien dan Adiabatik	12
2.6	5.2 Stabilitas Atmosfer	13
2.7	Jenis Zat Pencemar	14
2.8	Tipe Polutan Udara	15
2.9	Bahan-Bahan Pencemar Udara	15
2.10	0 Dampak Polusi CO Terhadap Kesehatan Manusia	16
2.11	1 Sifat Toxic CO Didalam Udara	16
2.12	2 Karbon Monoksida (CO)	17
2.1	3 Sumber Pencemaran Karbon Monoksida (CO)	18
2 1	4 Pengaruh Karbon Monoksida (CO) Terhadan Kesehatan Manusia	19

2.15 Kualitas Udara	
2.16 Pengaruh Faktor Meteorologi Pada Pencemaran Udara	20
2.17 Metode NDIR	21
2.18 Model Dispersi Gauss Sumber Bergerak	22
2.19 Aplikasi Model Pencemaran Udara	29
2.20 Metode Grab Sampling	32
2.21 KMOON Carbon Monoxide Meter GM8805	32
2.22 Laju Alir (Flow Rate)	33
2.23 Kebisingan Lingkungan	33
2.24 Sumber Kebisingan	34
2.25 Dampak Kebisingan	35
2.25.1 Gangguan Fisiologis	
2.25.2 Gangguan Psikologis	36
2.25.3 Gangguan Komunikasi	36
2.25.4 Efek Pada Pendengaran	36
2.26 Kriteria Kebisingan	
2.27 Sound Level Meter	38
2.28 Studi Kasus Penelitian Terdahulu	49
BAB III METODOLOG <mark>I P</mark> ENELITIAN	55
3.1 Jenis Penelitian	55
3.2 Lokasi dan Waktu Penelitian	55
3.3 Alur Penelitian	58
3.4 Data Penelitian	59
3.5 Variabel Penelitian	59
3.6 Alat	60
3.7 Pelaksanaan Pengambilan Sampel	60
3.8 Metode Pengolahan dan Analisis Data	64
3.8.1 Konsentrasi Karbon Monoksida (CO)	64
3.8.2 Laju Alir (Flow Rate)	64
3.8.3 Koefisien Dispersi	65
3.8.4 Kebisingan	66
3.8.5 Arah Angin Dominan	
3.8.6 Pengolahan AERMOD	68
RAR IV HASIL DAN PEMBAHASAN	75

4.1 F	Hasil dan Analisis	75
4.2	Volume Kendaraan	76
4.3	Hasil Pengukuran Parameter Karbon Monoksida (CO)	79
4.4	Total Emision Rate	82
4.5	Permodelan Dispersi Sebaran Konsentrasi Karbon Monoksida (CO)	82
4.6	Analisis Kebisingan	84
4.7	Upaya Penanggulangan Dampak Pencemaran Udara	86
4.8	Upaya Penanggulangan Kebisingan Di Terminal Alam Barajo	86
BAB V	KESIMPULAN DAN SARAN	87
5.1	Kesimpulan	87
5.2	Saran	87



DAFTAR TABEL

Tabel 2.1 Baku Mutu Udara Ambien	9
Tabel 2.2 Sumber Pencemaran Karbon Monoksida (CO)	18
Tabel 2.3 Klasifikasi Kestabilan Atmosfer	
Tabel 2.4 Koefisien Stabilitas Atmosfer Pasquill	
Tabel 2.5 Daftar Penelitian Terdahulu Sebagai Landasan Teori	
Tabel 3.1 Titik Sampling dan Koordinat Lokasi Penelitian	
Tabel 4.1 Volume Kendaraan Titik I.	
Tabel 4.2 Volume Kendaraan Titik II	
Tabel 4.3 Hasil Pengukuran Parameter Karbon Monoksida (CO)	
Tabel 4.4 Hasil Konversi Satuan.	
Tabel 4.5 Total Emision Rate.	
Tabel 4.6 Hasil Perhitungan Parameter Kebisingan	



DAFTAR GAMBAR

22
28
28
29
31
32
39
56
57
58
67
68
69
69
70
71
72
73
76
77
80
Ionoksida

BABI

PENDAHULUAN

1.1 Latar Belakang

Menurut Peraturan Pemerintah Nomor 22 Tahun 2021 Tentang Penyelenggaraan Perlindungan Dan Pengelolaan Lingkungan Hidup Pada Lampiran VII, udara ambien adalah udara yang berada di sekeliling manusia dan berperan penting bagi kehidupan makhluk hidup di bumi. Perkembangan jumlah penduduk Provinsi Jambi disertai meningkatnya transportasi, sehingga dapat mempengaruhi kualitas udara ambien berubah serta kebisingan. Perkembangan jumlah penduduk penduduk Provinsi Jambi semakin meningkat pada tahun 2023 yaitu 3679,2 ribu jiwa (BPS Provinsi Jambi, 2022). Berkembangnya jumlah penduduk menyebabkan meningkatnya jumlah transportasi yang ada di Provinsi Jambi. Pada tahun 2018 <mark>- 2020 jumlah transp</mark>ortasi di Provinsi Jambi yaitu sebanyak 5.918.395 unit.

Perubahan kualitas udara ambien umumnya disebabkan masuknya polutan ke udara ambien, salah satunya yaitu senyawa karbon monoksida (CO). Karbon monoksida (CO) merupakan senyawa yang tidak memiliki bau, rasa, dan juga warna (Haruna.M.F, 2020). Permasalahan yang ditimbulkan pada bidang transportasi bukan hanya masalah kemacetan tetapi juga masalah lingkungan seperti polusi suara atau kebisingan. Kebisingan atau sound level adalah bentuk suara yang tidak diinginkan atau bentuk suara yang tidak sesuai dengan tempat

dan waktunya. Suara tersebut tidak diinginkan karena mengganggu pembicaraan dan telinga manusia, yang dapat merusak pendengaran atau kenyamanan manusia (Meylinda, 2020).

Terminal Alam Barajo merupakan satuan pelayanan yang dikelola oleh Balai Pengelola Transportasi Darat Kelas II Jambi. Terminal Tipe A Alam Barajo berlokasi di Jalan Lingkar Barat III RT. 35 Kecamatan Alam Barajo – Kota Jambi dengan luas lahan 65.280 m². Terminal Alam Barajo adalah terminal di Kota Jambi sebagai pusat aktivitas kendaraan dan pusat transportasi umum di Kota Jambi, dan memiliki 16 trayek yang melayani jalur Antar Kota-Antar Provinsi (AKAP), Antar Kota Dalam Provinsi (AKDP). Saat ini menggunakan transportasi umum dengan bus masih menjadi pilihan bagi sebagian orang saat bepergian baik ke kota lain maupun hanya di dalam kota. Data jumlah kendaraan yang di dapat dari (Dinas Perhubungan Kota Jambi, 2024). Kedatangan Penumpang: Naik 207% (4.198 orang) Keberangkatan Penumpang: Naik 452% (14.853 orang) Kedatangan Bus: Turun 10% (304 bus) Keberangkatan Bus: Naik 55% (665 bus). Tingginya intensitas kendaraan mengakibatkan peningkatan kadar pencemaran udara dan kebisingan.

Berdasarkan penelitian di atas maka diperlukan penelitian untuk menganalisis konsentrasi CO, kebisingan, dan pola sebaran CO menggunakan permodelan AERMOD, yaitu sistem permodelan disperse astmosferik yang terdiri dari tiga modul yang terintegrasi yaitu model disperse untuk kondisi tunak, pra pengolah data meteorologi, dan pra pengolah data permukaan bumi. Permodelan AERMOD berfungsi untuk melihat penyebaran polusi pada daerah pedesaan dan perkotaan,

area datar dan medan yang kompleks, permukaan datar dan berelevasi, dan berbagai sumber (termasuk titik wilayah dan sumber volume).

Penelitian dilakukan selama 3 hari yaitu hari Senin dan Jum'at yang mewakili hari kerja (*weekday*), hari Minggu yang mewakili hari libur (*weekend*) dengan waktu pengamatan di sesuaikan dengan jam keberangkatan bus di Terminal Alam Barajo dengan durasi satu jam (60 menit) per-titik yaitu pagi (07.00 - 08.00 WIB), siang (13.00 – 14.00 WIB), sore (17.30 – 18.30 WIB). Alat ukur yang digunakan adalah CO Meter Merek *Carbon Monoxide Meter* GM 8805 dan *Sound Level Meter* untuk kebisingan.

1.2 Rumusan Masalah

Berdasarkan latar belakang diatas, maka rumusan masalah dalam penelitian ini adalah :

- Bagaimana konsentrasi karbon monoksida (CO) dan kebisingan pada udara ambien di Terminal Alam Barajo?
- 2. Bagaimana pola sebaran karbon monoksida (CO) di Terminal Alam Barajo dengan menggunakan metode AERMOD?

1.3 Tujuan Penelitian

Adapun tujuan dari penelitian ini adalah:

 Menganalisis konsentrasi karbon monoksida (CO) dan kebisingan pada udara ambien di Terminal Alam Barajo Mengetahui pola sebaran konsentrasi karbon monoksida (CO) di Terminal
 Alam Barajo dengan menggunakan metode AERMOD

1.4 Batasan Masalah

Adapun batasan masalah dalam penelitian ini adalah sebagai berikut :

- 1. Penelitian ini dilakukan di Terminal Alam Barajo;
- 2. Parameter yang diukur adalah karbon monoksida (CO) dan kebisingan;
- Pengukuran parameter karbon monoksida (CO) dilakukan dengan menggunakan alat CO Meter merk KMOON CARBON MONOXCIDE Meter GM8805 dan Sound Level Meter untuk kebisingan;
- 4. Penelitian ini dilakukan di 2 titik yaitu titik 1 di gerbang dan titik 2 di terminal;
- 5. Waktu sampling parameter karbon monoksida (CO) dilakukan selama 3 (tiga) hari yaitu pada hari Senin dan Jum'at yang mewakili hari sibuk kerja (weekday), hari Minggu yang mewakili hari libur kerja (weekday), selama 1 jam (60 menit) pada pagi hari jam (07.00 08.00 WIB), siang hari jam (13.00 14.00 WIB), dan sore hari jam (17.30– 18.30 WIB).
- Menganalisis dispersi karbon monoksida (CO) menggunakan metode AERMOD;

1.5 Sistematika Penulisan

Laporan tugas akhir ini disusun dengan sistematika penulisan sebagai berikut

BAB I PENDAHULUAN

Bab I ini berisikan kerangka dasar dari laporan tugas akhir meliputi latar belakang penelitian, tujuan penelitian, maksud dan tujuan penelitian serta sistematika penulisan laporan.

BAB II TINJAUAN PUSTAKA

Bab II ini berisi pemaparan tentang teori pencemaran udara ambien dan kebisingan, sumber pencemaran udara ambien dan kebisingan, dampak pencemaran udara ambien dan kebisingan

BAB III METODOLOGI PENELITIAN

Bab III ini berisi penjelasan tentang prosedur metodologi pelaksanaan penelitian, tahapan penelitian di lapangan dan penjelasan teknis analis.

BAB IV HASIL DAN PEMBAHASAN

Pada Bab IV dibahas mengenai proses dan hasil penelitian, perhitungan dan pengolahan data, serta pembahasan hasil penelitian.

BAB V KESIMPULAN DAN SARAN

Pada bab ini berisi kesimpulan dan saran hasil penelitian.

BAB II

TINJAUAN PUSTAKA

2.1 Pengertian Udara

Udara ambien adalah udara bebas di permukaan bumi pada lapisan troposfir yang berada di dalam wilayah yurisdiksi Republik Indonesia yang dibutuhkan dan berpengaruh terhadap kesehatan manusia, makhluk hidup, dan unsur Lingkungan Hidup lainnya (PP Nomor 22 Tahun 2021).

Udara adalah faktor pendukung utama kehidupan manusia di bumi dan komponen penyusun yang paling penting adalah oksigen (Prabowo. K, 2018). Udara di alam tidak pernah ditemukan bersih tanpa adanya polutan sama sekali. Beberapa gas seperti sulfur dioksida (SO₂), hidrogen sulfida (H₂S), dan karbon monoksida (CO) selalu dibebaskan ke udara sebagai produk sampingan dari proses-proses alami aktivitas vulkanik, pembusukan tanaman, kebakaran hutan dan sebagainya (Fardiaz, 2011).

Udara merupakan campuran banyak komponen yang terdiri dari gas, partikel cair, partikel padat, energi, ions, zat organik yang terdistribusi acak dan bebas mengikuti volume bentuk ruang. Komposisi udara sangat fluktuatif dinamis, daerah komposisi udara di dataran tinggi berbeda dengan dataran rendah, daerah pada khatulistiwa berbeda dengan daerah kutub, daerah banyak vegetasi berbeda dengan daerah industri (Cahyono, 2017).

2.2 Kualitas CO Sebagai Parameter Udara Ambien

Udara ambien merupakan udara bebas di permukaan bumi pada lapisan troposfer yang dibutuhkan dan berpengaruh pada kesehatan makhluk hidup, termasuk manusia dan unsur lingkungan hidup lainnya (Kurniawati, 2015). Dalam keadaan normal, udara ambien ini akan terdiri dari gas nitrogen (78%), oksigen (20%), argon (0.93%) dan gas karbon dioksida (0.03%).

Terminal bus yang digunakan sebagai tempat persinggahan bus yang baru tiba maupun yang akan berangkat berpotensi memiliki konsentrasi pencemaran yang tinggi dibanding daerah pemukiman. Salah satu sumber pencemaran udara yaitu penggunaan kendaraan yang menghasilkan emisi gas buang kendaraan karbon monoksida (CO). polutan yang dihasilkan dari kendaraan salah satunya adalah (CO). CO adalah suatu gas yang tidak berwarna, tidak berbau, dan tidak berasa dengan jumlah sedikit di udara sekitar 0,1 ppm yang berada di lapisan atmosfer, oleh karena itu lingkungan yang tercemar oleh gas CO tidak dapat dilihat oleh mata. Gas CO diproduksi oleh proses pembakaran yang tidak sempurna dari bahan-bahan yang mengandung karbon. Gas CO Sebagian besar berasal dari pembakaran bahan bakar fosil dengan udara, berupa gas buangan. Tingginya konsentrasi CO dapat menjadi salah satu penyebab gas rumah kaca yang berpengaruh terhadap naiknya suhu udara dan kelembaban udara di bumi (Wirosoedarmo et al, 2020).

Tingginya tingkat penggunaan kendaraan khususnya penggunaan kendaraan yang masuk dan keluar terminal juga akan mengeluarkan berbagai zat pencemar, salah satunya yaitu CO. CO memiliki sifat kimia yaitu, terdiri dari 1 atom karbon,

memiliki reaktivitas rendah, dan mudah terbakar. Keluarnya berbagai zat pencemar di terminal akan berdampak pada kesehatan masyarakat seperti sopir, petugas parkir, dan penjual yang ada di sekitar area terminal (Pangerapan dkk, 2018).

2.3 Baku Mutu Udara Ambien dan Kebisingan

Berdasarkan Peraturan Pemerintah No. 22 tahun 2021 Lampiran VII untuk baku mutu udara ambien adalah ukuran batas atau kadar zat, energi, dan/atau komponen yang ada atau yang seharusnya ada dan/atau unsur pencemar yang ditenggang keberadaanya dalam udara ambien yang melebihi baku mutu dapat merusak lingkungan sekitarnya dan berpotensi menganggu kesehatan masyarakat sekitarnya. Baku mutu udara adalah ukuran batasan atau kadar zat, energi, dan/atau komponen yang ada pada udara, udara yang melebihi baku mutu dapat merusak lingkungan sekitarnya dan berpotensi menggangu kesehatan masyarakat. Baku mutu dinyatakan sebagai massa polutan per unit volume efluen, yang mana volume efluen bergantung pada suhu, tekanan gas, dan ada atau tidaknya udara yang mengurangi konsentrasi polutan (Suryani, 2021).

Berdasrkan (Keputusan Menteri Negara Lingkungan Hidup Nomor : KEP-48/MENLH/11/1996). Kebisingan adalah bunyi yang tidak diinginkan dari usaha atau kegiatan dalam tingkat dan waktu tertentu yang dapat menimbulkan gangguan kesehatan manusia dan kenyamanan lingkungan.

Tabel 2.1 Baku Mutu Udara

No.	Parameter	Waktu	Baku Mutu	Sistem
		Pengukuran		Pengukuran
1.	Karbon	1 jam	$10000 \mu g/Nm^3$	Aktif kontinu
	Monoksida	8x jam	$4000 \mu\mathrm{g/Nm}^3$	Aktif kontinu
	(CO)	-		

Sumber: Peraturan Pemerintah Nomor 22 Tahun 2021

Tabel 2.2 Baku Mutu Udara

No.	Parameter	Waktu	Baku Mutu	Sistem
		Pengukuran		Pengukuran
	Kebisingan			
	a.perdagangan		70 db(A)	
	dan jasa			
	b.pemerintahan		60 db(A)	
	dan fasilitas			
	umum			

Sumber : Keputusan Menteri Negara Lingkungan Hidup Nomor : KEP-48/MENLH/11/1996

2.4 Pencemaran Udara

Pencemaran udara adalah masuk atau dimasukkannya zat, energi, dan/atau komponen lainnya ke dalam udara ambien oleh keigatan manusia sehingga melampaui baku mutu udara ambien yang ditetapkan (Peraturan Pemerintah RI Nomor 22 Tahun 2021).

Pencemaran udara pada dasarnya berbentuk partikel (debu, aerosol, timah hitam) dan gas (CO, NOx, SOx, H2S, Hidrokarbon). Udara yang tercemar dengan partikel dan gas ini dapat menyebabkan gangguan kesehatan yang berbeda tingkatan dan jenisnya, tergantung dari macam, ukuran dan komposisi kimiawinya. Gangguan tersebut terutama terjadi pada fungsi faal dari organ tubuh

seperti paru – paru dan pembuluh darah, atau menyebabkan iritasi pada mata dan kulit (Soedomo, 2001)

Tingginya jumlah kendaraan yang ada di Terminal Alam Barajo menyebabkan masyarakat yang beresiko terpapar polusi akibat gas buangan kendaraan transportasi terutama CO. Beberapa jenis pekerjaan sangat rentan dengan pemaparan CO dan masalah kesehatan yang dapat ditimbulkannya.

2.5 Sumber Emisi CO Di Kawasan Transportasi

2.5.1 Kualitas Udara Perkotaan

Diperkotaan terutama di wilayah yang padat kendaraan, CO menjadi ancaman serius bagi kualitas udara. Terminal bus, kawasan industri dan area dengan lalu lintas padat pada umumnya memiliki konsentrasi CO yang lebih tinggi. Gas CO sebagian besar berasal dari pembakaran bahan fosil dengan udara, berupa gas buangan. Di kota besar yang padat lalu lintasnya akan banyak menghasilkan gas CO sehingga kadar CO dalam udara relatif tinggi dibandingkan dengan daerah pedesaan. Selain itu dari gas CO dapat pula terbentuk dari proses industri. Secara alamiah gas CO juga dapat terbentuk, walaupun jumlahnya relatif sedikit, seperti gas hasil kegiatan gunung berapi, proses biologi dan lain-lain (Wardhana, 2004).

2.5.2 Sumber CO

CO dihasilkan dari proses pembakaran tidak sempurna dimana jumlah oksigen yang tersedia tidak cukup untuk mengubah karbon menjadi karbon dioksida (CO₂). Kendaraan bermotor merupakan kendaraan yang menggunakan

bahan bakar bensin atau diesel, terutama yang mesinnya berjalan dalam idle (mesin hidup tetapi kendaraan tidak bergerak). Pada kondisi seperti ini kendaraan mengeluarkan CO dalam jumlah besar. Hal ini terjadi di terminal karena kendaraan menunggu penumpang atau berhenti sementara dengan mesin hidup.

Kendaraan tidak terawat memiliki sistem pembakaran yang tidak efisien cenderung menghasilkan lebih banyak emisi CO. Bus, angkot atau kendaraan lain di terminal yang beroperasi lama tanpa perawatan yang baik dapat menyumbang emisi CO yang tinggi. Lalu lintas padat dimana terminal adalah pusat aktivitas lalu lintas yang sibuk terutama jam sibuk adanya banyak kendaraan berjalan lambat atau berhenti yang dapat menyebabkan konsentrasi CO meningkat.

2.6 Fenomena Pencemaran Udara

Emisi gas atau partikulat baik yang berasal dari asap kendaraan bermotor, cerobong asap pabrik atau sumber lain apabila dikeluarkan ke atmosfer, karakteristiknya sangat sulit untuk diramalkan. Emisi pencemaran udara meliputi tiga skala, yaitu skala mikro (radius 1 km, misalnya di sekitar cerobong asap), skala meso (radius 100 km, misalnya angin dari gunung ke lembah), dan skala makro (radius ribuan kilometer, misalnya tinggi/rendah dari lautan atau benua). Skala ini juga berhubungan dengan waktu, dan karena kecepatan angin sampai dengan 5 m/det, maka pengaruh keadaan cuaca skala mikro pada rentang waktu dari menit sampai jam, pada skala meso dari jam sampai hari, dan pada skala makro dari harian sampai mingguan.

Sebagai contoh, tragedi meledaknya reaktor nuklir di Chernobyl di Ukraina tahun 1986, dalam beberapa jam aliran udara dalam skala mikro berpengaruh sangat serius terhadap penyebaran emisi. Setelah empat hari kejadian, deposit basah telah mencapai dataran tinggi Wales yang berjarak lebih kurang 2.300 km dari Chernobyl.

Penyebaran pencemaran udara seperti aliran udara dari pembangkit tenaga listrik, dari pabrik atau dari suatu kecelakaan, umumnya menyebar dalam suatu Lapisan Batas Atmosfer (LBA). Kecepatan angin pada permukaan bumi sangat kecil dikarenakan gesekan permukaan yang kasar. Jauh ke atas dari permukaan ini, kecepatan angin meningkat dengan jarak dikarenakan pergerakan bumi. Di dekat LBA kecepatan angin (dan arah) berfluktuasi secara acak sesuai dengan Tingkat kekasaran permukaan. Dalam zona ini, pengukuran kecepatan yang terjadi mempunyai komponen rata-rata dan berfluktuasi. Tentu saja kecepatan angin mempunyai arah tiga dimensi, tetapi vector arah angin mempunyai arah dominan pada Lokasi spesifik.

2.6.1 Lapse Rate Pada Kondisi Ambien dan Adiabatik

Di dalam lapisan trophosfer lebih rendah, suhu udara biasanya turun sesuai dengan *altitude* (ketinggian dari permukaan laut). Laju perubahan atau gradien suhu dikenal sebagai "*lapse rate*". Balon dilengkapi dengan thermometer kemudian dilepas akan bergerak ke atas dan mencatat suhu udara. Gradien suhu ini dikenal sebagai "ambient *lapse rate*" yang bervariasi dari hari ke hari dan dari musim ke musim. Ambient *lapse rate* biasanya menurun sepanjang waktu dengan naiknya *altitude*.

Di bawah kondisi adiabatik (tanpa ada penambahan dan kehilangan panas), turunnya suhu dari paket udara seperti naiknya balon ke udara. Udara dalam suatu paket berekspansi bila berkontak dengan udara yang mempunyai densitas rendah. Udara tersebut akan berekspansi hingga densitasnya sama dengan densitas udara sekitarnya.

2.6.2 Stabilitas Atmosfer

Atmosfer yang 'tidak stabil' terjadi apabila ALR melebihi DALR, yaitu laju pendinginan dengan kenaikan ketinggian >1 \(\triangle /100 \) m. kenaikan gradien suhu mendorong memperbesar turbulensi panas. Pada kasus ini, jika suatu paket udara dipindahkan ke atas (katakanlah oleh turbulensi mekanik), laju pendinginannya adalah \(\triangle /100 \) m, sehingga lebih hangat daripada lingkungan sekitarnya. Demikian juga, bila paket udara dipindahkan ke bawah, akan udara lebih dingin dan lebih padat daripada sekitarnya. Kondisi seperti ini dikatakan tidak stabil.

Atmosfer 'stabil' terjadi apabila ALR kurang dari DALR, laju pendinginan <1□/100 m. gradien suhu kurang curam sehingga kurang aktivitas turbulensi. Variasi dari kondisi ini adalah klas isothermal Dimana tidak ada variasi dari suhu terhadap ketinggian. Apabila paket udara di bawah ke atas, terjadi pendinginan ~1□/100 m. diperoleh bahwa, paket udara lebih dingin dari sekitarnya. Sama juga, apabila paket udara dibawa ke bawah, maka akan terjadi pemanasan pada ~1□/100 m.

Kondisi stabil inversi adalah suatu varian dari atmosfer stabil. Di sini, suhu meningkat sesuai dengan altitude. Apabila suatu udara dibawa ke atas akan terjadi pendinginan ~1 □ /100 m dan sebaliknya. Kondisi suhu inversi adalah suatu kondisi sangat stabil, menyebabkan udara tercemar tetap terperangkap di dalam atmosfer dalam waktu yang lama. Kondisi stabilitas yang berbeda tergantung pada kondisi meteorologi setempat.

2.7 Jenis Zat Pencemar

The environment protection agency (EPA) telah mengidentifikasi enam kriteria polutan sebagai suatu polutan karena dampaknya terhadap Kesehatan dan lingkungan. Keenam polutan tersebut adalah Ozon (O₃), partikulat (PM), karbon monoksida (CO), nitrogen dioksida (NO₂), sulfur dioksida (SO₂), dan timbal (Pb) (Williams dkk, 2014).

Menurut PTSL (2009), pencemar udara juga dapat digolongkan menjadi dua jenis yaitu berdasarkan kondisi fisik dan reaksi yang terjadi. Dilihat dari kondisi fisiknya, pencemar udara terdiri dari tiga komponen yaitu partikulat, gas, dan energi. Untuk partikulat terbagi dalam dua bentuk yaitu *solid* (debu) dan *liquid* (kabut), begitupun dengan gas terbagi menjadi organik dan anorganik, sedangkan energi meliputi suhu dan kebisingan. Dilihat dari reaksi yang terjadi, pencemar udara terbagi atas dua jenis, yaitu pencemar primer dan pencemar sekunder. Pencemar primer yaitu pencemar yang langsung berasal dari sumbernya seperti CO, NOX, SO₂ sedangkan pencemar sekunder adalah pencemar yang terbentuk oleh interaksi kimiawi antara pencemar primer dan senyawa-senyawa penyusun

atmosfir alamiah, sehingga terbentuk pencemar seperti Ozon (O3), asam nitrat, asam sulfat dan lainnya.

2.8 Tipe Polutan Udara

Tipe polutan udara dibagi menjadi 6 bagian, pembagian tersebut sebagai berikut (Mukhwizal, 2000):

- a. Karbon Oksida: CO, CO₂
- b. Sulfur Oksida: SO₂, SO₃
- c. Nitrogen Oksida
- d. Hidrokarbon : senyawa organik yang mengandung karbon dan hidrogen seperti metane, butane, benzene
- e. Oksidan fotokimia : ozon, PAN (golongan peroxyacyl nitrates), dan beberapa senyawa aldehid
- f. Partikulat (partikel padat atau cair di udara) : asap, debu, asbestos, partikel logam, minyak, garam-garam sulfat
- g. Senyawa inorganik : asbestos, hidrogen fluoride, hidrogen sulfida, ammonia, asam sulfat, asam nitrat
- h. Senyawa organik (mengandung karbon) pestisida, herbisida, berbagai jenis alcohol, asam-asam dan zat kimia lainnya
- i. Zat radioaktif: tritium, radon, emisi dari pembangkit tenaga

2.9 Bahan-Bahan Pencemar Udara

Bahan pencemar primer adalah bahan pencemar yang dikeluarkan dari suatu sumber yang dapat diidentifikasi, seperti SO_2 , CO, NO_x , SO_x , partikulat,

hidrokarbon, dan logam. Bahan pencemar sekunder adalah bahan pencemar yang terbentuk di atmosfer dari reaksi kimia, O₃, oksidan fotokimia misalnya peroksiasetil nitrat, dan hasil okidasi hidrokarbon. Bahan pencemar standar sebagai didefinisikan oleh USA, EC, dan WHO, adalah CO, NO₂, O₃, SO₂, *PM-10* (partikulat berukuran <10 mikrometer), dan timbal (WHO, 1987).

2.10 Dampak Polusi CO Terhadap Kesehatan Manusia

Karbon monoksida (CO) merupakan salah satu gas pencemar udara yang paling dominan mempengaruhi kesehatan manusia. Pengaruh gas pencemar udara terhadap kesehatan manusia dapat berakibat langsung maupun tidak langsung, seperti merusak susunan haemoglobin darah, penyakit infeksi saluran pernapasan akut (ISPA), iritasi tenggorokan, penyakit pneumokinosis, kardiovaskuler, dan kanker (Sugiarti, 2009 dalam Mallongi (2019). Karbon monoksida yang meningkat di berbagai perkotaan dapat mengakibatkan turunnya berat janin dan meningkatkan jumlah kematian bayi serta kerusakan otak. Karena itu strategi penurunan kadar karbon monoksida akan tergantung pada pengendalian emisi seperti penggunaan bahan katalis yang mengubah bahan karbon monoksida menjadi karbon dioksida dan penggunaan bahan bakar terbarukan yang rendah polusi bagi kendaraan bermotor (Sugiarti, 2009 dalam Mallongi (2019).

2.11 Sifat Toxic CO Didalam Udara

Penyebaran gas CO di udara tergantung pada keadaan lingkungan. Untuk daerah perkotaan yang banyak kegiatan industrinya dan lalu-lintasnya padat, udaranya sudah banyak tercemar oleh gas CO. Sedangkan daerah pinggiran kota atau desa, cemaran CO di udara relatif sedikit. Ternyata tanah yang masih terbuka

dimana belum ada bangunan di atasnya, dapat membantu penyerapan gas CO. Hal ini disebabkan mikroorganisme yang ada di dalam tanah mampu menyerap gas CO yang terdapat di udara. Angin dapat mengurangi konsentrasi gas CO pada suatu tempat karena dipindahkan ke tempat lain (Wardhana, 2004).

Secara umum terbentuknya gas CO adalah melalui proses berikut:

- a. Pembakaran bahan bakar fosil dengan udara yang reaksinya tidak stoikhiometris adalah pada harga ER>1
- b. Pada suhu tinggi terjadi reaksi antara karbon dioksida (CO2) dengan karbon (C) yang menghasilkan gas CO
- c. Pada suhu tinggi, CO2 dapat terurai kembali menjadi CO dan oksigen.

2.12 Karbon Monoksida (CO)

Karbon monoksida (CO) merupakan gas tidak berwarna, tidak berbau, dan tidak berasa. Gas ini sangat banyak sebagai bahan pencemar standar dengan emisi per tahun per kapita mencapai 100 kg. produk ini berasal dari pembakaran tidak sempurna bahan bakar hidrokarbon yang menghasilkan CO. Kira-kira 70 persen dari semua CO berasal dari sumber bergerak (mobile sources), umumnya berasal dari kendaraan bermotor. Gas ini berpengaruh tidak baik bagi Kesehatan manusia, karena mengganti oksigen dalam aliran darah dan membentuk karboksihemoglobion (COHb). Jika persentase COHb dalam darah melebihi 2 persen, maka akan merusak kesehatan manusia secara temporal. Bila kandungan di lingkungan melebihi 30 ppm, maka akan mengganggu aktivitas fisik yang parah. Menurut Petersen dan allen (1982), bahwa produksi emisi CO dari kendaraan bermotor lebih besar dibandingkan dengan emisi CO yang dipantau dari sumber tidak bergerak (*fixed site sources*).

2.13 Sumber Pencemaran Karbon Monoksida (CO)

Sumber utama penghasil karbon monoksida (CO) adalah kendaraan seperti sepeda motor, mobil, truk, dan bus karena adanya polutan Bahan Bakar Minyak (BBM) yang tidak sempurna (Aji dalam Ningsih.E. 2018).

Tabel 2.2 Sumber Pencemaran Karbon Monoksida (CO)

Sumber Pencemaran	% Bagian	% Total
Transportasi		63,8
Mobil Bensin	59	
Mobil die <mark>sel</mark>	0,2	
Pesawat Terb <mark>ang</mark>	2,4	
Kereta Api	0,1	
Kapal Laut	0,3	
Sepeda Motor	1,8	
Pembakaran Stasioner		1,9
Batu Bara	0,8	
Minyak	0,1	
Gas Alam	0	
Kayu	1	
Proses Industri		9,6
Pembuangan Limbah Padat		7,8
Lain-lain Sumber		16,9
Kebakaran Hutan	7,2	
Pembakaran Batu Bara Sisa	1,2	
Pembakaran Limbah	8,3	
Pertanian		

Pembakaran lain-lainnya	0,2	
Total	100	100
	(

Sumber: Esensi pencemaran udara. (Aly, 2023)

2.14 Pengaruh Karbon Monoksida (CO) Terhadap Kesehatan Manusia

Jaringan rute paparan karbon monoksida adalah melalui jalur pernapasan atau inhalasi (*inhalation route*). Pengaruh karbon monoksida (CO) terhadap kesehatan manusia disebabkan adanya reaksi antara karbon monoksida (CO) dengan hemoglobin (Hb) dalam darah. Hb dalam darah berfungsi untuk membawa oksigen (O2) dari paru-paru ke dalam sel-sel tubuh dan membawa oksigen (O2) dari sel-sel ke dalam paru-paru. Apabila terdapat karbon monoksida (CO) dalam hemoglobin darah maka akan membentuk COHb (karboksihemoglobin) (Prabowo.K dan Muslim.B, 2018).

2.15 Kualitas Udara

Kualitas udara merupakan salah satu elemen dalam lingkungan industri yang wajib di monitor. Pada umumnya, pengukur kualitas udara dilakukan per 3 bulan sekali kualitas udara guna mengetahui adanya perubahan atau tingkat pencemaran udara baik oleh gas - gas tertentu dan suspen *particulate* atau debu di udara (Pratiwi, 2020).

Berbagai bahan pencemaran udara yang berasal dari sumber bergerak maupun tidak bergerak banyak mempengaruhi kualitas udara di lingkungan. Partikel pencemaran udara yang paling mendominasi dan mempengaruhi kesehatan manusia antara lain senyawa karbon monoksida (CO) (Sugiarti dalam Fahmi.M.H, 2019).

2.16 Pengaruh Faktor Meteorologi Pada Pencemaran Udara

Pencemaran udara dapat mrngalami pergerakan di atmosfer yang mana pergerakan ini terbagi menjadi 4 yaitu proses penyebaran (adveksi), proses perubahan (difusi), proses pengenceran (dilusi), proses penghilangan (disperse). (Suryani, 2021).

Pola dispersi merupakan proses terjadinya aliran polutan yang kontinu terlepas dari sumbernya dan bertiup oleh angin tetap (*stady state*) di atmosfer terbuka, aliran polutan tersebut berbelok ke bawah dan terus bergerak sesuai dengan arah rata-rata angin yang menyebabkan konsentrasi polutan dan membawanya menjauhi sumbernya sehingga konsentrasi polutan menjadi berkurang (Azizah, 2023).

Faktor meteorologi sangat berpengaruh pada proses disperse, beberapa faktor meteorologi yang dapat berpengaruh terhadap dispersi pencemaran udara :

1. Arah Angin

Arah angin merupakan faktor meteorologi yang dapat mempengaruhi disperse pencemaran udara karena arah angin dapat mempengaruhi arah penyebaran polutan udara (Suryani, 2021). Untuk menentukan arah angin pada waktu yang lama dan daerah yang luas umumnya dengan menggunakan metode *Windrose*.

2. Turbulensi

Turbulensi juga merupakan salah satu faktor meteorologi yang sangat mempengaruhi proses dilusi pencemaran udara di atmosfer, keadaan turbulensi ini sangat bagus untuk mendispersikan polutan sehingga dapat menurunkan kadar polutan udara di atmosfer. Turbulensi terbagi menjadi 2 ysitu mekanis dan secara panas (termal) dan turbulensi mekanis yang di pengaruhi oleh kecepatan angina (Suryani, 2021).

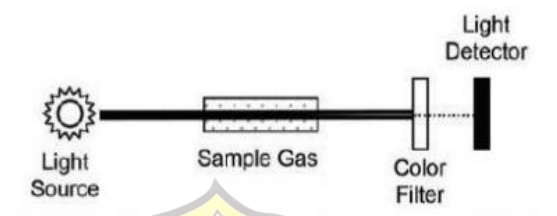
3. Inversi Suhu

Inversi suhu juga merupakan alah satu factor meterology yang mepengaruhi pencemaran udara, temperature/suhu ini mepengaruhi terciptanya turbulensi dan mepengaruhi arah angina. (suryani, 2021). Hal ini diakibatkan pada lapisan inversi (*inversion layer*) terjadi perbedaan susunan udara hangat dan dingin yang memiliki kerapatan yang berbeda, sehingga ketika radiasi panas di permukaan bumi lebih panas dibandingkan lingkungan sekitarnya yaitu pada malam hari, atau pada musim dingin saat sudut penyinaran matahari sangat kecil (Prabowo.K, 2018).

4. Kondisi atmosfer yang tidak stabil dapat menimbulkan turbulen sehingga pergerakan polutan naik turun (*vertical*) di atmosfer dapat terjadi sehingga akan meningkatkan pencampuran (*mixing*) polutan di atmosfer. Polutan yang bergerak secara vertikal ini sangat bagus untuk menurunkan konsentrasi polutan pencemaran udara di atmosfer (Suryani, 2021).

2.17 Metode NDIR

Non-Dispersif Infrared merupakan sebuah metode spektroskopi yang biasa digunakan untuk mendeteksi gas. Disebut non-dispersif karena metode ini melewatkan semua panjang gelombang inframerah dengan intensitas tertentu melalui tabung sampel tanpa deformasi. Terdapat tiga komponen utama dari non-dispersive infrared sensor yaitu, sumber inframerah, tabung sampel dan pendeteksi inframerah yang dalam hal ini adalah thermopile. Ilustrasi dari NDIR dapat dilihat pada gambar 2. Cahaya inframerah di arahkan melalui tabung sampel dan kemudian menuju detektor inframerah (Fadli, 2022).



Gambar 2.1 Detektor Radiasi Inframerah Non-Dispersif

2.18 Model Dispersi Gauss Sumber Bergerak

Model disperse gauss sumber bergerak adalah perkembangan dari gauss plume dengan mengansumsikan bahwa sebua deretan yang *mutually independent*, masing masing menghasilkan kepulan polutan. Sehingga konsentrasi pada seuatu titik di jalan di hitung sebagai jumlah konsentrasii titik-titik sumber pada jalan tersebut. Sumber bergerak bias berupa deretan industri di sepanjang pantai atau pinggitan sunai atau juga sepanjang jalan yang di padati kendaraan. Pencemaran udara dapat dimodelkan sebagai sumber bergerak yang terus menerus seperti jalan raya (Keyes, 2019). Pada model dispersi gauss terdapat beberapa hal yang perlu di perhatikan yaitu:

1. Stabilitas Atmosfer

Meteorologi mempelajari pergerakan molekul udara di atmosfer. Stabilitas atmosfer diperiksa dalam kondisi dimana ada perpindahan kecil volume udara dengan penerapan gaya external. Jika gaya luar mengakibatkan volume udara dibawah ke posisi semula sebelum dipindahkan, maka terdapat kondisi stabil di atmosfer. Sebaliknya, jika gaya luar membawa volume udara menjauhi posisi semula, maka terjadi kondisi tidak stabil. Stabilitas di atmosfer tergantung pada profil vertical suhu dan kelembaban udara ambien. Udara hangat memiliki kepadatan lebih rendah dari pada udara dingin dan karena itu lebih ringan. Situasi serupa terjadi untuk udara lembab yang memiliki densitas lebih rendah dari pada udara kering dan karena itu lebih ringan. Volume udara yang lebih hangat atau lebih lembab dari pada udara sekitar dicirikan sebagai tidak stabil dan akan naik ke atmosfer. Sebaliknya volume udara yang lebih dingin atau lebih kering dari udara sekitar dicirikan sebagai stabil dan akan turun ke atmosfer hingga mencapai kesetimbangan (Lazaridis, 2011).

Kondisi stabilitas di atmosfer terkait dengan kemampuan atmosfer untuk mencampur dan menyebarkan polutan. Kondisi ini juga menentukan kondisi turblen diatmosfer dan pembentukan awan. Atmosfer menjadi stabil pada waktu permukaan bumi lebih dingin dari pada lapisan udara diatasnya, misalnya pada malam hari yang terang dan dingin lapisan udara diatasnya terdinginkan dan akibatnya tidak terjadi pencampuran ke arah vertical. Parameter penyebaran oy dan oz merupakan fungsi dari:

• Stabilitas atau turbulensi atmosfer

- Jarak arah angin
- •Tinggi dari permukaan tanah
- •Kekasaran permukaan
- •Waktu transport polutan, dan
- •Kecepatann angin.

Nilai oy,dan oz merupakan fungsi dari stabiltas atmosfer (struktur turbulensi dan kecepatan angina) dan jarak dari sumber emisi. Stabilitas atmosfer diperkirakan berdasarkan kecepatan angina pada tinggi 10 meter pada siang hari (insolasi) atau pada malam hari (tertutup awan) (Aly, 2023).

Tabel 2.3 Klasifikasi Kestabilan Atmosfer

Kecepatan angin	siang (Solar Radiasi)			Malam	
m/det	Kuat	Sedang	Lemah	Mendung	Cerah
<2	A	A-B	В	Е	
2-3	A-B	В	C	E	F
3-5	В	B-C	C	D	E
5-6	C	C-D	D	D	D
>6	C	D	D	D	D

Sumber: Esensi pencemaran udara (Aly, 2023)

Catatan:

- Kecepatan angina diukur pada tinggi 10 meter
- Pada musim panas dengan matahari pada 60° diatas horizon.
 Radiasi matahari kuat = >700 Wm-2
- Pada musim panas dengan awan sedikit menutup langit atau hari terang dengan lokasi matahari 35-60° diatas horizon. Radiasi matahari sedang = 350-700 Wm-2

- Radiasi matahari sedikit = < 350 Wm-2
- Musim kemarau dan mendung. Fraksi Tutupan Awan ≥4 / 8
- Bagian langit tertutup mendung. Fraksi tutupan awan ≤3 / 8
- Untuk A B, B C, C D, D E atau E F merupakan nilai ratarata sebagai berikut:
- A = Sangat tidak stabil, B = Cukup tidak stabil, C = sedikit tidak stabil, D = netral (dianggap kondisi udara yang tertutup awan pada siang hari atau kondisi pada malam hari), E = sedikit stabil, dan F = stabil.

Metode ini memberikan indikasi yang representatif tentang stabilitas atmosfer untuk lokasi terbuka atau daerah pedesaan, tetapi kurang tepat untuk daerah perkotaan. Hal ini disebabkan terutana oleh adanya kekasaran permukaan daerah kota dan selanjutnya mempengaruhi efek pemanasannya. (Aly, 2023)

2. Parameter Dispersi

Persamaan model disperse Gauss menggunakan perhitungan dua parameter disperse yaitu oy dan oz untuk mengidentifikasi variasi konsentrasi pencemar dari pusat kepulan. Setelah menentukan kelas kestabilan atmosfer pada saat dilakukan pengukuran, maka nilai oy dan oz dapat diperkirakan pada jarak arah angina (x) yang dikehendaki. Rumus oy dan oz adalah sebagai berikut.

$$\sigma y = ax$$

$$\sigma z = 465, 11628x (tan \Box)$$

$$\Box$$
 = 0,017453293

Keterangan:

 σ y: koefisien disperse secara horizontal terhadap sumbu x (m)

 σz : koefisien dispersi secara vertikal terhadap sumbu x (m)

X : jarak dari titik emisi menurut arah angina (m)

A : koefisien tergantung x dan stabilitas atmosfer

B : koefisien tergantung x dan stabilitas atmosfer

C: koefisien tergantung x dan stabilitas atmosfer

D : koefisien tergantung x dan stabilitas atmosfer

 \square : radian

Penggunaan model disperse gauss memerlukan informasi tentang koefisien disperse dan variasinya yang tergantung stabilitas atmosfer, maupun jarak ke arah mengalirnya angin. Untuk menghitung nilai σ y diperlukan koefisien a dan b, sedangkan pada nilai σ z diperlukan koefisien c dan d. koefisien disperse tersebut secara empiris telah diperkenalkan oleh Pasquil-Gifford (Aly, 2023).

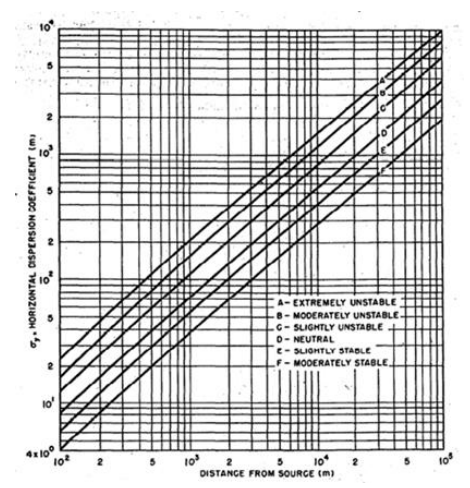
Tabel 2.4 Koefisien Stabilitas Atmosfer Pasquill

Pasquill Stability	X(km)	σ (meters)=ax	(x in km)
Category	A (KM)	A	b
A*	<0,10	122,800	0,94470
	0,10-0,15	158,080	105,420
	0,16-0,20	170,220	109,320
	0,21-0,25	179,520	112,620
	0,26-0,30	217,410	126,440
	0,31-0,40	258,890	140,940
	0,41-0,50	346,750	172,830

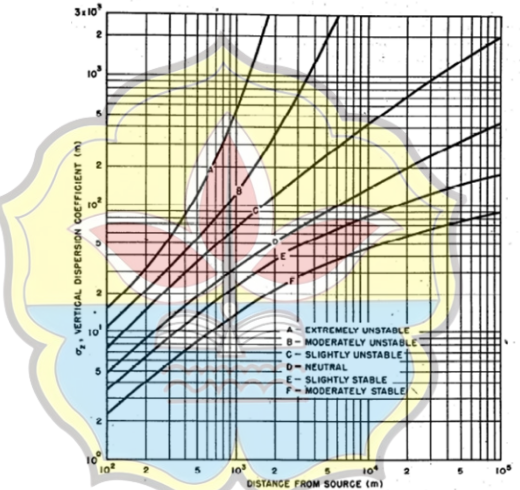
Pasquill Stability	, V (1)	σ (meters)=ax	(x in km)
Category	X(km)	A	b
A*	< 0,10	122,800	0,94470
	0,10-0,15	158,080	105,420
	0,16-0,20	170,220	109,320
	0,21-0,25	179,520	112,620
	0,51-3,11	453,850	2, 11660
	>3,11	**	**
B*	< 0,20	90,673	0,93198
	0,21-0,40	98,483	0,98332
	>0,40	109,300	109,710
C*	All	61,141	0,91465
D	< 0,30	34,459	0,86974
	0,31-1,00	32,093	0,81066
	1,01 - 3,00	32,093	0,64403
	3,01 - 10,00	33,504	0,60486
	10,01 - 30,00	36,650	0,56589
	>30,00	44,053	0,51179
Е	<0,10	24,260	0,83660
	0,10-0,30	23,331	0,81956
	0,31 – 1,00	21,6 <mark>28</mark>	0,75660
	1,01-2,00	21,628	0,63077
	2,01-4,00	22 <mark>,5</mark> 34	0,57154
	4,01 – 10,00	24 <mark>,7</mark> 03	0,50527
	10,01 - 20,00	2 6,970	0,46713
	20,01 - 40,00	35,420	0,37615
	>40,00	47,618	0,29592
F	< 0,20	15,209	0,81558
	0,21-0,70	14,457	0,78407
	0,71 - 1,00	13,953	0,68465
	1,01-2,00	13,953	0,63227
	2,01-3,00	14,823	0,54503
	3,01-7,00	16,187	0,46490
	7,01 - 15,00	17,836	0,41507
	15,01 - 30,00	22,651	0,32681
	30,01 - 60,00	27,074	0,27436
	>60,00	34,219	0,21716

^{* :} Jika hasil perhitungan dari

^{** :}sama dengan 5.000 m melebihi 5.000 m, maka diubah menjadi 5.000 m Sumber: Esensi pencemaran udara (Aly, 2023).



Gambar 2.2 Grafik koefisien dispersi pada sumbu-y di daerah rural



Gambar 2.3 Grafik koefisien dispersi pada sumbu-z di daerah rural Klasifikasi model berdasarkan periode waktu terdiri atas:

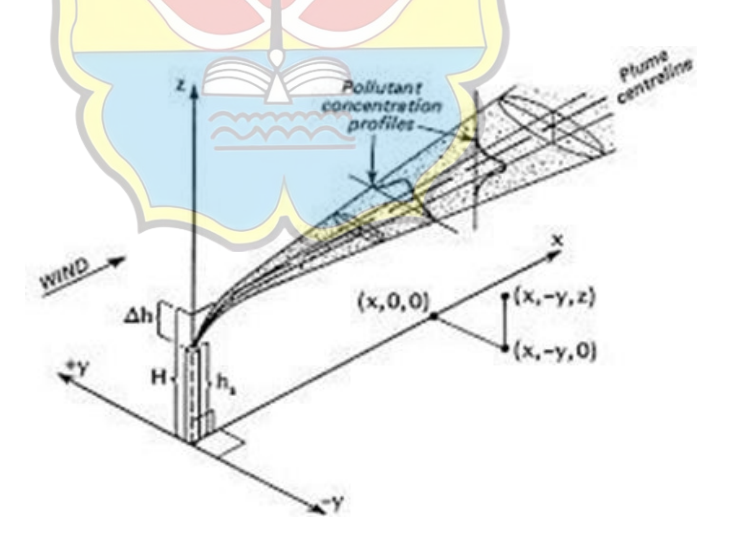
- Model jangka pendek (short-term); digunakan untuk memodelkan dalam beberapa jam atau hari
- Model jangka panjang (long-term); digunakan untuk memprediksi konsentrasi rata-rata tahunan serta dapat digukan untuk menghitung paparan terhadap Kesehatan

Klasifikasi model berdasarkan reaksi kimia:

- Model tidak reaktif (non-reactive); misalnya digunakan untuk pencemar PM, SO2 dan CO
- Model reaktif; yakni untuk pencemar 03, NO2, dsb

3. Garis Konsentrasi

Gambar 2.4 dibawah ini memberikan ilustrasi tentanf permodelan disperse polutan dengan model Gauss. Polutan Bergerak searah dengan arah angina pada sumbu x dan sumbu z adalah vertical dengan permukaan tanah. Pada proses difusi polutan, terjadi difusi tiga dimensi karena molekul-molekul polutan berdifusi pada sumbu x, sumbu y, dan sumbu z. Selain proses difusi, pada sumbu x juga terjadi proses adveksi atau transportasi polutan yang diakibatkan oleh angin (Puspitasari, 2011).



Gambar 2.4 Model Dispersi Gauss

2.19 Aplikasi Model Pencemaran Udara

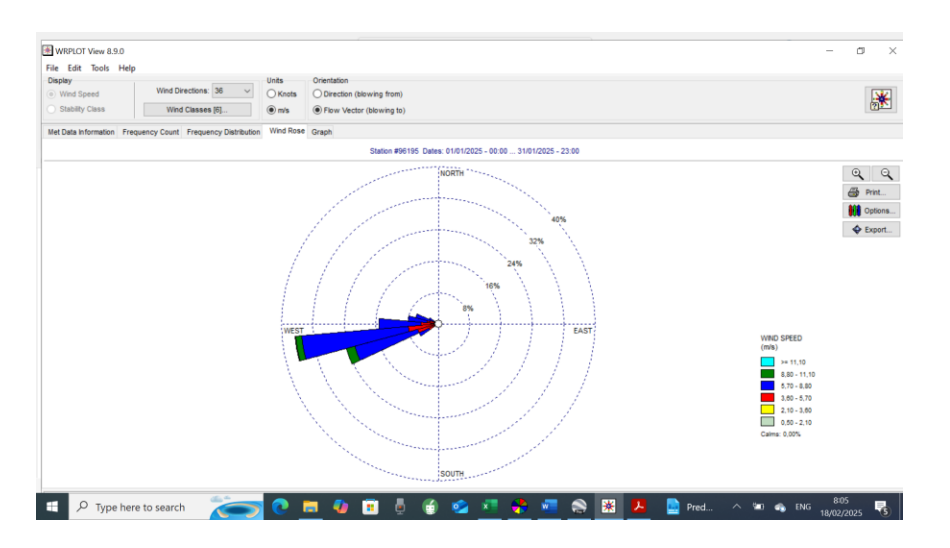
Salah satu aplikasi model pencemaran udara adalah model Aermod, Aermod adalah model kondisi tunak yang mengasumsikan bahwa kepulan menyebar

dalam arah horizontal dan vertikal yang menghasilkan distribusikan konsentrasi Gaussian (yaitu, seperti grafik distribusi normal yang berbentuk loncek). Model ini direkomendasikan oleh US EPA untuk memeriksa efek sumber pada reseptor yang umumnya berada dalam jarak 50 km dari sumber, dengan sistem pemodelan yang terdiri dari tiga komponen:

- AERMOD (model disperse)
- AERMET (pra-prosesor meteorologi)
- AERMAP (pra-prosesor medan)

Pada kondisi lapisan batas stabil (*stable boundary layer/SBL*), distribusi konsentrasi diasumsikan mengikuti persamaan Gauss baik dalam arah vertikal maupun horizontal. Pada lapisan batas konvektif (*convetive boundary layer/CBL*), distribusi secara horizontal juga diasumsikan mengikuti persamaan Gauss namun distribusi vertikalnya mengikuti fungsi probabilitas kepadatan bi-Gaussian. AERMOD juga memperhitungkan plume lofting, yaitu massa kepulan yang dilepaskan dari sumber, yang terus naik dan tetap tinggal pada lapisan batas paling atas sebelum akhirnya bercampur kedalam CBL.

Sistem permodelan AERMOD yang dikembangkan oleh *US Environmental Protection Agency* merupakan plume model mutakhir yang menggabungkan disperse udara berbasikan struktur turbulensi *planetary boundary layer* dan profil elevasi muka tanah. Data meteorologi yang diperlukan oleh AERMOD terdiri dari *surface profile* dan *upper air data*. AERMOD, melalui program AERMAP (EPA, 2004).



Gambar 2.5 Windrose

AERMOD merupakan langkah maju yang signifikan dalam pemodelan dispersi polutan dan telah menjadi standar industri dalam banyak aplikasi yang berkaitan dengan perencanaan lingkungan dan penilaian dampak kesehatan. AERMOD memperkenalkan konsep lapisan batas planetarium (*Planetary Boundary Layer/PBL*) yang menggambarkan bagaimana polutan bergerak dan menyebar dalam lapisan atmosfer di mana manusia hidup dan bernapas (EPA, 2004).

Kelebihan AERMOD yaitu:

- Cocok untuk skala pendek dan menengah (hingga beberapa puluh kilometer)
- 2. Memiliki kemampuan terbatas dalam menangani topografi yang kompleks
- 3. Cocok untuk sumber titik dan area yang tetap

2.20 Metode Grab Sampling

Grab sampling merupakan Teknik pengambilan sampel yang diambil dalam waktu sesaat pada lokasi tertentu. Alat ini berguna untuk menangkap partikel pencemar sesuai dengan parameter yang akan dianalisis. Grab sampling digunakan untuk pengambilan sampling kualitas udara ambien karbon monoksida (CO). Berdasarkan SNI 19-7119.9-2005, bahwa pemilihan lokasi dan penentuan titik pengambilan contoh uji kualitas udara roadside, harus mewakili daerah yang sedang dipantau sehingga data hasil pengukuran yang diperoleh menggambarkan kondisi kualitas udara di daerah tersebut (Prasasti, 2023).

2.21 KMOON Carbon Monoxide Meter GM8805

KMOON Carbon Monoxide Meter GM8805 adalah alat pendeteksi gas karbon monoksida (CO) yang memiliki fitur sedikit mengonsumsi daya, ukuran yang minimalis, dan sensitifitas yang tinggi. Pengukuran menggunakan alat ini memiliki respon waktu yang cepat serta akurasi yang tinggi, tampilan LCD yang besar serta kontras yang tinggi memudahkan untuk membaca hasil pengukuran kualitas udara ambien (Prasasti, 2023).



Gambar 2.6 KMOON Carbon Monoxide Meter GM8805

2.22 Laju Alir (Flow Rate)

Laju alir (flow rate) adalah ukuran seberapa banyak volume atau massa suatu zat, seperti cairan atau gas, yan mengalir melalui suatu titik atau permukaan dalam waktu tertentu. Biasanya, laju alir diukur dalam satuan volume per waktu atau massa per waktu.

Dalam konteks cairan, laju alir dapat dihitung dengan rumus:

 $Q = A \times v$

Dimana:

Q = Laju alir (volume per waktu)

A= Luas penampang aliran

v = Kecepatan aliran

2.23 Kebisingan Lingkungan

Kebisingan merupakan gelombang intensitas tinggi dan dapat mengganggu pendengaran, kebisingan adalah bunyi dalam Bahasa latin disebut sebagai *nausea* atau bunyi tidak diinginkan. Intensitas bunyi yang melebihi batas normal atau mengganggu pendengaran dapat dikatakan sebagai *nausea* atau kebisingan. Kebisingan memiliki dampak negative terhadap gangguan psikologis dan fisiologis pekerja (W.I.N Mukhlish, 2018).

Bising (*noise*) di artikan sebagai suara yang tidak diinginkan, atau dapat dianggap sebagai suara pada tempat dan waktu yang tidak sesuai. Tingkat "ketidakinginan" tersebut sering sebagai suatu masalah phsikologi, karena efek

suara dapat berkisar dari gangguan medium sampai merusak alat pendengaran secara permanen, dan diklasifikasi berbeda oleh orang yang berbeda pula.

Intensitas kebisingan merupakan nilai dari kebisingan jika berada dalam paparan tinggi dan dapat berakibat pada terjadinya *stress*. *Stress* adalah bentuk frustasi psikologi yang diakibatkan paparan kebisingan, efek yang ditimbulkan dari *stress* meliputi kelelahan, kegelisahan, depresi, dan emosi atau mudah marah bahkan berakibat sakit kepala dan gangguan tidur jika intensitas kebisingan yang dirasakan dalam jangka waktu lama (T. Budiyanto dan Ely Pratiwi, 2015).

Pencegahan kecelakaan kerja memberikan sebuah masalah, kemudian secara bertahap mulai dilakukan pencegahan berdasarkan analisis dan dihasilkan teori keselamatan kerja tradisional. Menurut penerapan teori tradisional yang dikombinasikan dengan upaya pemerintah, karyawan dan pihak lain yang terlibat dalam situasi keselamatan kerja telah berubah secara signifikan menjadi lebih baik. Penelitian dan aplikasi keselamatan kerja tradisional memainkan peran besar dalam mengurangi kecelakaan secara efektif dan mempromosikan Pembangunan ekonomi (D, Wu dan Z. Li, 2018).

2.24 Sumber Kebisingan

Menurut Suroto (2010), sumber-sumber kebisingan pada dasarnya dibagi menjadi tiga macam yaitu sumber titik, sumber bidang, dan sumber garis. Sumber-sumber kebisingan menurut Prasetio dapat bersumber dari :

1. Bising *Interior* (dalam)

Bising *interior* atau bising dalam yaitu sumber bising yang bersumber dari manusia, alat-alat rumah tangga, atau mesin-mesin gedung

2. Bising *Outdoor* (luar)

Bising *outdoor* atau bising luar yaitu sumber bising yang bersumber dari aktivitas lalu lintas, transportasi, industry, alat-alat mekanis yang terlihat dalam gedung, tempat-tempat pembangunan gedung, perbaikan jalan, kegiatan olahraga dan lain-lain diluar ruangan atau gedung.

2.25 Dampak Kebisingan

Tingkat kebisingan adalah suatu getaran yang ditangkap oleh otak sebagai bunyi dan diukur dengan skala decibel, kebisingan memiliki ambang batas yang dapat diterima oleh pendengaran. Pengaruh kebisingan berlebihan akan mengurangi kejelasan saat berbicara dan merusak komunikasi, menyebabkan gangguan, iritasi dan kelelahan serta mengurangi kualitas kesehatan pendengaran. Suara mesin mempunyai efek negative besar dalam jangka waktu yang lama, pekerja akan merasa terjebak dalam *sound cape* dan memicu timbulnya *stress* (A. Xyrichis, J. Wyne, 2018).

2.25.1 Gangguan Fisiologis

Bising dengan intensitas yang tinggi dapat menyebabkan pusing/sakit kepala. Hal ini disebabkan karena bising dapat merangsang reseptor dan vestibular dalam telinga dalam yang akan menyebabkan adanya efek pusing/vertigo. Sedangkan mual, susah tidur, dan sesak nafas disebabkan oleh rangsangan bising terhadap sistem saraf, keseimbangan organ, kelenjar endokrin, tekanan darah sistem pencernaan dan keseimbangan elektrolit.

Gangguan pada fisiologis dapat berupa peningkatan tekanan darah (± 10 mmHg), peningkatan nadi, konstriksi pembuluh darah perifer terutama pada tangan dan kaki, serta dapat menyebabkan pucat dan gangguan sensoris (Sucipto, 2014).

2.25.2 Gangguan Psikologis

Gangguan psikologis biasanya dengan gejala ringan berupa rasa tidak nyaman, susah tidur, kurang konsentrasi, dan cepat marah. Apabila hal ini dibiarkan dalam waktu yang lama dapat menyebabkan penyakit psikosomatik berupa gastritis, jantung, stress, kelelahan, dan lain-lain (Sucipto, 2014).

2.25.3 Gangguan Komunikasi

Gangguan komunikasi biasanya menyebabkan pembicaraan dapat dilakukan dengan cara berteriak, hal ini disebabkan karena masking effect (bunyi yang menutupi pendengaran yang kurang jelas) atau gangguan kejelasan suara. Gangguan ini menyebabkan terganggunya pekerjaan, sampai dapat juga terjadi kesalahan karena tidak mendengar isyarat atau tanda bahaya (Sucipto, 2014).

2.25.4 Efek Pada Pendengaran

Efek terbesar dari bising pada kesehatan adalah kerusakan pada indera pendengaran, yang dapat menyebabkan seseorang menjadi tuli progresif. Pada mulanya efek kebisingan pada pendengaran bersifat sementara dan pemulihannya dapat dilakukann dengan cepat setelah dihentikan di tempat kerja bising. Tetapi, apabila bekerja secara terus-menerus ditempat yang

bising mengakibatkan kehilangan daya dengar yang permanen (Suma'mur, 2014).

2.26 Kriteria Kebisingan

Sebagaimana telah dijelaskan sebelumnya, bahwa *loudness* adalah suatu suara yang ditentukan oleh tingkat tekanan suara dan frekuensinya. Ada suatu kesepakatan umum bahwa kebisingan di lingkungan atau komunitas dapat diukur dengan baik dalam unit dB Dimana hal ini mendekati tiruan loudness yang ditangkap oleh telinga. Walaupun demikian, level kebisingan selalu berubah sepanjang waktu dan suatu kriteria dibutuhkan untuk menentukan perubahan level seperti itu. Kepelikan masalah kebisingan dapat ditentukan melalui jumlah level kebisingan yang melebihi suatu ambang batas atau nilai standar dari kriteria yang spesifik. Hal yang diperlukan dari suatu kriteria kebisingan adalah, bahwa nilai kriteria tersebut berkolerasi secara baik dengan gangguan yang diterima oleh suatu komunitas pada berbagai Tingkat kebisingan. Idealnya suatu kriteria kebisingan harus sesederhana mungkin untuk memahami dan dapat digunakan terhadap sumber kebisingan apapun. Sejumlah perbedaan kriteria telah diusulkan (termasuk ISO 1996) dan kriteria paling sering digunakan adalah L_{eq}.

Nilai L_{eq} (*Equivalent Continuous Level*) tingkat kebisingan sinambung setara digunakan pada sumber kebisingan berfluktuasi. Besaran ini ditentukan melalui persamaan berikut ini

$$L_{eq} = 10 \text{ Log}_{10} \left[\frac{1}{T} \int_{0}^{T} \frac{p(t)^{2}}{p_{0}^{2}} dt \right].$$
 (Persamaan 2.1)

=10

$$\text{Log}_{10}[\frac{1}{T}\int_{0}^{T}10^{0,1Li}\text{dt}]...$$
 (Persamaan2.2)

Keterangan:

T = periode waktu sepanjang L_{eq} yang ditentukan

p (t) = besarnya tekanan suara seketika

 p_0 = tekanan suara referensi (20 µgPa)

Apabila metodologi pengambilan data dilakukan secara diskrete (terpisah), maka persamaan 2.12 menjadi

$$L_{eq} = 10 \text{ Log}_{10} \left[\frac{1}{T} \sum_{i=1}^{n} \frac{10^{0,1Li} t_i}{10^{0,1Li} t_i} \right]...$$
 (Persamaan 2.3)

Keterangan:

n = jumlah sampel

L_i = tingkatan kebisingan pada sampel i

t_i = fraksi dari waktu terhadap total waktu

2.27 Sound Level Meter

Sound level meter adalah suatu perangkat alat uji untuk mengukur tingkat kebisingan suara, hal tersebut sangat di perlukan terutama untuk lingkungan industri, contoh pada industri penerbangan dimana lingkungan sekitar harus diuji tingkat kebisingan suara atau tekanan suara yang ditimbulkannya untuk mengetahui pengaruhnya terhadap lingkungan sekitar.

Panduan menggunakan sound level meter:

- Pertama-tama aktifkan alat ukur sound level meter yang akan digunakan untuk mengukur
- 2. Pilih selektor pada posisi fast untuk jenis kebisingan continue atau berkelanjutan atau selektor pada posisi slow untuk jenis kebisingan impulsive atau yang terputus-putus
- 3. Pilih selektor range intensitas kebisingan
- 4. Kemudian, tentukan area yang akan diukur
- 5. Setiap area pengukuran dilakukan pengamatan selama 1-2 menit dengan kurang lebih 6 kali pembacaan
- 6. Hasil pengukuran berupa angka yang ditunjukkan pada monitor
- 7. Tulis hasil <mark>pengukuran dan hitung rata-rata k</mark>ebisingannya, maka akan diketahui hasil pengukuran dari kebisingan tersebut



Gambar 2.7 Sound Level Meter

2.28 Studi Kasus Penelitian Terdahulu

Pada penelitian ini terdapat beberapa landasan teori sebagai acuan dalam penyelesaian tugas akhir, beberapa penelitian yang telah di lakukan adalah:

Tabel 2.5 Daftar Penelitian Terdahulu Sebagai Landasan Teori

No	Penulis	Judul	Tujuan	Hasil
1.	Eko	Penerapan	Untuk	Perbandingan dengan data pemantauan
	Supriyadi	Finite Length	memprediksi	roadside menunjukkan sebanyak 55% hasil
	(2009)	Line Source	k <mark>ualitas ud</mark> ara	p <mark>emodelan <k< mark="">ali dari hasil pemantauan</k<></mark>
		Untuk	ambien dengan	roadside dengan nilai rata-rata konsentrasi
		Penerapan	m <mark>en</mark> ggunakan	CO hasil pemodelan sebesar 0,81 mg/m3 dan
		Polutan Dari	metode FLLS	pemantauan sebesar 1,83 mg/m3 sedangkan
		Sumber Garis		perbandingan yang lebih rendah diperoleh
		(Studi Kasus:		dari polutan NOx yaitu sebanyak 45%.
		Jl. M.H		Sehingga penggunaan validasi lebih cocok
		Thamrin, DKI		diterapkan pada
		Jakarta)		

No	Penulis	Judul	Tujuan	Hasil
2.	Deni	Analisis	Mengetahui	Hasil penelitian menunjukkan konsentrasi
	Gusrianti	Sebaran	dampak emisi	CO paling tinggi adalah pada tepi jalan
	(2016)	Karbon	CO yang	yaitu sebesar 20.340 µg/m3 pagi hari,
		Monoksida	dihasilkan dari	sedangkan berdasarkan hasil pengukuran
			aktivitas	langsung konsentrasi maksimal sebesar
			transportasi di Jl.	18.323 μg/m3 pada pagi hari. Willmot's
			Sisingamangraja	indeks menghasilkan nilai validasi
			untuk	keakuratan 16.5% - 17%
			men <mark>getahui p</mark> ol <mark>a</mark>	
			sebaran CO	
			m <mark>enggunakan</mark>	
			m <mark>etode Gaussi</mark> an	
			li <mark>ne sourc</mark> e	
			de <mark>ng</mark> an	
			memetakan	
			sebaran CO	
			permodelan	

No	Penulis	Judul	Tujuan	Hasil
3.	Ikhfany	Evaluasi	Tujuan penelitian	Hasil penelitian menunjukkan bahwa
	Anjasari,	Karbon	ini untuk	konsentrasi CO tertinggi dan suhu 30,3° C
	dkk (2020)	Monoksida	menganalisis	pagi hari adalah 71.002 µg/Nm3. Ada dua
		(CO) Akibat	kualitas udara,	lokasi dengan konsentrasi CO melebihi
		Lalu Lintas	temperature	standar kualitas baku mutu. Dengan
		Kendaraan	udara, jumlah	analisis korelasi person menyimpulkan
		Bermotor	transportasi bahan	tidak ada korelasi antara suhu dan
		Di	bakar d <mark>an</mark>	konsentras CO, sementara itu akorelasi
		Kampus	korelasinya	antara kendaraan bermotor dan konsentrasi
		Uin Sunan		CO.
		Ampel		
			<u> </u>	

No	Penulis	Judul	Tujuan	Hasil
4.	Fadli (2022)	Analisis	Mengetahui	Hasil pengukuran didapat sore hari dengan
		Kualitas	besaran karbon	jumlah 9.926 µg /Nm3 dan terendah pada
		Karbon	monoksida dan	pagi hari yaitu sebesar
		Monoksida	emisi CO2	1.102 μg /Nm3. Suhu udara pada pagi
		dan emisi	sebagai indikator	hingga sore hari berkisar antara 29□ -
		CO ₂ Akibat	kualitas udara di	36□. Hasil penelitian menunjukkan bahwa
		Pembangun	pondok Pesantren	Konsentrasi Karbon Monoksida pada
		an Pondok	Miftahun Najah	pengembangan bangunan pondok pesantren
		Pesantren		masih dibawah baku mutu yang ditetapkan
		Miftahun		menurut Peraturan Pemerintah No.22
		Najah Desa		Tahun 2021 yaitu 10.000 μg/Nm3
		Tangkit		
		Kec.Sungai		
		Gelam,		
		Kab. Muaro		
		Jambi	1	

No	Penulis	Judul	Tujuan	Hasil
5.	Dinda	Analisis	Tujuan penelitian	Hasil penelitian menunjukkan bahwa laju
	Prasasti	Dispersi	ini untuk	emisi CO (Qco) pada hari Minggu yang
	(2023)	Karbon	mengetahui	terbesar yaitu pada titik I pada sore hari
		Monoksida	besaran karbon	sebesar 97.114 µg/m.detik, Pada hari Senin
		(Co)	monoksida (CO)	laju emisi CO (Qco) terbesar yaitu, pada
		Pada Udara	dan pola sebaran	titik I sore hari sebesar 106.830, pada hari
		Ambien Di	konsentrasi	Selasa titik I dengan jumlah laju emisi CO
		Jalan Lintas	karbon	(Qco) terbesar yaitu dengan nilai CO
		Mendalo	monoksida (CO)	114.290 µg/m, konsentrasi CO prediksi
		Darat	dengan	tertinggi adalah hari Selasa Sore hari yaitu
		Kabupaten	menggunakan	sebesar 11002,7 μg/Nm3 pada titik I, dan
		Muaro	metode Finite	konsentrasi CO prediksi terrendah adalah
		Jambi	Length Line	hari Minggu pagi hari yaitu sebesar 3132,6
			Source (FLLS) di	μg/Nm3 pada titik III.
			Jal <mark>an</mark> Lintas	
			Mendalo Darat.	
			Mendalo Darat.	

No	Penulis	Judul	Tujuan	Hasil
6.	Meylinda	Analisa	Tujuan penelitian	Hasil penelitian menunjukkan bahwa
	Balirante	Tingkat	ini untuk	tingkat kebisingan dalam leq paling tinggi
	(2020)	Kebisingan	menganalisa	yang diperoleh sebesar 81.89 dB(A) pada
		Lalu Lintas	tingkat	hari Rabu 11 September 2019 pukul 13.00
		Di Jalan	kebisingan dari	– 14.00 WITA, sedangkan tingkat
		Raya	suara kendaraan	kebisingan dengan metode CoRTN yang
		Ditinjau		diperoleh paling tinggi sebesar 65.43
		Dari	jalan Sam	-
		Tingkat	Ratulangi 6 dan	pukul 14.00-15.00 WITA dengan kecepatan
		Baku Mutu	meninjau hasil	r <mark>ata-rata ken</mark> daraan 12.67 km/jam. Dari
		Kebisingan	analisa tingkat	p <mark>enelitian ini</mark> dapat diambil kesimpulan
		Yang	kebisingan	semakin besar volume kendaraan, maka
		Diizinkan	berdasarkan	kecepatan kendaraan akan semakin rendah,
			karakteristik tata	
			guna lahan untuk	yang tinggi.
			Kawasan	
			Persekolahan	
			berdasarkan	
			Keputusan	
			Menteri	
			Lingkungan	
			Hidup No. 48	
			Tahun 1996	

BAB III

METODOLOGI PENELITIAN

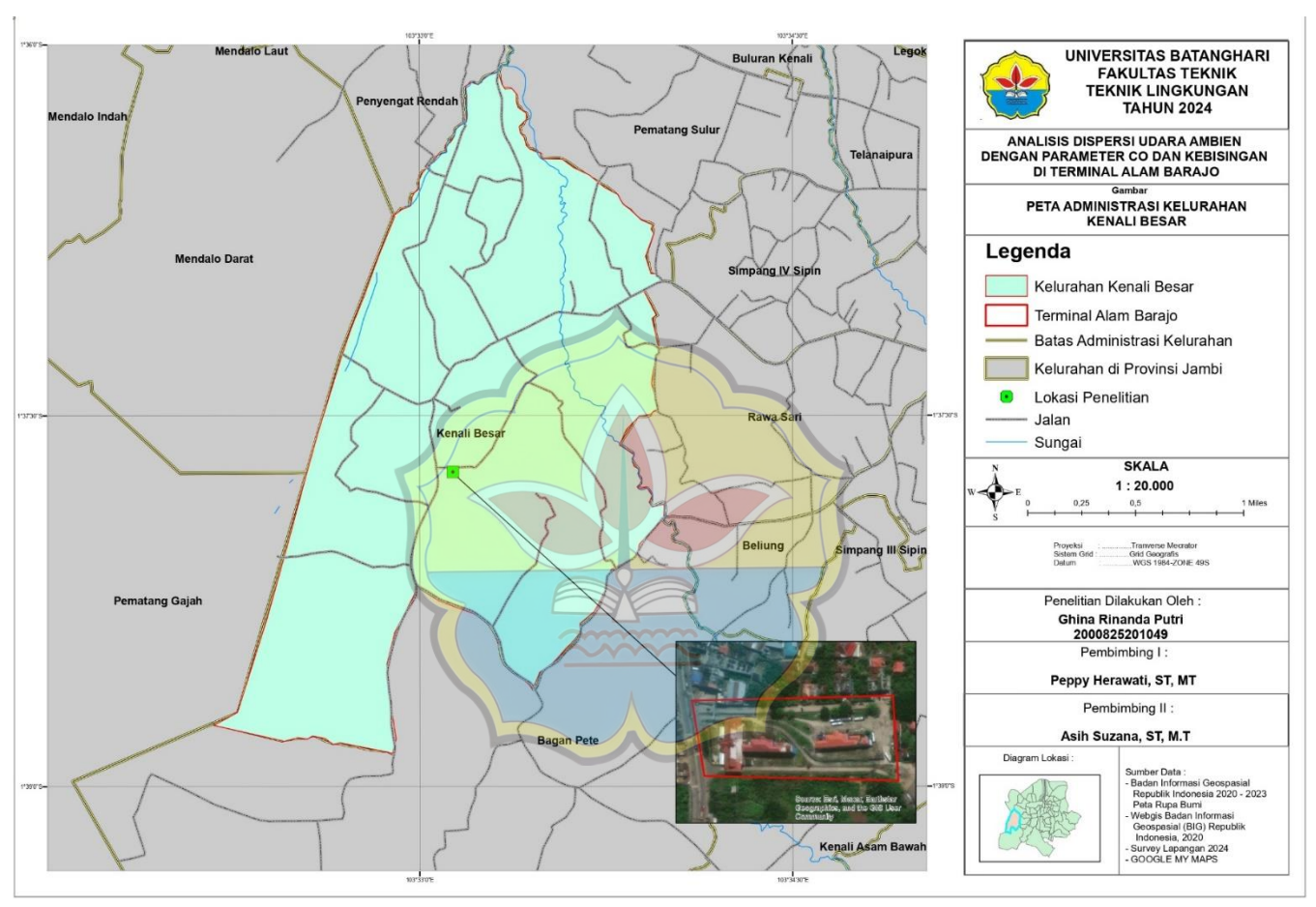
3.1 Jenis Penelitian

Jenis penelitian ini merupakan penelitian deskriptif kuantitatif yang bertujuan untuk menggambarkan tingkat kualitas udara ambien karbon monoksida (CO) dan kebisingan di Terminal Alam Barajo yang berlokasi di Jalan Lingkar Barat III RT. 35 Kecamatan Alam Barajo – Kota Jambi.

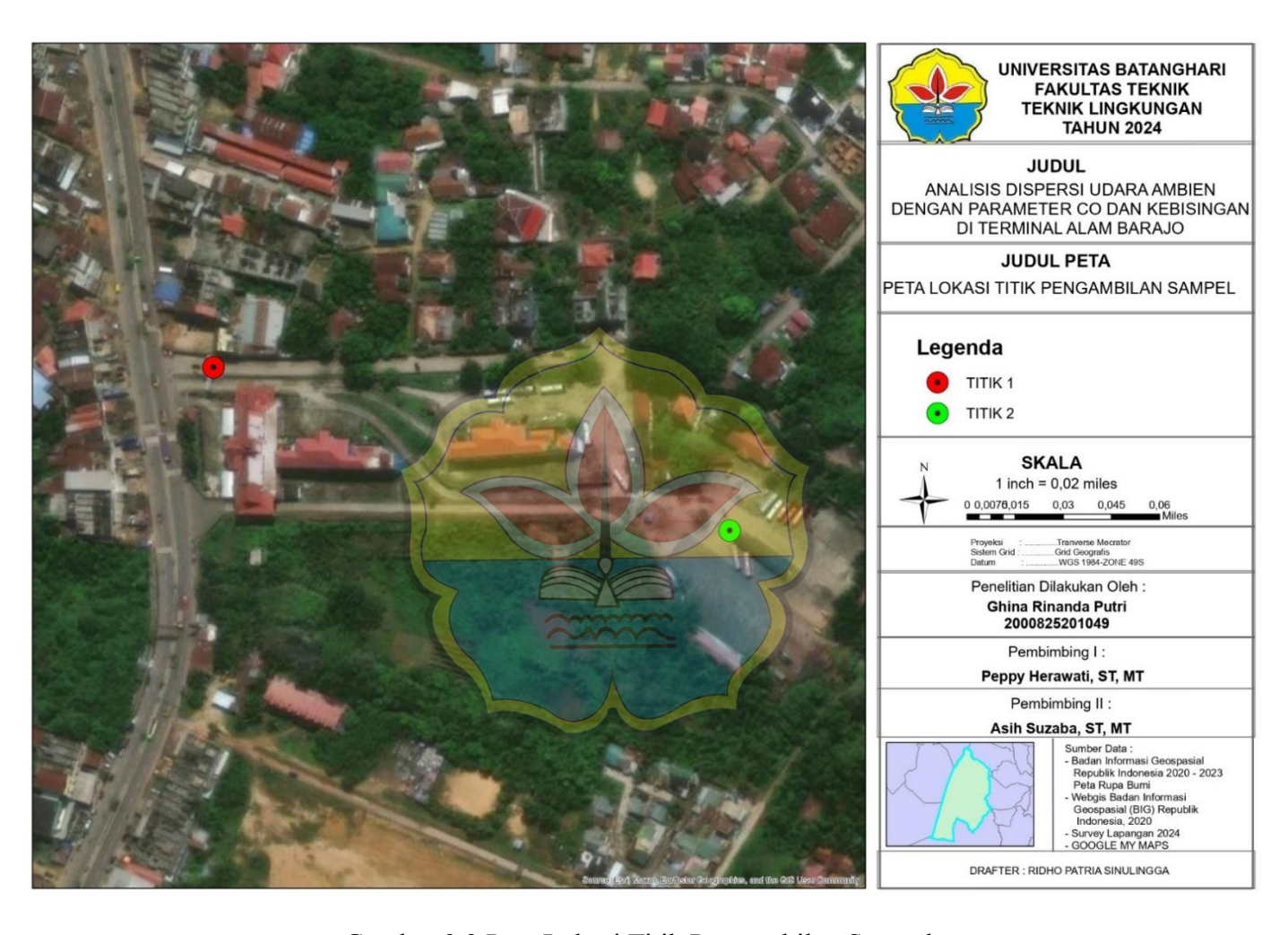
Lokasi yang dijadikan subjek penelitian ini merupakan kawasan yang padat akan aktivitas masyarakat di Terminal Alam Barajo dan jalan lintas nasional. Sehingga akan menghasilkan karbon monoksida (CO) dan peningkatan kebisingan di sekitar lokasi terminal tersebut.

3.2 Lokasi dan Waktu Penelitian

Penentuan lokasi pengambilan sampel uji berdasarkan SNI 19-7119.6-2005 dimana pemantauan kualitas udara dilakukan di titik yang paling aman saat melakukan pengambilan sampel karbon monoksida (CO). Berikut adalah gambar peta administrasi kelurahan dan peta titik sampling pengambilan data volume kendaraan pengukuran karbon monoksida (CO) dan kebisingan di Terminal Alam Barajo dapat di lihat pada Gambar 3.1 dan Gambar 3.2



Gambar 3.1 Peta Administrasi Kelurahan Kenali Besar



Gambar 3.2 Peta Lokasi Titik Pengambilan Sampel

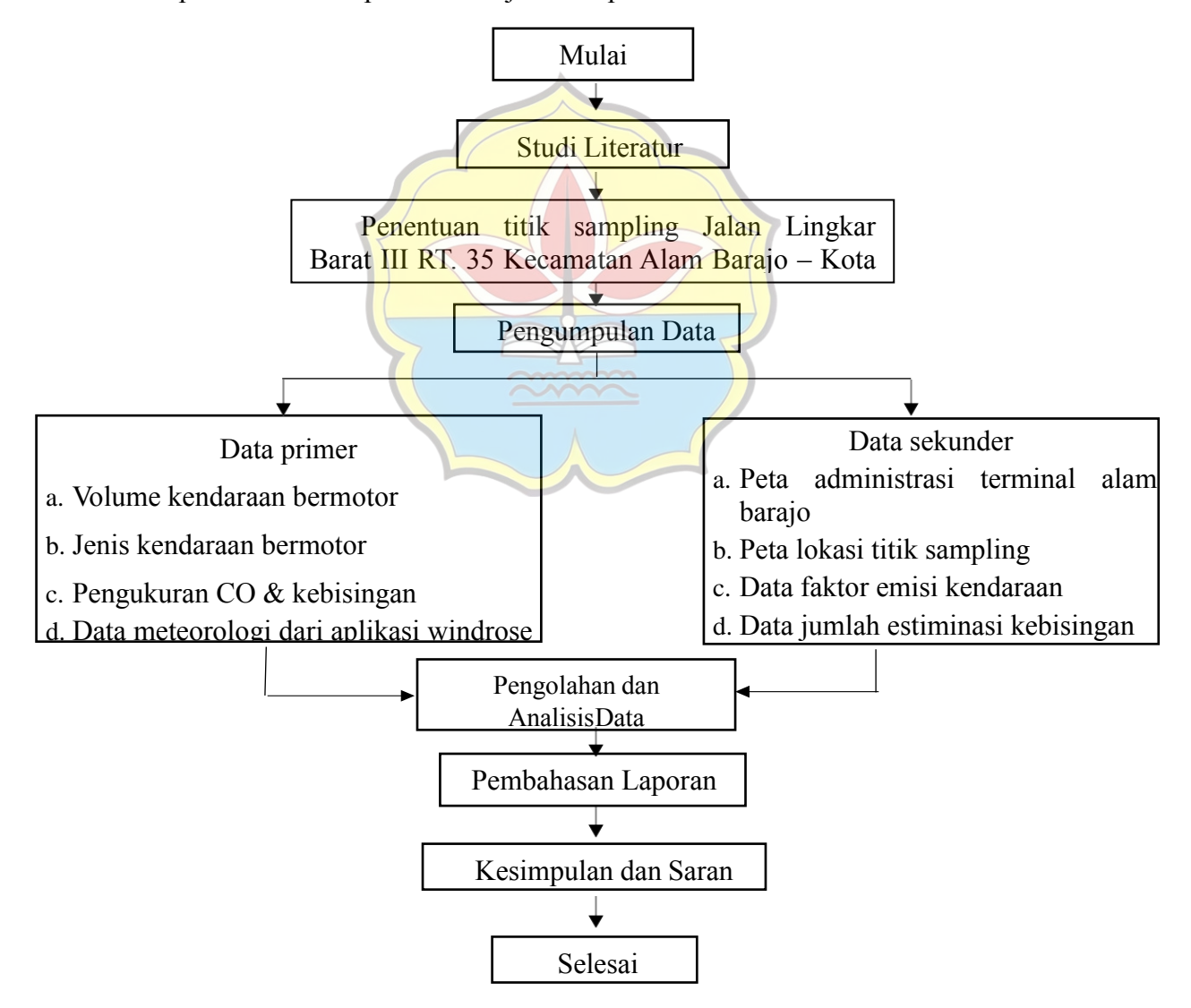
Tabel 3.1 Titik Sampling dan Koordinat Lokasi Penelitian

Titik Sampling	Koordinat
Titik I Pintu Gerbang	1.374235S 103.330509E
Terminal	
Titik II Di Terminal	1.374409S 103.330902E

Sumber: Hasil Pengamatan, 2024

3.3 Alur Penelitian

Penelitian ini akan dilakukan dengan beberapa tahap dan di jelaskan dengan alur penelitian. Alur penelitian dijelaskan pada Gambar 3.1 berikut.



Gambar 3.3 Alur Proses Penelitian

3.4 Data Penelitian

Dalam penelitian ini dilakukan kegiatan pengumpulan data yang dibutuhkan baik data primer maupun data sekunder, yang dijabarkan sebagai berikut.

1. Data Primer

Data primer didapat dari volume lalu lintas, dan jenis kendaraan bermotor yang melintasi titik pengamatan yaitu sepeda motor, mobil penumpang, bus dan truk, sekaligus melakukan pengukuran konsentrasi karbon monoksida (CO) dan kebisingan.

2. Data Sekunder

Data sekunder didapat dari jurnal, artikel, peta ruas Jalan Lingkar Barat III RT. 35 Kecamatan Alam Barajo – Kota Jambi, data meteorologi yang didapat dari BMKG stasiun klimatologi Kota Jambi meliputi arah angin, kecepatan angin, temperatur udara, kelembaban udara, dan intensitas cahaya.

3.5 Variabel Penelitian

Adapun variabel analisis dispersi karbon monoksida (CO) terhadap di Terminal Alam Barajo sebagai berikut.

1. Variabel Terikat

Variabel terikat pada penelitian adalah parameter yang diuji yaitu udara ambien karbon monoksida (CO) dan kebisingan;

2. Variabel Bebas

Variabel bebas penelitian ini adalah waktu pengambilan sampel karbon monoksida (CO) dan menghitung jumlah dan jenis kendaraan yang melintasi titik pengamatan yaitu 2 titik lokasi sampel pada hari Minggu yang mewakili hari libur (*weekend*) hari Senin dan Jum'at yang mewakili hari sibuk kerja (*weekday*) pada jam pagi (07.00-08.00 WIB), siang (13.00 – 14.00 WIB), dan sore (17.30 – 18.30 WIB).

3.6 Alat

Persiapan pengambilan dan pengujian sampel udara ambien karbon monoksida (CO) dan kebisingan dalam penelitian ini dibutuhkan alat sebagai berikut :

- 1. CO Meter merk KMOON Carbon Monoxcide Meter GM 8805 dan Sound Level Meter;
- 2. Stopwatch;
- 3. Kamera;
- 4. Alat Tulis;
- 5. Masker;
- 6. Papan Jurnal;

3.7 Pelaksanaan Pengambilan Sampel

Pengambilan data dan tata caranya dapat dijelaskan sebagai berikut:

- 1. Menghitung jumlah dan jenis kendaraan yang melintas
 - a. Menghitung jumlah dan jenis kendaraan bermotor yang melintas di gerbang terminal. Waktu pengamatan di sesuaikan dengan jam

keberangkatan bus di Terminal Alam Barajo dengan durasi satu jam (60 menit) per-titik yaitu pagi (07.00 - 08.00 WIB), siang (13.00 – 14.00 WIB), sore (17.30 – 18.30 WIB) selama tiga hari yaitu hari Minggu yang mewakili hari libur (*weekend*) hari Senin dan Jum'at yang mewakili hari kerja (*weekday*). Jenis kendaraan yang diamati antara lain:

- 1) Sepeda motor;
- 2) Mobil penumpang, meliputi mobil pribadi, angkot, dan kendaraan roda empat yang digunakan untuk mengangkut orang;
- 3) Truk, adalah semua jenis truk;
- 4) Bus.
- b. Prosedur pengamatan volume lalu lintas dilakukan dengan acuan Pedoman Teknis Penyusunan Inventarisasi Emisi yang menyatakan traffic counting dapat dilakukan dengan cara menghitung kendaraan yang melintasi Terminal Alam Barajo. Maka, dalam penelitian ini pengamatan dilakukan dengan manual counter oleh 4 orang surveyor. Masing-masing surveyor ditugaskan untuk menghitung jumlah dan jenis kendaraan sekaligus melakukan pengukuran karbon monoksida (CO) secara bersamaan.

2. Konsentrasi Karbon Monoksida (CO)

a. Prosedur metode grab sampling

Berdasarkan SNI 19-7119.9-2005, pemantauan kualitas udara dengan metode grab sampling merupakan metode pengukuran kualitas udara

ambien yang umum digunakan dengan cara memasang alat guna menangkap partikel atau zat pencemar sesuai dengan parameter uji. Berikut adalah langkah-langkah pengambilan sampel.

- Tempatkan peralatan pengambilan sampel di daerah terbuka
 (Gedung atau bangunan yang rendah dan saling berjauhan);
- 2) Penempatan peralatan berjarak 1 m sampai dengan 5 m dari pinggir jalan yang akan diambil sampel dan pada ketinggian 2 m dari permukaan jalan.
- b. Prosedur pengukuran karbon monoksida (CO)

Pengukuran karbon monoksida menggunakan alat CO Meter merk KMOON *Carbon Monoxide* GM8805 dengan metode pengukuran *Non-Dispersive InfraRed* (NDIR). Prosedur pengukuran CO di udara adalah sebagai berikut:

- 1) Persiapan alat
- 2) Tekan tombol ON/OFF dan tunggu selama 5menit hingga muncul tanda "S" (*Stand By*);
- 3) Setelah itu tekan tombol tanda panah ke atas sehingga muncul tanda "R" (*Record*);
- 4) Pada posisi "R" akan menunjukkan alat melakukan perekaman terhadap adanya indikator CO selama sampling;
- 5) Atur waktu selama 1 jam untuk pengukuran (CO)
- 6) Setelah perekaman selesaai tekan tombol tanda padah ke atas untuk mengentikan kerja alat CO analyzer sehingga tanda "R" hilang.

Konsentrasi karbon monoksida (CO) dibaca langsung dari recorder dengan satuan ppm konversi ke satuan $\mu g/Nm^3$ menenggunakan rumus berikut :

$$\mu g m^3 = p p m \times 1000 \times \frac{P \times R}{R \times T}$$

P = Tekanan Udara

M = Berat molekul/senyawa

R = Konstanta gas universal (0,0821)

T = Temperatur absolut (°K)

3. Kebisingan

Pengukuran kebisingan dilakukan menggunakan alat Sound Level Meter.

Panduan menggunakan sound level meter:

- 1) Pertama-tama aktifkan alat ukur sound level meter yang akan digunakan untuk mengukur
- 2) Pilih selektor pada posisi fast untuk jenis kebisingan continue atau berkelanjutan atau selektor pada posisi slow untuk jenis kebisingan impulsive atau yang terputus-putus
- 3) Pilih selektor range intensitas kebisingan
- 4) Kemudian, tentukan area yang akan diukur
- 5) Setiap area pengukuran dilakukan pengamatan selama 1-2 menit dengan kurang lebih 6 kali pembacaan
- 6) Hasil pengukuran berupa angka yang ditunjukkan pada monitor
- 7) Tulis hasil pengukuran dan hitung rata-rata kebisingannya, maka akan diketahui hasil pengukuran dari kebisingan tersebut.

3.8 Metode Pengolahan dan Analisis Data

Metode pengolahan data penelitian ini dapat di jabarkan sebagi berikut :

3.8.1 Konsentrasi Karbon Monoksida (CO)

Pengukuran parameter karbon monoksida (CO) dengan menggunakan CO meter yang menunjukkan besaran konsentrasi karbon monoksida (CO) dalam satuan ppm, kemudian perlu dilakukan konversi satuan menjadi µg/Nm³ sesuai dengan Peraturan Pemerintah Nomor 22 Tahun 2021 menggunakan persamaan sebagai berikut :

$$\mu g/Nm^3 = ppm x \frac{1000 x}{R \times T}$$

Keterangan:

P = Tekanan Udara (1 Atm)

M = Berat Molekul

R = Konstanta Gas Universal (0,0821)

 $T = Temperature Absolut (^{o}K)$

3.8.2 Laju Alir (Flow Rate)

Laju alir (flow rate) adalah ukuran seberapa banyak volume atau massa suatu zat, seperti cairan atau gas, yan mengalir melalui suatu titik atau permukaan dalam

waktu tertentu. Biasanya, laju alir diukur dalam satuan volume per waktu atau massa per waktu.

1. Dalam konteks cairan,laju alir dapat dihitung dengan rumus:

 $Q = A \times v$

Dimana:

Q = Laju alir (volume per waktu)

A= Luas penampang aliran

v = Kecepatan aliran

2. Rumus Menghitung Exit Velocity

Exit Velocity (m/s) =
$$\frac{Flow Rate (m^3/s)}{Luas Penumpang (m^2)}$$

Dimana:

Flow Rate (m^3/s) = Laju aliran (Volume Perdetik)

Luas Penumpang (m^2) = Luas area saluran atau cerobong tempat gas mengalir

3. Rumus Menghitung Emision Rate

Emisin Rate = Konsentrasi CO (μ g/Nm³) x Exit Velocity (m/s)

3.8.3 Koefisien Dispersi

Mencari nilai koefisien dispersi (σz) dengan melihat kecepatan angin dominan dan kondisi cuaca, kemudian ditentukan kategori kestabilan

atmosfernya, sehingga didapat nilai c, d dan f untuk diolah menggunakan persaman berikut.

$$\sigma Z = c X d + f$$

$$\sigma y = a X b$$

Keterangan:

 $\sigma z = \text{Koefisien dispersi vertikal (m)}$

X = Jarak pengukuran (m)

c,d,f = Nilai tetapan koefisien dispersi vertikal

3.8.4 Kebisingan

Nilai kebisingan pada lokasi penelitian didapatkan dengan cara melakukan perhitungan tingkat kebisingan ekivalen (Leq), tingkat kebisingan pada siang hari (Ls), dan tingkat kebisingan pada malam hari (Lm) yang terdapat di dalam Keputusan Menteri Lingkungan Hidup Nomor 48 1996 Tentang Baku Tingkat Kebisingan menggunakan persamaan

$$L_{eq} = 10 \ Log_{10} \left[\frac{1}{T} \int_{0}^{T} 10^{0.1Li} dt \right]$$

Keterangan:

n = jumlah sampel

Li = tingkatan kebisingan pada sampel i

ti = fraksi dari waktu terhadap total waktu

$$Ls = 10 Log (1/16) (T1.10^{0.1L1} + + T4.^{10.0.1L4}) dB$$

Keterangan:

LS = Leq selama siang hari

T1 = waktu 1

L1 = nilai kebisingan 1

$$Lm = 10 Log (1/8) (T3.10^{0.1L3} + + T7.10^{0.1L7}) dB$$

Keterangan:

LM = Leq selama malam hari

T3 = waktu ke-3

L3 = nilai kebis<mark>ingan 3</mark>

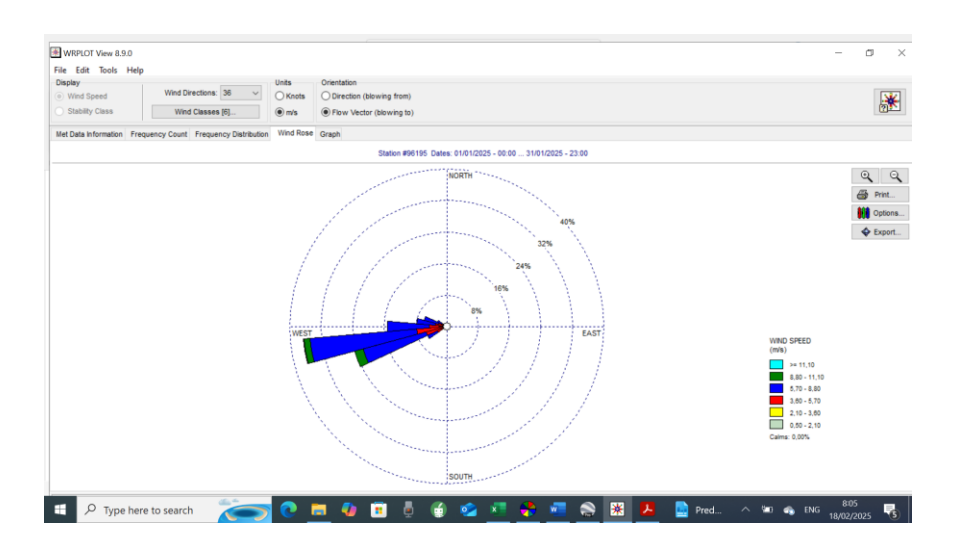
$$Lsm = 10 Log 1/24 (16.10^{0.1Ls} + 8.10^{0.1Lm}) dB$$

Keterangan:

LSM = Leq selama siang dan malam hari

3.8.5 Arah Angin Dominan

Mengolah data arah dan kecepatan angin dominan dengan menggunakan aplikasi *WR Plot View* adalah program yang dapat mempresentasikan data arah dan kecepatan angin dalam bentuk mawar angin (windrose). *Windrose* adalah diagram yang melambangkan arah datangnya angin dan dapat mengilustrasikan fluktuasi arah dan kecepatan angin dominan.



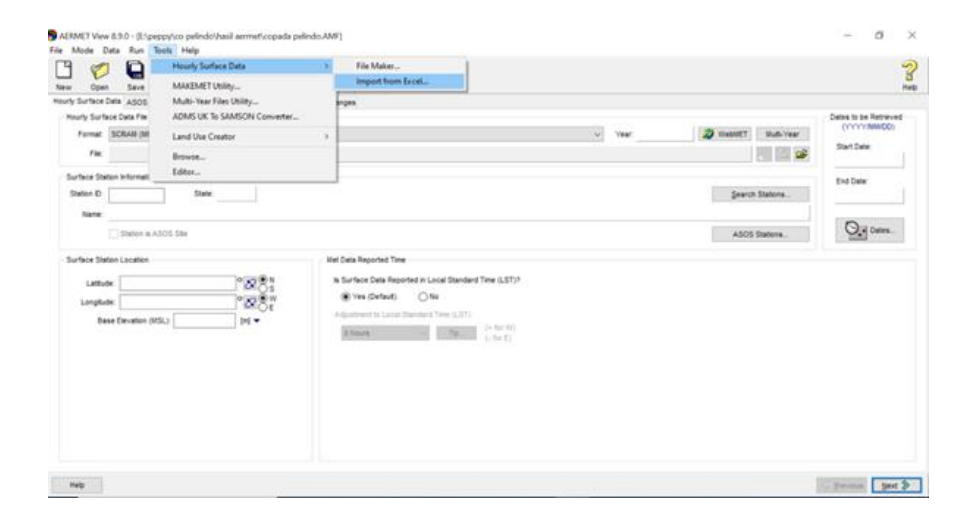
Gambar 3.4 Windrose

3.8.6 Pengolahan AERMOD

Pengoperasian AERMOD untuk menentukan simulasi dispersi CO dapat dilakukan dengan langkah-langkah berikut:

• Memulai AERMOD

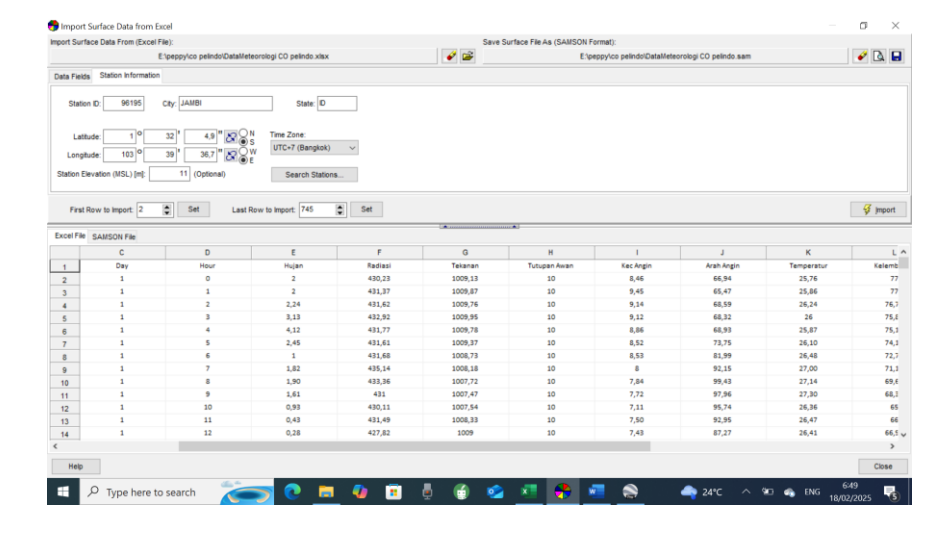
Untuk memulai suatu proyek simulasi dispersi, pilih opsi *New* dari menu *toolbar* sehingga akan muncul sebuah jendela bernama *New Project Wizard*. Pada jendela ini diperlukan pengisian informasi berupa nama proyek, pembuatan folder proyek, dan penentuan lokasi penyimpanan folder



Gambar 3.5 Memulai AERMOD

• Menentukan Sistem Koordinat, Datum, dan Titik Acuan

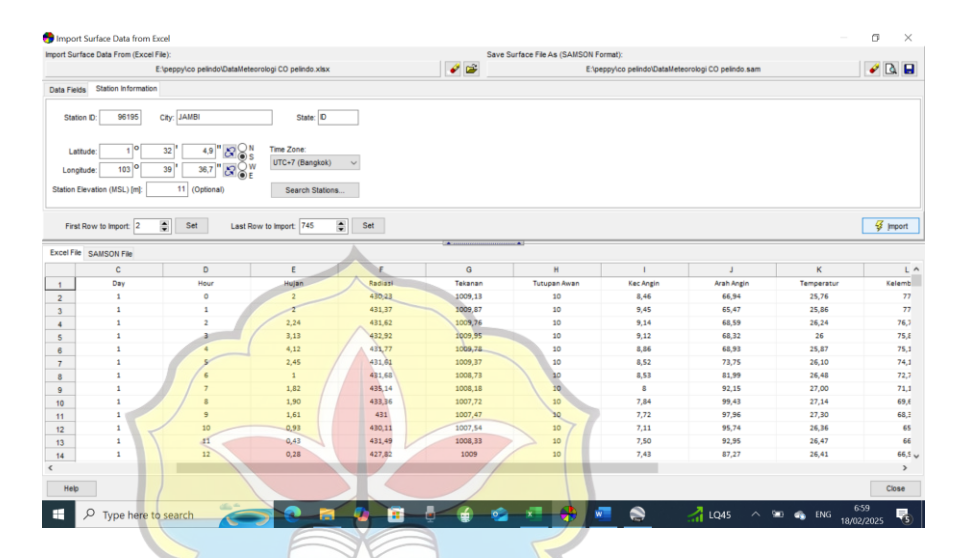
Koordinat sistem yang akan digunakan dalam simulasi dispersi ini dipilih dengan skala Universal Transverse Mercator (UTM). Datum yang dipakai berdasar pada World Geodetic System 1984 dengan zona 50 North. Posisi titik acuan yang digunakan adalah center. Pada titik tersebut dimasukkan nilai koordinat dari sumber emisi dan site domain dalam radius 15 km ke arah sumbu-x dan sumbu-y



Gambar 3.6 Menentukan Sistem Koordinat, Datum, dan Titik Acuan

• Memasukkan Data Meteorologi

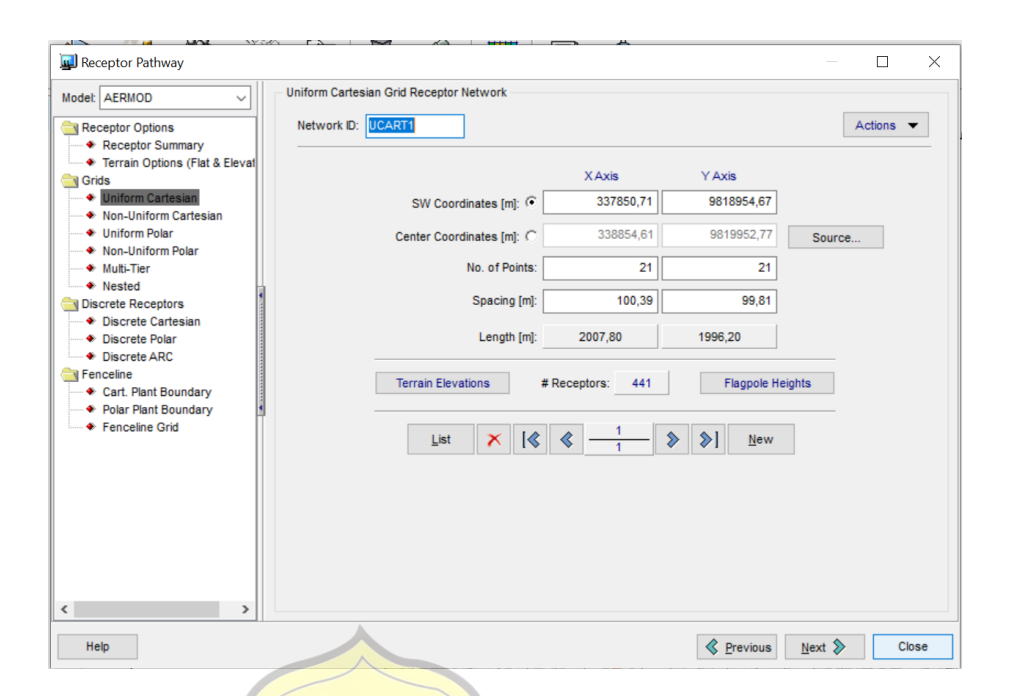
Data meteorologi yang diinput dalam bentuk SFC dan PFC berasal dari data yang telah diolah sebelumnya dengan menggunakan AERMET. Pada bagian *Met Station* dilengkapi informasi mengenai ID, nama, dan koordinat stasiun pemantau meteorologi.



Gambar 3.7 Memasukkan Data Meteorologi

Menentukan Reseptor

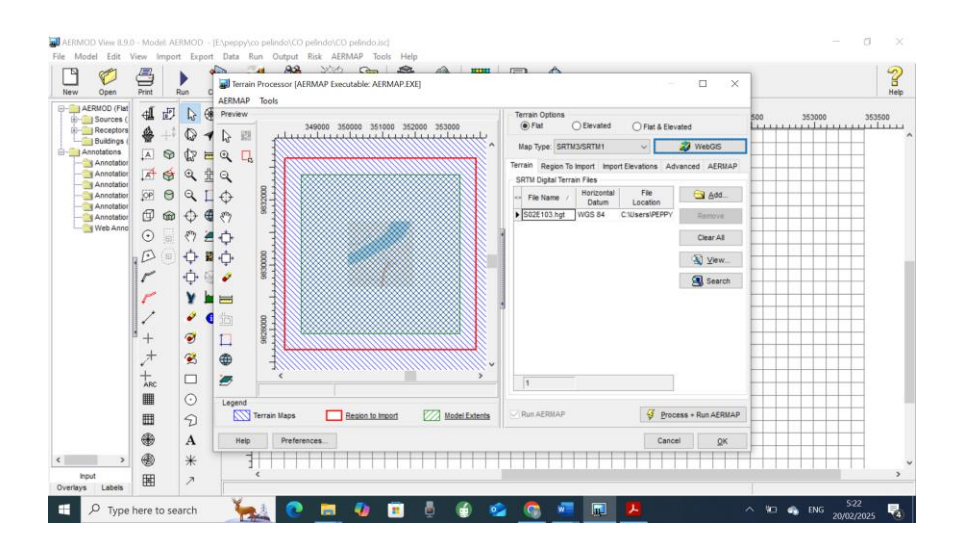
Reseptor adalah lokasi persebaran polutan yang berasal dari sumber emisi dengan nilai konsentrasi tertentu. Digunakan reseptor tipe Uniform Cartesian Grid (UCART1). Informasi yang harus dilengkapi adalah koordinat sumber, ukuran grid, jumlah grid serta dimensi dari wilayah studi.



Gambar 3.8 Menentukan Reseptor

Pengoperasian Terrain Processor pada AERMAP

Peta elevasi yang berformat SRTM yang telah diperoleh dari situs www.webgis.com di-input ke dalam AERMAP terhubung dengan AERMOD sehingga dapat dihasilkan output berupa peta dasar yang telah memiliki data elevasi. Untuk setiap koordinat wilayah studi, kontur ketinggian dibagi berdasarkan warna. Dalam penelitian ini digunakan *Flat* and *Elevated terrain* karena wilayah studi diketahui memiliki kontur permukaan tanah yang datar dan berkontur. Setelah itu dapat merunning AERMAP.

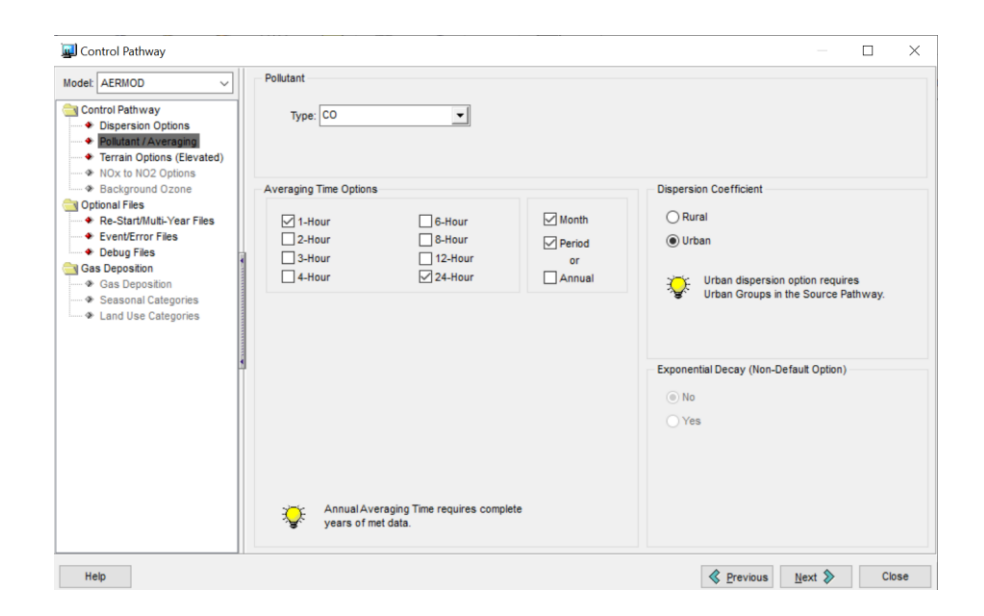


Gambar 3.9 Pengoperasian Terrain Processor pada AERMAP

• Menentukan Control Pathway

Pada jendela *Control Pathway* terdapat beberapa informasi yang harus dilengkapi, berikut merupakan penjelasan bagian secara lebih detail. - Untuk *Dispertion Option* pada bagian Output dipilih opsi berbentuk nilai konsentrasi polutan. Kemudian pada *Non-Default Option* pilih *Flat* and *Elevated*.

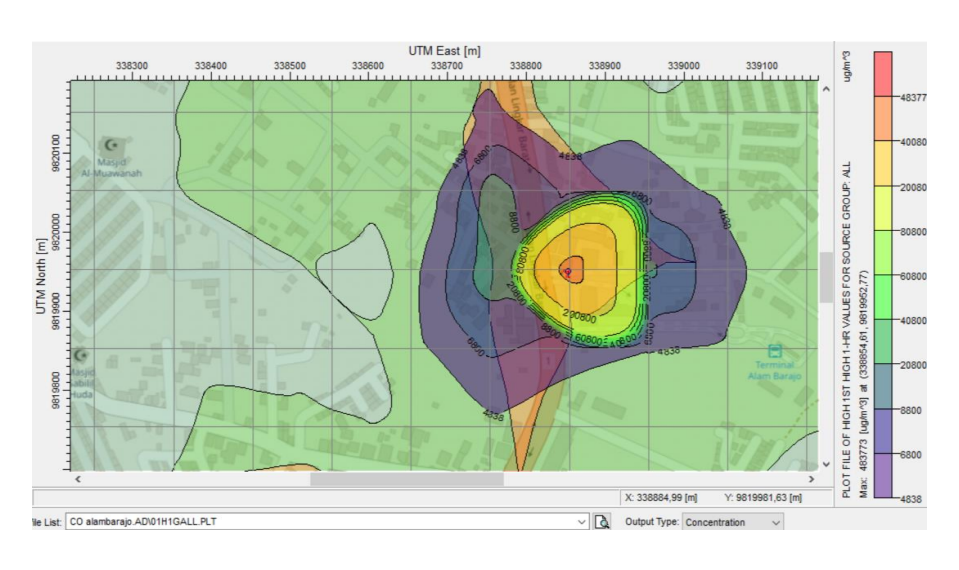
- Jenis polutan untuk simulasi dispersi dapat ditentukan pada bagian *Pollutant Averaging*. Jenis polutan yang tersedia adalah SO2, NO2, CO, PM10, PM2,5, TSP dan lainnya dapat dipilih sesuai yang diingnkan. Untuk waktu penyebaran dapat dipilih sesuai dengan rentang yang diinginkan. Biasanya waktu pengukuran dipilih berdasarkan baku mutu yang ditetapkan. Pada penelitian ini akan di pilih waktu selama 24 jam berdasarkan PP. No. 41 tahun 1999.
- -Pada bagian Terrain Options dipilih mode flat and elevated terrain



Gambar 3.10 Menentukan Control Pathway

Running AERMOD

Ketika seluruh data yang diinput telah sesuai dengan format yang ditentukan, maka program AERMOD siap untuk dijalankan (running). Dipilih menu Run dan akan keluar jendela Project Status yang menampilkan ringkasan dari data yang telah diinput untuk memeriksa kembali kesesuaian semua berkas sebelum program dijalankan. Output yang dihasilkan berupa simulasi penyebaran polutan yang tergambar pada peta dasar dengan garis isokonsentrasi serta warna yang berbeda untuk tiap rentang konsentrasi.



Gambar 3.11 Running AERMOD



BAB IV

HASIL DAN PEMBAHASAN

4.1 Hasil dan Analisis

Terminal Alam Barajo merupakan satuan pelayanan yang dikelola oleh Balai Pengelola Transportasi Darat Kelas II Jambi. Terminal Tipe A Alam Barajo berlokasi di Jalan Lingkar Barat III RT. 35 Kecamatan Alam Barajo – Kota Jambi dengan luas lahan 65.280 m2. Terminal Alam Barajo adalah terminal di Kota Jambi sebagai pusat aktivitas kendaraan bermotor dan pusat transportasi umum di Kota Jambi. Tingginya intensitas kendaraan mengakibatkan peningkatan kadar pencemaran udara serta kebisingan di terminal tersebut.

Jenis penelitian yang digunakan yaitu deskriptif kuantitatif yang bertujuan untuk menggambarkan kualitas udara ambien karbon monoksida (CO) dan kebisingan di Terminal Alam Barajo dan pola sebarannya dengan menggunakan metode Finite Length Line Source (FLLS). Pengambilan sampel CO dan Kebisingan dilakukan secara bersamaan selama 3 hari pada tanggal 12, 16, dan 18 Agustus 2024 dengan interval waktu pengukuran selama 1 jam (60 menit) yaitu pada hari Senin dan Jum'at (Weekday), Minggu (Weekend). Alat yang digunakan pada pengukuran CO yaitu CO Meter merk KMOON Carbon Monoxide Meter GM8805 dan pada pengukuran kebisingan yaitu Sound Level Meter. Selain itu dilakukan perhitungan laju emisi CO yang dihasilkan dari aktivitas kendaraan yang melintasi titik pengamatan serta pola sebarannya dan kebisingan di Terminal Alam Barajo.

4.2 Volume Kendaraan

Pengamatan volume kendaraan dilakukan selama 3 hari yaitu hari Senin dan Jum'at (*Weekday*), Minggu (*Weekend*) dengan interval waktu selama 1 jam (60 menit) pada jam puncak pagi (07.00 – 08.00 WIB), siang (13.00 – 14.00 WIB), dan sore (17.30 – 18.30 WIB). Terdiri dari 2 titik pengamatan volume kendaraan :

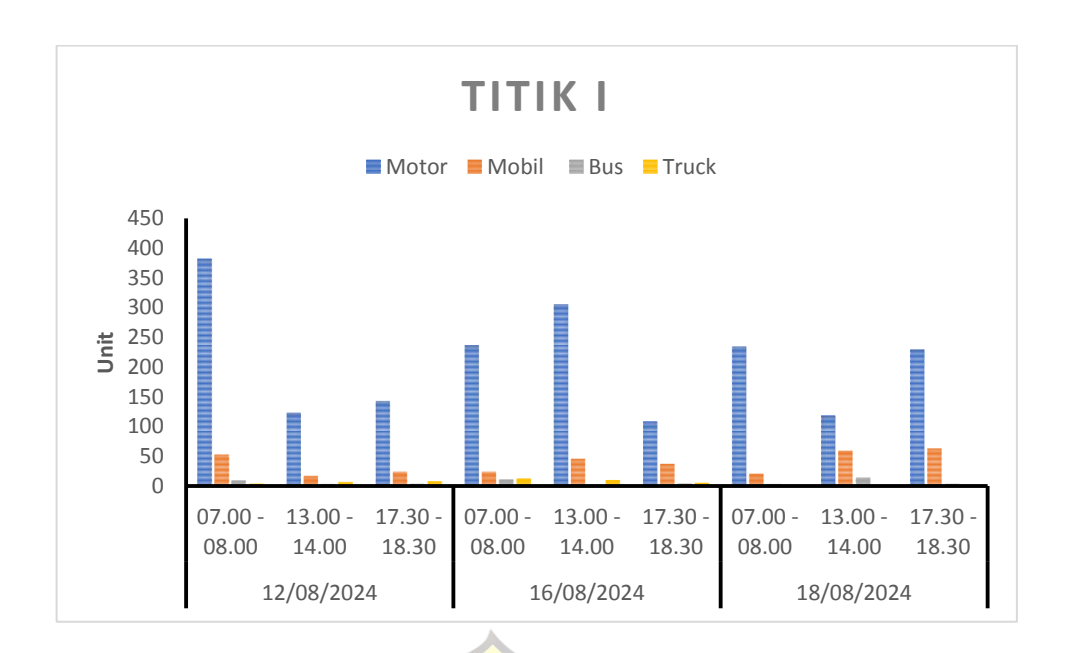
- 1. Titik I dengan koordinat 1.374235S 103.330509E
- 2. Titik II dengan koordinat 1.374409S 103.330902E

Segmen jalan yang diamati yaitu Jalan Lingkar Barat III RT. 35 Kecamatan Alam Barajo – Kota Jambi. Berikut adalah data volume kendaraan selama pengamatan yang dijelaskan di bawah ini.

Tabel 4.1 Volume Kendaraan Titik I

		Titik I				
Tomasol	Daviada (Jam)	~~~J				
Tanggal	Periode (Jam)	Motor	Mobil	Bus	Truck	Total
	07.00 - 08.00	383	53	9	5	450
12/08/2024	13.00 - 14.00	124	17	3	7	151
	17.30 - 18.30	143	24	4	8	179
	07.00 - 08.00	237	24	11	13	285
16/08/2024	13.00 - 14.00	306	46	2	10	364
	17.30 - 18.30	109	37	5	6	157
	07.00 - 08.00	235	21	3	2	261
18/08/2024	13.00 - 14.00	119	59	14	1	193
	17.30 - 18.30	230	63	4	2	299

Sumber: Hasil Pengamatan Lapangan, 2024



Gambar 4.1 Grafik Volume Kendaraan Titik I

Berdasarkan grafik 4.1 dapat dilihat jumlah kendaraan tertinggi di dominasi pada kendaraan sepeda motor dengan nilai rata-rata tertinggi pada pagi hari di jam 07.00-08.00 WIB, hal ini disebabkan banyaknya keberangkatan bus pada pagi hari sehingga banyak yang mengantarkan keberangkatan keluarga dan lokasi pengamatan yang berada pada pintu masuk terminal serta adanya jalur lalu lintas yang menghubungkan terminal alam barajo menuju bagan pete.

Tabel 4.2 Volume Kendaraan Titik II

Titik II										
Tonggol	Periode		Total							
Tanggal	(Jam)	Motor	Mobil	Bus	Truck 1 0 2 0 0 0 2 2 0 0 0 0	Total				
	07.00 - 08.00	80	11	0	1	92				
12/08/2024	13.00 - 14.00	54	7	1	0	62				
	17.30 - 18.30	12	8	4	2	26				
	07.00 - 08.00	38	8	4	0	50				
16/08/2024	13.00 - 14.00	11	1	0	0	12				
	17.30 - 18.30	16	6	3	0	25				
	07.00 - 08.00	46	11	4	2	63				
18/08/2024	13.00 - 14.00	16	3	6	0	25				
	17.30 - 18.30	21	8	3	0	32				

Sumber: Hasil Pengamatan Lapangan, 2024



Gambar 4.2 Grafik Volume Kendaraan Titik II

Berdasarkan grafik 4.2 dapat dilihat jumlah kendaraan tertinggi di dominasi pada kendaraan sepeda motor dengan nilai rata-rata tertinggi pada pagi hari di jam 07.00-08.00 WIB, hal ini disebabkan banyaknya keberangkatan bus pada pagi hari sehingga banyak yang mengantarkan keberangkatan keluarga. Hasil pengamatan

pada titik II jauh lebih kecil di bandingkan pada titik pertama, hal ini disebabkan lokasi pengambilan sampel yang berada di paling dalam terminal sehingga hanya menjadi tempat peristirahatan bus saja.

4.3 Hasil Pengukuran Parameter Karbon Monoksida (CO)

Pengukuran kualitas udara ambien karbon dioksida (CO) dilakukan selama 3 hari dengan interval waktu pengukuran selama 1 jam (60 menit).

Tabel 4.3 Hasil Pengukuran Parameter Karbon Monoksida (CO)

Tanggal	Periode (Jam) S	Hasil Pengukuran			
			Titik I	Titik II	
	07.00 - 08.00	7	9	4	
12/08/2024	13.00 – 14.00		4	3	
	17.30 – 18.30		5	2	
	07.00 - 08.00		6	3	
16/08/2024	13.00 - 14.00	ppm	6	1	
	17.30 – 18.30		5	2	
	07.00 - 08.00		5	3	
18/08/2024	13.00 – 14.00		4	2	
	17.30 – 18.30		7	1	

Sumber: Hasil Pengujian Lapangan, 2024

Hasil pengukuran yang didapatkan adalah dalam ppm, kemudian di konversikan kedalam μg/Nm3 dengan mengacu pada ketetapan yang terdapat pada SNI 7119.10.2:2011 tentang baku mutu udara ambien bagian 10 cara uji karbon monoksida (CO) menggunakan metode *Non Disperssive Infra Red* (NDIR). Pengukuran parameter karbon monoksida (CO) dengan menggunakan CO meter yang menunjukkan besaran konsentrasi karbon monoksida (CO) dalam satuan ppm, kemudian perlu dilakukan konversi satuan menjadi μg/Nm3 sesuai

dengan Peraturan Pemerintah Nomor 22 Tahun 2021. Berikut adalah langkah perhitungannya dengan menggunakan persamaan sebagai berikut:

$$\mu g/Nm^3 = ppm \times 1000 \times \frac{P \times M}{R \times T}$$

Keterangan:

P = Tekanan Udara (1 Atm)

M = Berat Molekul

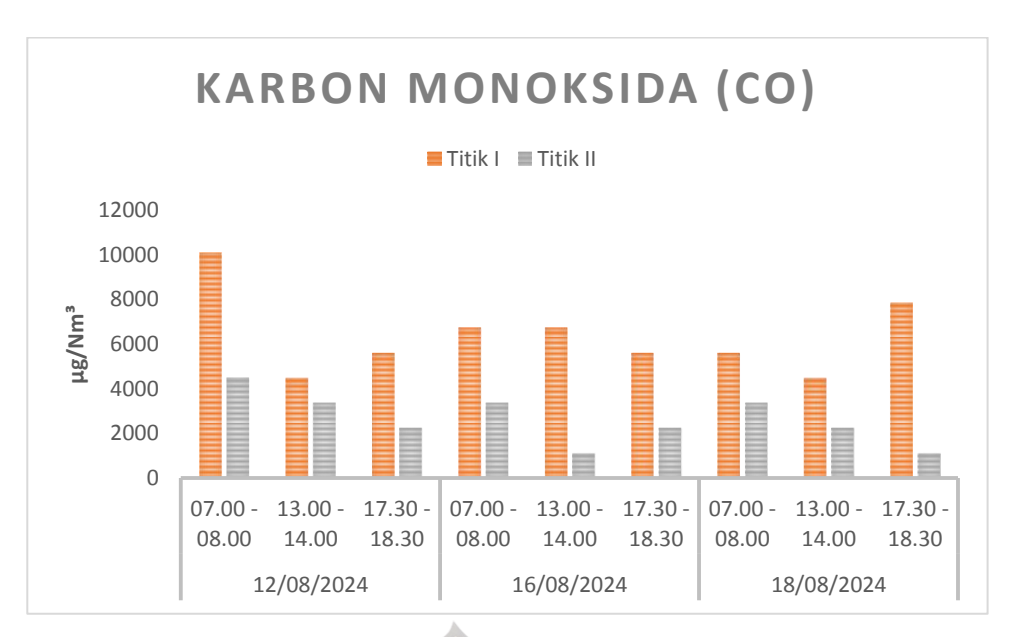
R = Konstanta Gas Universal (0,0821)

T = Temperature Absolut (°K)

Tabel 4.4 Hasil Konversi Satuan

Tanggal	Periode (Jam)	Satuan	Titik I	kuran Titik II	NAB
	07.00 - 08.00		10115	4496	
12/08/2024	13.00 - 14.00	\wedge	<mark>4</mark> 496	3371	
	17.30 - 18.30		5620	2248	
	07.00 - 08.00		6743	3371	
16/08/2024	13.00 - 14.00	$\mu g/Nm^3$	6743	1124	10000
	17.30 - 18.30		5620	2248	
	07.00 - 08.00		5620	3371	
18/08/2024	13.00 - 14.00		4496	2248	
	17.30 - 18.30		7867	1124	

Sumber: Hasil Perhitungan, 2024



Gambar 4.3 Konsentrasi Parameter Karbon Monoksida (CO)

Berdasarkan gambar 4.3 didapatkan bahwa nilai tertinggi berada pada hari senin di titik I dengan nilai sebesar 10115 μg/Nm³, hal ini menunjukkan bahwa kondisi udara pada hari senin di pagi hari telah melebihi nilai ambang batas yang di tentukan pada Permenkes No 2 Tahun 2023 yang di tetapkan sebesar 10000 μg/Nm³. Tingginya volume kendaraan yang melintasi tempat penelitian mempengaruhi terjandinya peningkatan konsentrasi CO yang dihasilkan, Dimana titik I merupakan pintu masuk kedalam terminal dan ditambah adanya jalur lalu lintas yang menghubungkan terminal alam barajo menuju bagan pete. Hasil penelitian ini sejalan dengan (Sasmita. A, 2021) bahwa dengan meningkatnya jumlah kendaraan (Aryanta, dkk 2023) yang melewati ruas jalan maka konsentrasi CO juga akan meningkat (Asubiojo, et al 2023), dan sebaliknya semakin sedikit jumlah kendaraan yang melewati jalan maka konsentrasi CO menjadi turun (Bakibillah, et al 2024).

4.4 Total Emision Rate

Tabel 4.5 Total Emision Rate

						Titik	1					
Tanggal Pe		Jenis Kendaraan				Laju Alir	Lain Alin Can	Exit		Total Emision		
	Periode (Jam)	Motor	Mobil	Bus	Truck	Gas Keluar (m/s)	Luas Penampang Knalpot (cm^2)	Laju Alir Gas (m³/s)	Velocity	Emision Rate	Rate	
	07.00 - 08.00	383	53	9	5				,218 2,1806	22056,32	992534	
12/08/2024	16.00 - 17.00	124	17	3	7					9803,78	148037	
	18.00 - 19.00	143	24	4	8					12254,72	219359	
	07.00 - 08.00	237	24	11	13		2,77778 78,5			14703,49	419049	
16/08/2024	16.00 - 17.00	306	46	2	10	2,77778		0,218		14703,49	535206	
	18.00 - 19.00	109	37	5	6					12254,72	192399	
	07.00 - 08.00	235	21	3	2					12254,72	319848	
18/08/2024	16.00 - 17.00	119	59	14	1					9803,78	189212	
	18.00 - 19.00	230	63	4	2					17154,43	512917	
						Titik	I					
	07.00 - 08.00	80	11	0	1					9803,78	90194	
12/08/2024	16.00 - 17.00	54	7	1	0					7350,65	45574	
	18.00 - 19.00	12	8	4	2					4901,89	12744	
	07.00 - 08.00	38	8	4	0					7350,65	36753	
16/08/2024	16.00 - 17.00	11	1	0	0	2,77778	78,5	0,218	2,1806	2450,94	2941	
	18.00 - 19.00	16	6	3	0	^				4901,89	12254	
	07.00 - 08.00	46	11	4	2						7350,65	46309
18/08/2024	16.00 - 17.00	16	3	6	0					4901,89	12254	
	18.00 - 19.00	21	/8	3	0					2450,94	7843	

Berdasarkan tabel 4.5 dapat dilihat bahwa *total emision rate* dari kendaraan yang melintas dimana yang tertinggi yaitu pada hari senin tanggal 12 bulan Agustus tahun 2024 pada jam 07.00-08.00 di titik pantau I dengan nilai sebesar 9925344 g/jam atau setara dengan 2757,04 g/s. besarnya *total emision rate* yang dihasilkan pada hari senin dikarenakan banyaknya volume kendaraan pada hari senin sehingga membuat kenaikan *total emision rate*.

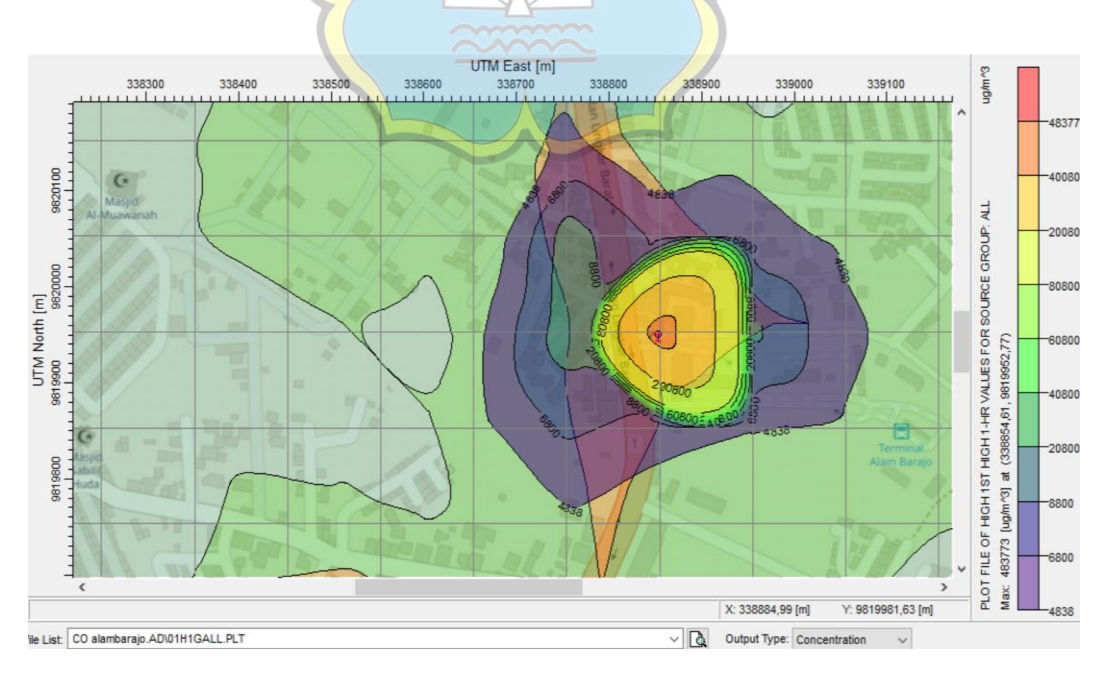
4.5 Permodelan Dispersi Sebaran Konsentrasi Karbon Monoksida (CO)

Permodelan pencemaran udara adalah menggambarkan proses pencemaran udara, mengaitkan semua komponen/variabel pembentuknya dengan menggunakan representasi logika dan matematika. Permodelan pencemaran udara dapat memberikan data yang dapat digunakan oleh pembuat kebijakan untuk membuat regulasi yang lebih efektif dalam mengontrol emisi polutan serta dapat

digunakan untuk memprediksi penyebaran polutan dan memberikan rekomendasi untuk evakuasi atau tindakan lainnya untuk melindungi masyarakat.

AERMOD merupakan sistem pemodelan disperse astmosferik yang terdiri dari tiga modul yang terintegrasi yaitu model disperse untuk kondisi tunak, pra pengolah data meteorologi, dan dan pra pengolah data permukaan bumi. Software AERMOD View berfungsi untuk melihat penyebaran polusi pada daerah pedesaan dan perkotaan, area datar dan medan yang kompleks, permukaan datar dan berelevasi, dan berbagai sumber (termasuk titik wilayah dan sumber volume) (Cimorelli et al., 2005)

Hasil permodelan pada titik I adalah 0,013795 g/s dengan titik koordinat 1.374235S 103.330509E, yang dapat dilihat pada gambar 4.16 peta sebaran konsentrasi karbon monoksida (CO) pada udara ambien.



Gambar 4.4 Permodelan Kualitas Udara Karbon Monoksida (CO)

Berdasarkan gambar 4.4 sumber pencemaran CO (Karbon Monoksida) di Terminal Alam Barajo, disebabkan oleh transportasi seperti motor, mobil, truck, dan lain-lain. Pengambilan sampel dilakukan pada 2 titik menunjukan sebaran konsentrasi CO mengarah ke gerbang masuk Terminal Alam Barajo dengan konsentrasi antara 40800 - 48377 μg/m3. Konsentrasi CO yang tinggi dapat memicu terjadinya efek keracunan berbahaya bagi kesehatan manusia paparan CO, dalam jangka waktu panjang dapat membawa resiko yang besar. Perlu adanya pemantauan lingkungan dan penghijauan di sekitar perumahan agar kandungan CO, tidak menimbulkan polusi udara.

4.6 Analisis Kebisingan

Nilai kebisingan pada lokasi penelitian didapatkan dengan cara melakukan perhitungan tingkat kebisingan ekivalen (Leq), tingkat kebisingan pada siang hari (Ls), dan tingkat kebisingan pada malam hari (Lm) yang terdapat di dalam Keputusan Menteri Lingkungan Hidup Nomor 48 1996 Tentang Baku Tingkat Kebisingan menggunakan persamaan:

$$L_{eq} = 10 \text{ Log}_{10} \left[\frac{1}{T} \int_{0}^{T} 10^{0.1Li} dt \right]$$

Keterangan:

n = jumlah sampel

Li = tingkatan kebisingan pada sampel i

ti = fraksi dari waktu terhadap total waktu

Keterangan:

LM = Leq selama malam hari

T3 = waktu ke-3

L3 = nilai kebisingan 3

Lsm =
$$10 \text{ Log } 1/24 (16.10^{0.1 \text{Ls}} + 8.10^{0.1 \text{Lm}}) \text{ dB}$$

Keterangan:

LSM = Leq selama siang dan malam hari

Tabel 4. 6 Hasil Perhitungan Parameter Kebisingan

Tanggal	Daviada (Jama)		Tit	ik I	-		Titik II			
Tanggal	Periode (Jam)	Leq	LS	LM	LSM	Leq	LS	LM	LSM	
12/08/2024	07.00 - 08.00	64,9	61,3			62,5	53		53,6	
	13.00 - 14.00	74,04	61,3		63,2	63,5	53			
	17.30 - 18.30	78,21		65,6		63,5		54,6		
	07.00 - 08.00	69,8	77,3			56,4	45,7		60,6	
16/08/2024	13.00 - 14.00	65,8	77,3		75,5	68,3	45,7			
	17.30 - 18.30	67		61,1		61,4		53,3		
18/08/2024	07.00 - 08.00	64,8	64,2	\wedge		57,3	49,6			
	13.00 - 14.00	61,9	64,2		63.2	57,4	49,6		55,7	
	17.30 - 18.30	62,9		60,3	\	53,7		59,8		

Sumber: Hasil Pengukuran Lapangan, 2024

Berdasarkan tabel 4.6 diketahui bahwa hasil perhitungan yang dilakukan pada titik I menunjukan parameter kebisingan telah melebihi nilai ambang batas yang ditentukan pada Permenkes No 2 Tahun 2024 dengan nilai sebesar 60db(A) sebagai fasilistas umum, hal ini terjadi dikarenakan titik pengambilan sampel yang berada di pintu masuk terminal alam barajo yang berlokasi pada jalu lalu lintas yang ramai. Hasil penelitian ini sesuai dengan (Dwis R, 2022) tingkat kebisingan pada siang hari (LS) pada pintu masuk terminal (Titik 1) Pinasungkulan telah melebihi batas baku mutu yang di tetapkan oleh Permenkes Nomor 2 Tahun 2023 yaitu sebesar 60 dB(A).

Sedangkan pada titik II menunujukan terjadinya kebisingan pada hari jum'at dengan nilai sebesar 60,6 db(A) telah melebihi nilai ambang batas yang ditentukan pada Permenkes No 2 Tahun 2024 dengan nilai sebesar 60db(A)

sebagai fasilistas umum, sedangkan pada hari senin dan minggu masih berada di bawah ambang batas, hal ini terjadi dikarenakan titik pengambilan sampel yang berada pada bagian dalam terminal alam barajo sehingga jauh dari jalur lalu lintas yang ada pada titik I.

4.7 Upaya Penanggulangan Dampak Pencemaran Udara

Penanggulangan adalah upaya yang dilaksanakan untuk memperbaiki sesuatu yang dapat merusak. Upaya penanggulangan ini dimaksudkan untuk mengurangi konsentrasi karbon monoksida (CO) terhadap daerah yang berpotensi menghasilkan sumber pencemar CO. Berdasarkan pengukuran yang telah dilaksanakan bahwa ada lokasi titik sampling yang memiliki konsentrasi CO yang cukup tinggi yaitu pada titik I dengan begitu penanggulangan yang dilakukan tergantung dari hasil konsentrasi CO pada masing-masing titik sampling (Azizah, 2023). Pada titik I memiliki nilai tertinggi untuk konsentrasi CO, Upaya yang dapat dilakukan yaitu, diperlukan ruang terbuka hijau di dekat lokasi tersebut agar konsentrasi karbon monoksida (CO) dapat berkurang dan bagi pengendara untuk rutin melakukan perawatan dan pengecekkan kondisi kendaraan.

4.8 Upaya Penanggulangan Kebisingan Di Terminal Alam Barajo

- Penataan lahan parkir untuk kendaraan yang beraktivitas di Terminal Alam Barajo, sehingga mengurangi kebisingan.
- Meningkatkan kedisiplinan masyarakat dengan membatasi modifikasi kendaraan bermotor yang dapat berpotensi menimbulkan kebisingan

seperti mengganti knalpot racing dan klakson pada kendaraan yang dapat mengganggu pendengaran.



BAB V

KESIMPULAN DAN SARAN

5.1 Kesimpulan

- 1. Berdasarkan hasil pengukuran langsung terhadap kualitas udara ambien karbon monoksida (CO) di terminal alam barajo serta hasil perhitungan didapatkan hasil konsentrasi CO pada hari senin jam 07.00-08.00 berada di atas nilai ambang batas yang di tetapkan yaitu sebesar 10115 μg/Nm³ sedangkan nilai yang diperbolehkan hanya sebesar 10000 μg/Nm³ dan pada jam maupun hari lain berada di bawah ambang batas yang telah di tetapkan. Untuk parameter kebisingan didapatkan nilai kebisingan tertinggi yaitu pada hari Jumat titik I dengan konsentrasi kebisingan 75,5 dBA. Sementara konsentrasi kebisingan terendah yaitu pada hari Senin titik II dengan konsentrasi kebisingan 53,6 dBA
- 2. Berdasarkan hasil pengamatan yang dilakukan menggunakan software Aermod diketahui sebaran emisi yang berada pada area pengambilan sampel memiliki nilai tertinggi sebesar 48377 μg/m³ dengan cakupan area yang kecil, dan yang terendah sebesar 10900 μg/m³.

5.2 Saran

Berdasarkan hasil penelitian, saran yang dapat diberikan untuk pengendalian pencemaran udara dan kebisingan di terminal alam barajo yaitu :

- Bagi pengendara untuk rutin melakukan perawatan dan pengecekkan kondisi kendaraan.
- Penataan lahan parkir untuk kendaraan yang beraktivitas di Terminal Alam Barajo, sehingga mengurangi kebisingan.
- 3. Meningkatkan kedisiplinan masyarakat dengan membatasi modifikasi kendaraan bermotor yang dapat berpotensi menimbulkan kebisingan seperti mengganti knalpot *racing* dan klakson pada kendaraan yang dapat mengganggu pendengaran.



DAFTAR PUSTAKA

- Aly. (2023). Buku Esensi Pencemaran Udara. Edisi Tahun 2023
- Azizah. (2023). Perbedaan Dispersi Polutan Karbon Monoksida (CO) PADA Ruas Jalan Tambak Osowilangun Dan Jalan DR. IR. H. Soekarno Surabaya Menggunakan Model Caline 4. Tugas Akhir. Program Studi Teknik Lingkungan Fakultas Sains Dan Teknologi Universitas Islam Negeri Sunan Ampel Surabaya
- BPS Provinsi Jambi, (2022). Jumlah Kendaraan Bermotor 2017-2019. Di petik pada tanggal 20 April 2024, dari BPS Provinsi Jambi. https://jambi.bps.gp.id/indicator/17/422/1/jumlah-kendaraan-bermotor-html.
- Corbett, R (1989 Standar Handbook On Environmental Engineering, McGraw-Hill, New York
- EPA, 2004. User's guide for the AMS/EPA Regulatory model-AERMOD. EPA-454/B-03-001.
- Fadli, M. Herawati, P. Hadrah, Adriansyah, E. Sufra, R & Syaiful, M. (2022). Analysis of Carbon Monoxide (CO) Quality Due to the Construction of the Miftahun Najah Islamic Boarding School. Internastional Journal of Research In Vacational Studies (IJRVOCAS). VOL. 2, NO. 2, August 2022, PP 36-40. ISSN-2777-0141 | DOI prefix: 10.53893. https://journal.gpp.or.id/index.php/ijrvocas/index
- Haruna.M.F, (2020). Analisis Biomassa dan Potensi Penyerapan Karbon Oleh Tanaman Pohon di Taman Kota Luwuk. Jurnal Pendidikan Glasser. Vol. 4, No. 2, Oktober 2021. P-ISSN: 2579-5082. e-ISSN:2598-2818. DOI:10.32529/glasser.V4i2.742.
- I. Kayes, 2019. The relationships between meteorological parameters and air pollutants in an urban environment. Global J. Environ. Sci. Manage. 5 (3). 265-278.
- Keputusan Menteri Lingkungan Hidup Nomor 22 Tahun 2021 Tentang NAB Faktor Fisika Di Lingkungan Kerja
- Kiely, G. (1998) *Environmental Engineering*, International Editions, Mc-Graw-Hill International, Singapore.
- Lazaridis, Mihalis. 2011. First Principles Of Meteorology And Air Pollution. Springer.

- MetCalf and Eddy Inc. (1991) *Wastewater Engineering: Treatment, Disposal and Reuse,* T. Tchnobanoglous dan F. Burton (eds), Mc-Graw-Hill, New York.
- Mukhlis, W.I.N, Sudarmanto, Y., & Hasan, M. (2018). Pengaruh Kebisingan terhadap Tekanan Darah dan Nadi pada Pekerja Pabrik Kayu PT Muroco Jember. Jurnal Kesehatan Lingkungan Indonesia. 17(2): pp. 112 118
- Mukhwizal. (2000). Buku Kesehatan Lingkungan.
- Peraturan Pemerintah Nomor 22 Tahun 2021 Tentang Penyelenggaraan Perlindungan Dan Pengelolaan Lingkungan Hidup
- Prabowo.K, (2018). Buku Penyehatan Udara. Pusat Pendidikan Sumber Daya Manusia Kesehatan. Edisi 2018
- Prasasti. (2023). Analisis Dispersi Karbon Monoksida (CO) Pada Udara Ambien Di Jalan Lintas Mendalo Darat Kabupaten Muaro Jambi. Tugas Akhir. Program Studi Teknik Lingkungan Fakultas Teknik Universitas Batanghari Jambi.
- Pratiwi. (2020). Pengukuran Kinerja Sistem Kualitas Udara Dengan Teknologi WSN Menggunakan Confusion Matrix. Tugas Akhir. Jurusan Teknik Elektro, Politeknik Negeri Sriwijaya
- Puspitasari, 2011. Pola Spasial Pencemaran Udara Dari Sumber Pencemar PLTU dan PLTGU Muara Karang. Skripsi, Fakultas Matematika dan Ilmu Pengetahuan Alam, UI, Depok.
- Puspitasari, 2011. Pola Spasial Pencemaran Udara Dari Sumber Pencemar PLTU dan PLTGU Muara Karang. Skripsi, Fakultas Matematika dan Ilmu Pengetahuan Alam, UI, Depok.
- Sawyer, C.N. dan P.L. McCarty (1989) Chemistry For Environmental Engineering, McGraw-Hill, New York.
- Seinfeld, J. (1986) Atmospheric Chemistry and Physics of Air Pollution, John Wiley, New York
- Simajuntak. (2007). Pencemaran Udara. Buletin Limbah Vol. 11 No. 1 2007. Pusat Teknologi Limbah Radioaktif
- Suryani. (2021). Buku Pengendalian Pencemaran Udara. Edisi Tahun 2021
- USEPA (1986) Guidelines On Air Quality Models, EPA-450/2-78-02R, July.

Xyrichis, J. Wynne, J. MacKrill, A. M. Rafferty, and A. Carlyle, "Noise. 66. Lazuardi Ramadhan - 118190092. ANALISIS PENGARUH KEBISINGAN TERHADAP KESEHATAN



LAMPIRAN PERHITUNGAN

A. PERHITUNGAN KONSENTRASI KARBON MONOKSIDA (CO)

1. Perhitungan CO Hari Senin Jam 07.00 – 08.00 WIB Titik I

$$\mu g/Nm^3 = ppm \ x \ 1000 \ x \frac{PXM}{RXT}$$
$$= 9 \ x \ 1000 \ x \frac{1x28}{0,0821x303,45}$$
$$= 10.115 \ \mu g/Nm^3$$

2. Perhitungan CO Hari Senin Jam 07.00 – 08.00 WIB Titik II

$$\mu g/Nm^3 = ppm \ x \ 1000 \ x \frac{PXM}{RXT}$$

$$= 4 \ x \ 1000 \ x \frac{1x28}{0.0821x303.45}$$

$$= 4.496 \ \mu g/Nm^3$$

3. Perhitungan CO Hari Senin Jam 13.00 – 14.00 WIB Titik I

$$\mu g/Nm^3 = ppm \ x \ 1000 \ x \frac{pxm}{RxT}$$
$$= 4 \ x \ 1000 \ x \frac{1x28}{0,0821x303,45}$$
$$= 4.496 \ \mu g/Nm^3$$

4. Perhitungan CO Hari Senin Jam 13.00 – 14.00 WIB Titik II

$$\mu g/Nm^3 = ppm \ x \ 1000 \ x \frac{PXM}{RXT}$$
$$= 3 \ x \ 1000 \ x \frac{1x28}{0,0821x303,45}$$

$$= 3.371 \ \mu g/Nm^3$$

5. Perhitungan CO Hari Senin Jam 17.30 – 18.30 WIB Titik I

$$\mu g/Nm^3 = ppm \ x \ 1000 \ x \frac{PXM}{RXT}$$
$$= 5 \ x \ 1000 \ x \frac{1x28}{0,0821x303,45}$$
$$= 5.620 \ \mu g/Nm^3$$

6. Perhitungan CO Hari Senin Jam 17.30 – 18.30 WIB Titik II

$$\mu g/Nm^3 = ppm \ x \ 1000 \ x \frac{PXM}{RXT}$$

$$= 2 \ x \ 1000 \ x \frac{1x28}{0,0821x303,45}$$

$$= 2.248 \ \mu g/Nm^3$$

7. Perhitungan CO Hari Jum'at Jam 07.00 – 08.00 Titik I

$$\mu g/Nm^3 = ppm \ x \ 1000 \ x \frac{pxm}{RXT}$$
$$= 6 \ x \ 1000 \ x \frac{1x28}{0,0821x303,45}$$
$$= 6.743 \ \mu g/Nm^3$$

8. Perhitungan CO Hari Jum'at Jam 07.00 – 08.00 Titik II

$$\mu g/Nm^3 = ppm \ x \ 1000 \ x \frac{PXM}{RXT}$$
$$= 3 \ x \ 1000 \ x \frac{1x28}{0,0821x303,45}$$
$$= 3.371 \ \mu g/Nm^3$$

9. Perhitungan CO Hari Jum'at Jam 13.00 – 14.00 Titik I

$$\mu g/Nm^3 = ppm \ x \ 1000 \ x \frac{PXM}{RXT}$$
$$= 6 \ x \ 1000 \ x \frac{1x28}{0,0821x303,45}$$
$$= 6.743 \ \mu g/Nm^3$$

10. Perhitungan CO Hari Jum'at Jam 13.00 – 14.00 Titik II

$$\mu g/Nm^3 = ppm \ x \ 1000 \ x \frac{PXM}{RXT}$$

$$= 1 \ x \ 1000 \ x \frac{1x28}{0,0821x303,45}$$

$$= 1.124 \ \mu g/Nm^3$$

11. Perhitungan CO Hari Jum'at Jam 17.30 – 18.30 WIB Titik I

$$\mu g/Nm^3 = ppm \ x \ 1000 \ x \frac{pxm}{RXT}$$
$$= 5 \ x \ 1000 \ x \frac{1x28}{0,0821x303,45}$$
$$= 5.620 \ \mu g/Nm^3$$

12. Perhitungan CO Hari Jum'at Jam 17.30 – 18.30 WIB Titik II

$$\mu g/Nm^3 = ppm \ x \ 1000 \ x \frac{PXM}{RXT}$$
$$= 2 \ x \ 1000 \ x \frac{1x28}{0,0821x303,45}$$
$$= 2.248 \ \mu g/Nm^3$$

13. Perhitungan CO Hari Minggu Jam 07.00 – 08.00 WIB Titik I

$$\mu g/Nm^3 = ppm \ x \ 1000 \ x \frac{PXM}{RXT}$$
$$= 5 \ x \ 1000 \ x \frac{1x28}{0,0821x303,45}$$
$$= 5.620 \ \mu g/Nm^3$$

14. Perhitungan CO Hari Minggu Jam 07.00 – 08.00 WIB Titik II

$$\mu g/Nm^3 = ppm \ x \ 1000 \ x \frac{PXM}{RXT}$$

$$= 3 \ x \ 1000 \ x \frac{1x28}{0,0821x303,45}$$

$$= 3.371 \ \mu g/Nm^3$$

15. Perhitungan CO Hari Minggu Jam 13.00 – 14.00 WIB Titik I

$$\mu g/Nm^3 = ppm \times 1000 \times \frac{pxm}{RXT}$$

$$= 4 \times 1000 \times \frac{1x28}{0.0821x303,45}$$

$$= 4.496 \mu g/Nm^3$$

16. Perhitungan CO Hari Minggu Jam 13.00 – 14.00 WIB Titik II

$$\mu g/Nm^3 = ppm \ x \ 1000 \ x \frac{PXM}{RXT}$$
$$= 2 \ x \ 1000 \ x \frac{1x28}{0,0821x303,45}$$
$$= 2.248 \ \mu g/Nm^3$$

17. Perhitungan CO Hari Minggu Jam 17.30 – 18.30 WIB Titik I

$$\mu g/Nm^3 = ppm \ x \ 1000 \ x \frac{PXM}{RXT}$$
$$= 7 \ x \ 1000 \ x \frac{1x28}{0,0821x303,45}$$
$$= 7.867 \ \mu g/Nm^3$$

18. Perhitungan CO Hari Minggu Jam 17.30 – 18.30 WIB Titik II

$$\mu g/Nm^3 = ppm \ x \ 1000 \ x \frac{PXM}{RXT}$$

$$= 1 \ x \ 1000 \ x \frac{1x28}{0,0821x303,45}$$

$$= 1.124 \ \mu g/Nm^3$$

B. PERHITUNGAN TITIK I

1. Menghitung laju alir gas yang keluar

Diketahui: Luas penampang jalan = 20 m^2 Luas penampang knalpot = 10 cmKecepatan kendaraan = 10 km/jam= $10 \text{ km/jam x} \frac{5}{18} \text{ m/s}$ = $\frac{10}{3.6} \text{ m/s} = 2,77 \text{ m/s}$

2. Menghitung luas penampang knalpot

Luas penampang knalpot (A) = Ø knalpot = 10 cm Luas (A) = π r² = π (25 cm) = 78,5 cm²

$$= 78,5 \text{ cm x } 10^{-3} \text{ m}^2$$

3. Menghitung laju alir gas

Q = A x v
= 78,5 cm x
$$10^{-3}$$
 m² x 2,77 m/s
= 0,218 m³/s
= 21,8 x 10^{-2} m³/s

Laju alir gas dari knalpot kendaraan dengan $\emptyset = 10$ cm adalah 21,8 x 10^{-2} m³/s

4. Menghitung Exit Velocity (m/s)

Vexit =
$$\frac{0,218 \, m^3/s}{0,1 \, m^2}$$

= 2,1806 m/s

5. Menghitung Emission Rate

a. Senin, 12-08-2024 Pukul 07.00-08.00 WIB

Emission Rate = Konsentrasi CO (
$$\mu$$
g/Nm³) x Exit Velocity (m/s)
= 10115 μ g/Nm³ x 2,1806 m/s
= 22056,32

b. Senin, 12-08-2024 Pukul 13.00-14.00 WIB

Emission Rate = Konsentrasi CO (
$$\mu$$
g/Nm³) x Exit Velocity (m/s)
= 4496 μ g/Nm³ x 2,1806 m/s
= 9803,78

c. Senin, 12-08-2024 Pukul 17.30-18.30 WIB

Emission Rate = Konsentrasi CO (
$$\mu$$
g/Nm³) x Exit Velocity (m/s)
= 5620 μ g/Nm³ x 2,1806 m/s

d. Jum'at, 16-08-2024 Pukul 07.00-08.00 WIB

Emission Rate = Konsentrasi CO (μ g/Nm³) x Exit Velocity (m/s) = 6743 μ g/Nm³ x 2,1806 m/s = 14703,49

e. Jum'at, 16-08-2024 Pukul 13.00-14.00 WIB

Emission Rate = Konsentrasi CO (μ g/Nm³) x Exit Velocity (m/s) = 6743 μ g/Nm³ x 2,1806 m/s = 14703.49

f. Jum'at, 16-08-2024 Pukul 17.30-18.30 WIB

Emission Rate = Konsentrasi CO (μ g/Nm³) x Exit Velocity (m/s) = 5620 μ g/Nm³ x 2,1806 m/s = 12254,72

g. Minggu, 18-08-2024 Pukul 07.00-08.00 WIB

Emission Rate = Konsentrasi CO (μ g/Nm³) x Exit Velocity (m/s) = 5620 μ g/Nm³ x 2,1806 m/s = 12254,72

h. Minggu, 18-08-2024 Pukul 13.00-14.00 WIB

Emission Rate = Konsentrasi CO (μ g/Nm³) x Exit Velocity (m/s) = 4496 μ g/Nm³ x 2,1806 m/s = 9803,78

i. Minggu, 18-08-2024 Pukul 17.30-18.30 WIB

Emission Rate = Konsentrasi CO (μ g/Nm³) x Exit Velocity (m/s)

$$= 7867 \mu g/Nm^3 x 2,1806 m/s$$

$$= 17154,43$$

6. Menghitung Total Emision Rate

a. Senin, 12-08-2024 Pukul 07.00-08.00 WIB

Total *Emission Rate* = *Emission Rate* x Jumlah Kendaraan

$$= 22056,32 \times 450$$

=9925344

b. Senin, 12-08-2024 Pukul 13.00-14.00 WIB

Total *Emission Rate* = *Emission Rate* x Jumlah Kendaraan

$$= 9803,78 \times 151$$

= 1480370

c. Senin, 12-08-2024 Pukul 17.30-18.30 WIB

Total *Emission Rate* = *Emission Rate* x Jumlah Kendaraan

=2193595

d. Jum'at, 16-08-2024 Pukul 07.00-08.00 WIB

Total *Emission Rate* = *Emission Rate* x Jumlah Kendaraan

$$= 14703,49 \times 285$$

=4190494

e. Jum'at, 16-08-2024 Pukul 13.00-14.00 WIB

Total *Emission Rate* = *Emission Rate* x Jumlah Kendaraan

$$= 14703,49 \times 364$$

= 5352069

f. Jum'at, 16-08-2024 Pukul 17.30-18.30 WIB

Total *Emission Rate* = *Emission Rate* x Jumlah Kendaraan

$$= 12254,72 \times 157$$

= 1923991

g. Minggu, 18-08-2024 Pukul 07.00-08.00 WIB

Total *Emission Rate* = *Emission Rate* x Jumlah Kendaraan

$$= 12254,72 \times 261$$

= 3198483

h. Minggu, 18-08-2024 Pukul 13.00-14.00 WIB

Total *Emission Rate* = *Emission Rate* x Jumlah Kendaraan

$$= 9803,78 \times 193$$
$$= 1892129$$

i. Minggu, 18-08-2024 Pukul 17.30-18.30 WIB

Total *Emission Rate* = *Emission Rate* x Jumlah Kendaraan

= 5129175

C. PERHITUNGAN TITIK II

1. Menghitung laju alir gas yang keluar

Diketahui: Luas penampang jalan $= 20 \text{ m}^2$

Luas penampang knalpot = 10 cm

Kecepatan kendaraan = 10 km/jam

$$= 10 \text{ km/jam x} \frac{5}{18} \text{ m/s}$$

$$=\frac{10}{3.6}$$
 m/s = 2,77 m/s

2. Menghitung luas penampang knalpot

Luas penampang knalpot (A) = Ø knalpot = 10 cm

Luas (A) =
$$\pi$$
 r²
= π (25 cm) = 78,5 cm²
= 78,5 cm x 10⁻³ m²

3. Menghitung laju alir gas

Q = A x v
= 78,5 cm x
$$10^{-3}$$
 m² x 2,77 m/s
= 0,218 m³/s
= 21,8 x 10^{-2} m³/s

Laju alir gas dari knalpot kendaraan dengan $\emptyset = 10$ cm adalah 21,8 x 10^{-2} m³/s

Menghitung *Exit Velocity* (m/s)

Vexit =
$$\frac{0.218 \text{ m}^3/\text{s}}{0.1 \text{ m}^2}$$

= 2,1806 m/s

4. Menghitung Emision Rate

a. Senin, 12-08-2024 Pukul 07.00-08.00 WIB

Emission Rate = Konsentrasi CO (
$$\mu$$
g/Nm³) x Exit Velocity (m/s)
= 4496 μ g/Nm³ x 2,1806 m/s
= 9803.78

b. Senin, 12-08-2024 Pukul 13.00-14.00 WIB

Emission Rate = Konsentrasi CO (
$$\mu$$
g/Nm³) x Exit Velocity (m/s)
= 3371 μ g/Nm³ x 2,1806 m/s

c. Senin, 12-08-2024 Pukul 17.30-18.30 WIB

Emission Rate = Konsentrasi CO (μ g/Nm³) x Exit Velocity (m/s) = 2248 μ g/Nm³ x 2,1806 m/s = 4901,89

d. Jum'at, 16-08-2024 Pukul 07.00-08.00 WIB

Emission Rate = Konsentrasi CO (μ g/Nm³) x Exit Velocity (m/s) = 3371 μ g/Nm³ x 2,1806 m/s = 7350,65

e. Jum'at, 16-08-2024 Pukul 13.00-14.00 WIB

Emission Rate = Konsentrasi CO (μ g/Nm³) x Exit Velocity (m/s) = 1124 μ g/Nm³ x 2,1806 m/s = 2450,94

f. Jum'at, 16-08-2024 Pukul 17.30-18.30 WIB

Emission Rate = Konsentrasi CO (μ g/Nm³) x Exit Velocity (m/s) = 2248 μ g/Nm³ x 2,1806 m/s = 4901,89

g. Minggu, 18-08-2024 Pukul 07.00-08.00 WIB

Emission Rate = Konsentrasi CO (μ g/Nm³) x Exit Velocity (m/s) = 3371 μ g/Nm³ x 2,1806 m/s = 7350,65

h. Minggu, 18-08-2024 Pukul 13.00-14.00 WIB

Emission Rate = Konsentrasi CO (μ g/Nm³) x Exit Velocity (m/s)

$$= 2248 \mu g/Nm^3 x 2,1806 m/s$$

$$=4901,89$$

i. Minggu, 18-08-2024 Pukul 17.30-18.30 WIB

Emission Rate = Konsentrasi CO (μ g/Nm³) x Exit Velocity (m/s)

$$= 1124 \mu g/Nm^3 x 2,1806 m/s$$

$$= 2450,94$$

5. Menghitung Total Emision Rate

a. Senin, 12-08-2024 Pukul 07.00-08.00 WIB

Total *Emission Rate* = *Emission Rate* x Jumlah Kendaraan

$$= 9803,78 \times 92$$

b. Senin, 12-08-2024 Pukul 13.00-14.00 WIB

Total *Emission Rate* = *Emission Rate* x Jumlah Kendaraan

$$=455740$$

c. Senin, 12-08-2024 Pukul 17.30-18.30 WIB

Total *Emission Rate* = *Emission Rate* x Jumlah Kendaraan

$$=4901,89 \times 26$$

$$= 127449$$

d. Jum'at, 16-08-2024 Pukul 07.00-08.00 WIB

Total *Emission Rate* = *Emission Rate* x Jumlah Kendaraan

$$= 7350,65 \times 50$$

$$= 367533$$

e. Jum'at, 16-08-2024 Pukul 13.00-14.00 WIB

Total *Emission Rate* = *Emission Rate* x Jumlah Kendaraan

$$= 2450,94 \text{ x} 12$$

$$= 29411$$

f. Jum'at, 16-08-2024 Pukul 17.30-18.30 WIB

Total *Emission Rate* = *Emission Rate* x Jumlah Kendaraan

$$=4901,89 \times 25$$

$$= 122547$$

g. Minggu, 18-08-2024 Pukul 07.00-08.00 WIB

Total Emission Rate = Emission Rate x Jumlah Kendaraan

$$= 7350,65 \times 63$$

h. Minggu, 18-08-2024 Pukul 13.00-14.00 WIB

Total *Emission Rate* = *Emission Rate* x Jumlah Kendaraan

$$=4901.89 \times 25$$

$$= 122547$$

i. Minggu, 18-08-2024 Pukul 17.30-18.30 WIB

Total *Emission Rate* = *Emission Rate* x Jumlah Kendaraan

$$= 2450,94 \times 32$$

$$= 78430$$

D. PERHITUNGAN KEBISINGAN

1. Perhitungan Kebisingan Hari Senin Jam 07.00 – 08.00 WIB Titik I

$$\Delta T_1 = 10 \text{ menit}$$

$$\Delta T_2 = 50$$
 menit

$$L_1 = 68,8 \text{ dB}$$

$$L_2 = 63,5 \text{ dB}$$

$$L_{eq} = 10 \operatorname{Log}_{10} \left[\frac{1}{T} (10^{0.1L1} \Delta T_1 + 10^{0.1L2} \Delta T_2) \right]$$

=
$$10 \operatorname{Log}_{10}[\frac{1}{60}(10^{6,8} \times 10 + 10^{6,35} \times 50)]$$

$$= 64,9 \text{ dB}$$

2. Perhitungan Kebisingan Hari Senin Jam 07.00 – 08.00 WIB Titik II

$$\Delta T_1 = 10 \text{ menit}$$

$$\Delta T_2 = 50 \text{ menit}$$

$$L_1 = 70,1 \text{ dB}$$

$$L_2 = 51,1 \text{ dB}$$

$$L_{\text{eq}} = 10 \text{ Log}_{10} \left[\frac{1}{T} \left(10^{0.1L1} \Delta T_1 + 10^{0.1L2} \Delta T_2 \right) \right]$$

=
$$10 \operatorname{Log_{10}}\left[\frac{1}{60} \left(10^{7,01} x \ 10 + 10^{5,11} \ x \ 50\right)\right]$$

$$= 62,5 \text{ dB}$$

3. Perhitungan Kebisingan Hari Senin Jam 13.00 – 14.00 WIB Titik I

$$\Delta T_1 = 10 \text{ menit}$$

$$\Delta T_2 = 50$$
 menit

$$L_1 = 81,6 \text{ dB}$$

$$L_2 = 61.8 \text{ dB}$$

$$L_{eq} = 10 \operatorname{Log}_{10}\left[\frac{1}{T} (10^{0.1L1} \Delta T_1 + 10^{0.1L2} \Delta T_2)\right]$$

=
$$10 \operatorname{Log}_{10} \left[\frac{1}{60} \left(10^{8,16} x \ 10 + 10^{6,18} \ 50 \right) \right]$$

= $74,04 \ dB$

4. Perhitungan Kebisingan Hari Senin Jam 13.00 – 14.00 WIB Titik II

$$\Delta T_1 = 10 \text{ menit}$$

$$\Delta T_2 = 50$$
 menit

$$L_1 = 68,4 \text{ dB}$$

$$L_2 = 61,2 \text{ dB}$$

$$L_{eq} = 10 \operatorname{Log}_{10} \left[\frac{1}{T} (10^{0.1L1} \Delta T_1 + 10^{0.1L2} \Delta T_2) \right]$$
$$= 10 \operatorname{Log}_{10} \left[\frac{1}{60} (10^{6.84} x \ 10 + 10^{6.12} x \ 50) \right]$$

$$= 10 \operatorname{Log}_{10} \left[\frac{1}{60} \left(10^{6,84} x \right) 10 + \frac{10^{6,12} x 50}{10^{6,12} x 50} \right]$$

$$= 63,5 \text{ dB}$$

5. Perhitungan Kebisingan Hari Senin Jam 17.30 – 18.30 WIB Titik I

$$\Delta T_1 = 10 \text{ menit}$$

$$\Delta T_2 = 50$$
 menit

$$L_1 = 85,6 \text{ dB}$$

$$L_2 = 68,4 \text{ dB}$$

$$L_{\text{eq}} = 10 \text{ Log}_{10} \left[\frac{1}{T} \left(10^{0,1L1} \Delta T_1 + 10^{0,1L2} \Delta T_2 \right) \right]$$

$$= 10 \operatorname{Log}_{10}\left[\frac{1}{6} (10^{8,56} \Delta T_1 + 10^{6,84} 50)\right]$$

$$= 78,21 \text{ dB}$$

6. Perhitungan Kebisingan Hari Senin Jam 17.30 – 18.30 WIB Titik II

$$\Delta T_1 = 10 \text{ menit}$$

$$\Delta T_2 = 50$$
 menit

$$L_1 = 68,4 \text{ dB}$$

$$L_2 = 61,2 \text{ dB}$$

$$L_{eq} = 10 \operatorname{Log}_{10} \left[\frac{1}{T} (10^{0.1L1} \Delta T_1 + 10^{0.1L2} \Delta T_2) \right]$$
$$= 10 \operatorname{Log}_{10} \left[\frac{1}{60} (10^{6.84} \times 10 + 10^{6.12} \times 50) \right]$$

$$= 63,5 \text{ dB}$$

• LS, LM, dan LSM Hari Senin Titik I

LS = 10 Log
$$(\frac{1}{16} (\Delta T_1 \times 10^{0.1L_1} + \Delta T_2 \times 10^{0.1L_2}))$$
 dB
= 10 Log $(\frac{1}{16} (1 \times 10^{6.81} + 1 \times 10^{6.18}))$ dB
= 61,3 dB

LM = 10 Log
$$(\frac{1}{8} (\Delta T_3 \times 10^{0.1L3}) dB$$

=
$$10 \text{ Log} \left(\frac{1}{8} (1 \times 10^{7,47}) \text{ dB}\right)$$

$$= 65,6 \text{ dB}$$

LSM =
$$10 \text{ Log} \left(\frac{1}{24} (16 \times 10^{0.1Ls} + 8 \times 10^{0.1Lm}) \right) dB$$

=
$$10 \text{ Log} \left(\frac{1}{24} (16 \times 10^{6,13} + 8 \times 10^{6,56}) \right) dB$$

= 63,2 dB (di atas baku mutu)

• LS, LM dan LSM Senin Titik II

LS = 10 Log
$$(\frac{1}{16} (\Delta T_1 \times 10^{0.1L1} + \Delta T_2 \times 10^{0.1L2}))$$
 dB
= 10 Log $(\frac{1}{16} (1 \times 10^{5.94} + 1 \times 10^{6.37}))$ dB
= 53,0 dB
LM = 10 Log $(\frac{1}{8} (\Delta T_3 \times 10^{0.1L3}))$ dB
= 10 Log $(\frac{1}{8} (1 \times 10^{6.37}))$ dB
= 54,6 dB
LSM = 10 Log $(\frac{1}{24} (16 \times 10^{0.1Ls} + 8 \times 10^{0.1Lm}))$ dB
= 10 Log $(\frac{1}{24} (16 \times 10^{5.30} + 8 \times 10^{5.46}))$ dB
= 53,6 dB (di bawah baku mutu)

7. Perhitungan Kebisingan Hari Jum'at Jam 07.00 – 08.00 WIB Titik I

$$\Delta T_1 = 10 \text{ menit}$$

$$\Delta T_2 = 50$$
 menit

$$L_1 = 76,8 \text{ dB}$$

$$L_2 = 62,8 \text{ dB}$$

$$L_{eq} = 10 \operatorname{Log}_{10} \left[\frac{1}{T} (10^{0.1L1} \Delta T_1 + 10^{0.1L2} \Delta T_2) \right]$$

$$= 10 \operatorname{Log}_{10} \left[\frac{1}{60} (10^{7.68} \times 10 + 10^{6.28} \times 50) \right]$$

$$= 69.8 \text{ dB}$$

8. Perhitungan Kebisingan Hari Jum'at Jam 07.00 – 08.00 WIB Titik II

$$\Delta T_1 = 10 \text{ menit}$$

$$\Delta T_2 = 50$$
 menit

$$L_1 = 63,0 \text{ dB}$$

$$L_2 = 51,0 \text{ dB}$$

$$L_{eq} = 10 \operatorname{Log}_{10} \left[\frac{1}{T} (10^{0,1L_1} \Delta T_1 + 10^{0,1L_2} \Delta T_2) \right]$$

=
$$10 \operatorname{Log}_{10}\left[\frac{1}{60} \left(10^{6,30} x \ 10 + 10^{5,10} \ x \ 50\right)\right]$$

$$= 56,4 \text{ dB}$$

9. Perhitungan Kebisingan Hari Jum'at Jam 13.00 – 14.00 WIB Titik I

$$\Delta T_1 = 10 \text{ menit}$$

$$\Delta T_2 = 50$$
 menit

$$L_1 = 71.8 \text{ dB}$$

$$L_2 = 62,1 \text{ dB}$$

$$L_{eq} = 10 \operatorname{Log}_{10}\left[\frac{1}{T} (10^{0,1L_1} \Delta T_1 + 10^{0,1L_2} \Delta T_2)\right]$$

=
$$10 \operatorname{Log}_{10} \left[\frac{1}{60} \left(10^{7,18} \ x \ 10 + 10^{6,21} \ x \ 50 \right) \right]$$

$$= 65,8 \text{ dB}$$

10. Perhitungan Kebisingan Hari Jum'at Jam 13.00 – 14.00 WIB Titik II

$$\Delta T_1 = 10 \text{ menit}$$

$$\Delta T_2 = 50$$
 menit

$$L_1 = 76,1 \text{ dB}$$

$$L_2 = 48,1 \text{ dB}$$

$$L_{eq} = 10 \text{ Log}_{10} \left[\frac{1}{T} (10^{0.1L1} \Delta T_1 + 10^{0.1L2} \Delta T_2) \right]$$

$$= 10 \text{ Log}_{10} \left[\frac{1}{60} (10^{7.61} x 10 + 10^{4.81} x 50) \right]$$

$$= 68.3 \text{ dB}$$

11. Perhitungan Kebisingan Hari Jum'at Jam 17.30 – 18.30 WIB Titik I

$$\Delta T_1 = 10 \text{ menit}$$

$$\Delta T_2 = 50$$
 menit

$$L_1 = 71,2 \text{ dB}$$

$$L_2 = 65,3 \text{ dB}$$

$$L_{\text{eq}} = 10 \text{ Log}_{10} \left[\frac{1}{T} (10^{0.1L_1} \Delta T_1 + 10^{0.1L_2} \Delta T_2) \right]$$

=
$$10 \operatorname{Log}_{10}\left[\frac{1}{60}\left(10^{7,12}x\ 10 + 10^{6,53}x\ 50\right)\right]$$

$$=67 \text{ dB}$$

12. Perhitungan Kebisingan Hari Jum'at Jam 131q2ui j.00 – 14.00

WIB Titik II

$$\Delta T_1 = 10 \text{ menit}$$

$$\Delta T_2 = 50$$
 menit

$$L_1 = 67,0 \text{ dB}$$

$$L_2 = 58,4 \text{ dB}$$

$$L_{eq} = 10 \text{ Log}_{10} \left[\frac{1}{T} (10^{0.1L1} \Delta T_1 + 10^{0.1L2} \Delta T_2) \right]$$

$$= 10 \text{ Log}_{10} \left[\frac{1}{60} (10^{6.70} x \ 10 + 10^{5.84} \ x \ 50) \right]$$

$$= 61.4 \text{ dB}$$

• LS, LM dan LSM Hari Jum'at Titik I

LS = 10 Log
$$(\frac{1}{16} (\Delta T_1 \times 10^{0.1L1} + \Delta T_2 \times 10^{0.1L2})) dB$$

= 10 Log $(\frac{1}{16} (1 \times 10^{7.30} + 1 \times 10^{8.93})) dB$
= 77,3 dB
LM = 10 Log $(\frac{1}{8} (\Delta T_3 \times 10^{0.1L3}) dB$
= 10 Log $(\frac{1}{8} (1 \times 10^{7.02}) dB$
= 61,1 dB
LSM = 10 Log $(\frac{1}{24} (16 \times 10^{0.1Ls} + 8 \times 10^{0.1Lm})) dB$
= 10 Log $(\frac{1}{24} (16 \times 10^{7.73} + 8 \times 10^{6.11})) dB$
= 75,5 dB

• LS, LM, dan LSM Hari Jum'at Titik II

LS = 10 Log
$$(\frac{1}{16} (\Delta T_1 \times 10^{0,1L1} + \Delta T_2 \times 10^{0,1L2})) dB$$

= 10 Log $(\frac{1}{16} (1 \times 10^{5,10} + 1 \times 10^{5,68})) dB$

$$= 45,7 \text{ dB}$$

LM = 10 Log
$$(\frac{1}{8} (\Delta T_3 \times 10^{0.1L3}))$$
 dB
= 10 Log $(\frac{1}{8} (1 \times 10^{6.24}))$ dB
= 53,3 dB

LSM =
$$10 \text{ Log} \left(\frac{1}{24} \left(16 \times 10^{0.1Ls} + 8 \times 10^{0.1Lm}\right)\right) \text{ dB}$$

= $10 \text{ Log} \left(\frac{1}{24} \left(16 \times 10^{4.57} + 8 \times 10^{5.33}\right)\right) \text{ dB}$
= $60.6 \text{ dB} \left(\text{di atas baku mutu}\right)$

13. Perhitungan Kebisingan Hari Minggu Jam 07.00 – 08.00 WIB Titik I

$$\Delta T_1 = 10 \text{ menit}$$

$$\Delta T_2 = 50 \text{ menit}$$

$$L_1 = 71,3 \text{ dB}$$

$$L_2 = 59.8 \text{ dB}$$

$$L_{eq} = 10 \text{ Log}_{10} \left[\frac{1}{T} (10^{0.1L1} \Delta T_1 + 10^{0.1L2} \Delta T_2) \right]$$

$$= 10 \text{ Log}_{10} \left[\frac{1}{60} (10^{7.13} x \ 10 + 10^{5.98} \ x \ 50) \right]$$

$$= 64.8 \text{ dB}$$

14. Perhitungan Kebisingan Hari Minggu Jam 07.00 – 08.00 WIB Titik

 \mathbf{II}

$$\Delta T_1 = 10 \text{ menit}$$

$$\Delta T_2 = 50$$
 menit

$$L_1 = 64,9 \text{ dB}$$

$$L_2 = 44.9 \text{ dB}$$

$$L_{eq} = 10 \text{ Log}_{10} \left[\frac{1}{T} (10^{0.1L1} \Delta T_1 + 10^{0.1L2} \Delta T_2) \right]$$

$$= 10 \text{ Log}_{10} \left[\frac{1}{60} (10^{6.49} x \ 10 + 10^{4.49} x \ 50) \right]$$

$$= 57.3 \text{ dB}$$

15. Perhitungan Kebisingan Hari Minggu Jam 13.00 – 14.00 WIB Titik I

$$\Delta T_1 = 10 \text{ menit}$$

$$\Delta T_2 = 50$$
 menit

$$L_1 = 67,3 \text{ dB}$$

$$L_2 = 59,1 \text{ dB}$$

$$L_{eq} = 10 \text{ Log}_{10} \left[\frac{1}{T} \left(10^{0.1L_1} \Delta T_1 + 10^{0.1L_2} \Delta T_2 \right) \right]$$

=
$$10 \operatorname{Log}_{10}\left[\frac{1}{60}\left(10^{6,73} \times 10 + 10^{5,91} \times 50\right)\right]$$

$$= 61,9 \text{ dB}$$

16. Perhitungan Kebisingan Hari Minggu Jam 13.00 – 14.00 WIB Titik

II

$$\Delta T_1 = 10 \text{ menit}$$

$$\Delta T_2 = 50$$
 menit

$$L_1 = 61,3 \text{ dB}$$

$$L_2 = 56,0 \text{ dB}$$

$$L_{\text{eq}} = 10 \text{ Log}_{10} \left[\frac{1}{T} \left(10^{0.1L1} \Delta T_1 + 10^{0.1L2} \Delta T_2 \right) \right]$$

=
$$10 \operatorname{Log}_{10} \left[\frac{1}{60} \left(10^{6,13} \ x \ 10 + 10^{5,60} \ x \ 50 \right) \right]$$

= 57,4 dB

17. Perhitungan Kebisingan Hari Minggu Jam 17.30 – 18.30 WIB Titik I

$$\Delta T_1 = 10 \text{ menit}$$

$$\Delta T_2 = 50 \text{ menit}$$

$$L_1 = 68,1 \text{ dB}$$

$$L_2 = 60,3 \text{ dB}$$

$$L_{eq} = 10 \operatorname{Log}_{10} \left[\frac{1}{T} (10^{0.1L1} \Delta T_1 + 10^{0.1L2} \Delta T_2) \right]$$

$$= 10 \operatorname{Log}_{10} \left[\frac{1}{60} (10^{6.81} x 10 + 10^{6.03} x 50) \right]$$

$$= 62.9 \text{ dB}$$

18. Perhitungan Kebisingan Hari Senin Jam 17.30 – 18.30 WIB Titik II

$$\Delta T_1 = 10 \text{ menit}$$

$$\Delta T_2 = 50$$
 menit

$$L_1 = 59,4 \text{ dB}$$

$$L_2 = 50,5 \text{ dB}$$

$$L_{eq} = 10 \text{ Log}_{10} \left[\frac{1}{T} (10^{0.1L1} \Delta T_1 + 10^{0.1L2} \Delta T_2) \right]$$

$$= 10 \text{ Log}_{10} \left[\frac{1}{60} (10^{5.94} x 10 + 10^{5.05} x 50) \right]$$

$$= 53.7 \text{ dB}$$

• LS, LM dan LSM Hari Minggu Titik I

LS = 10 Log
$$(\frac{1}{16} (\Delta T_1 \times 10^{0.1L1} + \Delta T_2 \times 10^{0.1L2}))$$
 dB
= 10 Log $(\frac{1}{16} (1 \times 10^{5.10} + 1 \times 10^{5.68}))$ dB
= 45,7 dB
LM = 10 Log $(\frac{1}{8} (\Delta T_3 \times 10^{0.1L3}))$ dB
= 10 Log $(\frac{1}{8} (1 \times 10^{6.24}))$ dB
= 53,3 dB
LSM = 10 Log $(\frac{1}{24} (16 \times 10^{0.1Ls} + 8 \times 10^{0.1Lm}))$ dB
= 10 Log $(\frac{1}{24} (16 \times 10^{4.57} + 8 \times 10^{5.33}))$ dB
= 60,6 dB

• LS, LM, dan LSM Hari Minggu Titik II

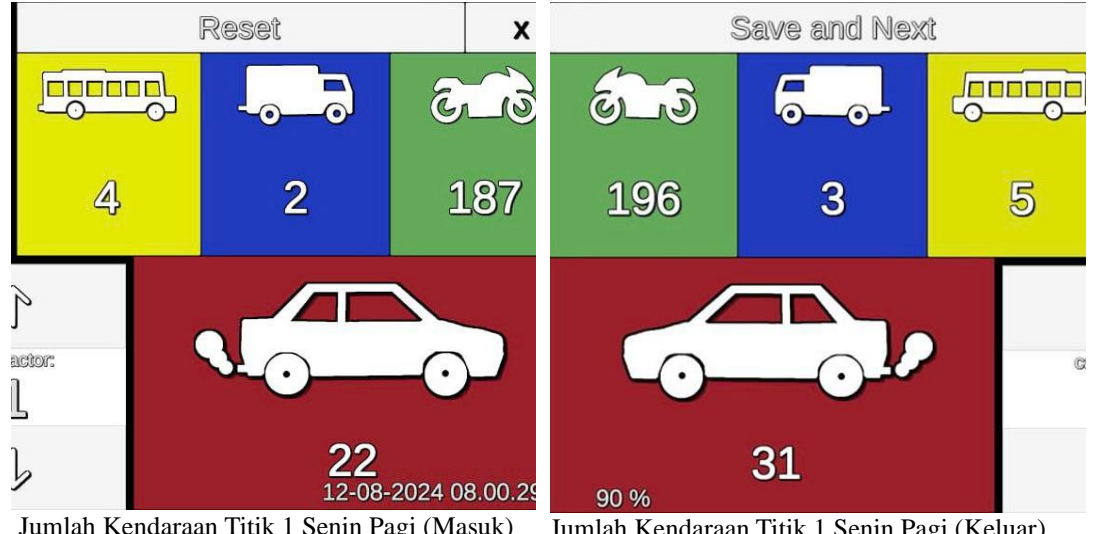
LS = 10 Log
$$(\frac{1}{16} (\Delta T_1 \times 10^{0.1L1} + \Delta T_2 \times 10^{0.1L2}))$$
 dB
= 10 Log $(\frac{1}{16} (1 \times 10^{7.52} + 1 \times 10^{6.98}))$ dB
= 64,2 dB
LM = 10 Log $(\frac{1}{8} (\Delta T_3 \times 10^{0.1L3}))$ dB
= 10 Log $(\frac{1}{8} (1 \times 10^{6.94}))$ dB

$$= 60,3 \text{ dB}$$

LSM = 10 Log
$$(\frac{1}{24}(16 \times 10^{0.1Ls} + 8 \times 10^{0.1Lm}))$$
 dB
= 10 Log $(\frac{1}{24}(16 \times 10^{6.42} + 8 \times 10^{6.03}))$ dB

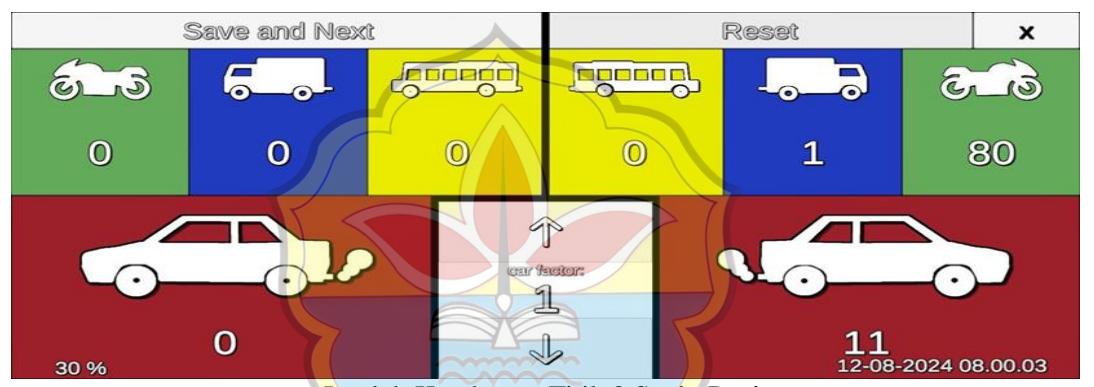
= 63,2 dB (di atas baku mutu)





Jumlah Kendaraan Titik 1 Senin Pagi (Masuk)

Jumlah Kendaraan Titik 1 Senin Pagi (Keluar)



Jumlah Kendaraan Titik 2 Senin Pagi



Konsentrasi CO Titik 1 Senin Pagi



Konsentrasi CO Titik 2 Senin Pagi



Nilai Max Kebisingan Titik 1 Senin Pagi

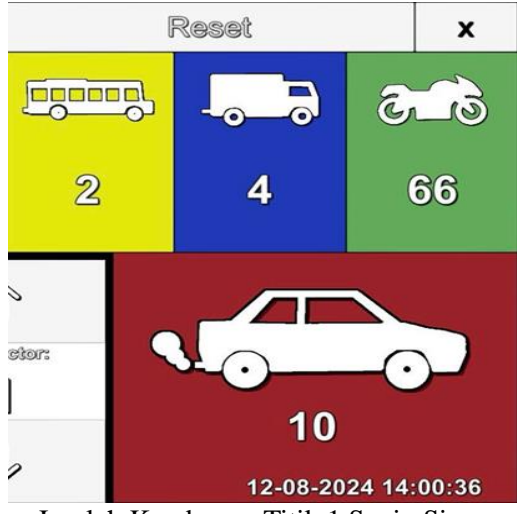


Nilai Min Kebisingan Titik 1 Senin Pagi

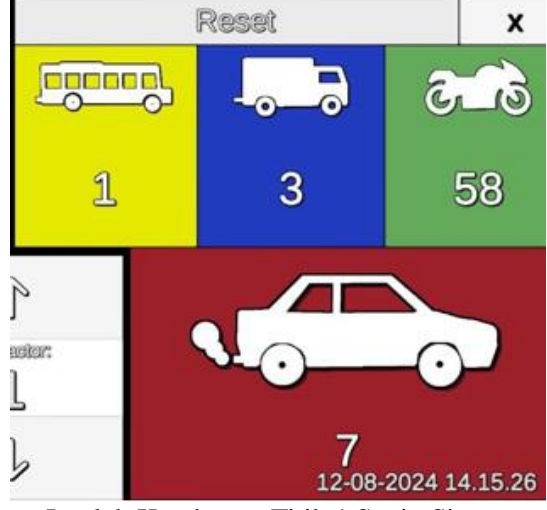


Nilai Max Kebisingan Titik 2 Senin Pagi

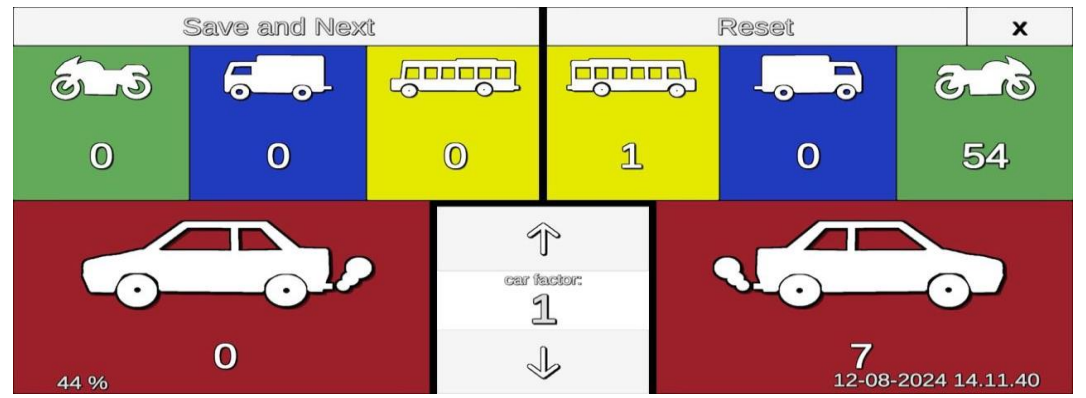
Nilai Min Kebisingan Titik 2 Senin Pagi



Jumlah Kendaraan Titik 1 Senin Siang (Masuk)



Jumlah Kendaraan Titik 1 Senin Siang (Keluar)



Jumlah Kendaraan Titik 2 Senin Siang









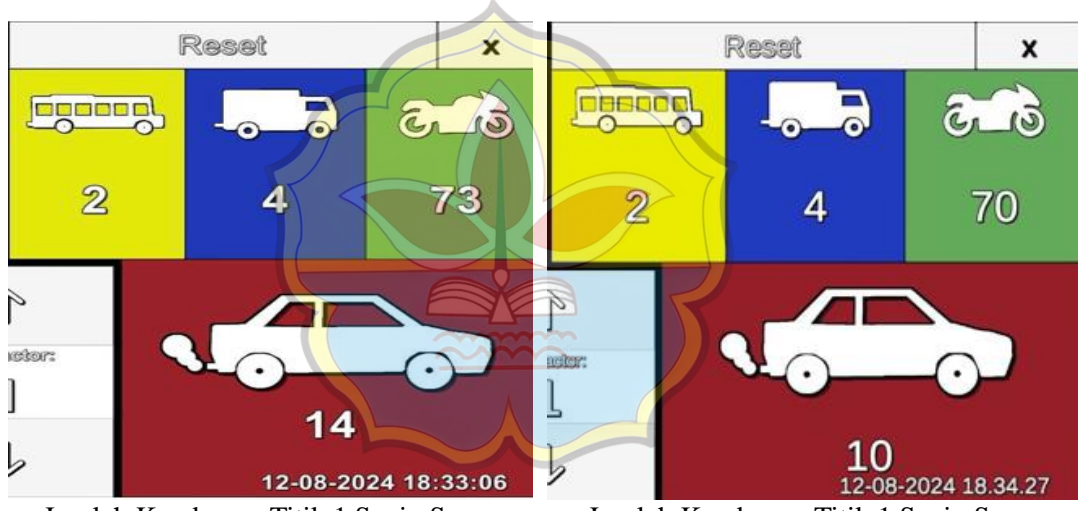
Nilai Min Kebisingan Titik 1 Senin Siang



Nilai MaxKebisingan Titik 2 Senin Siang

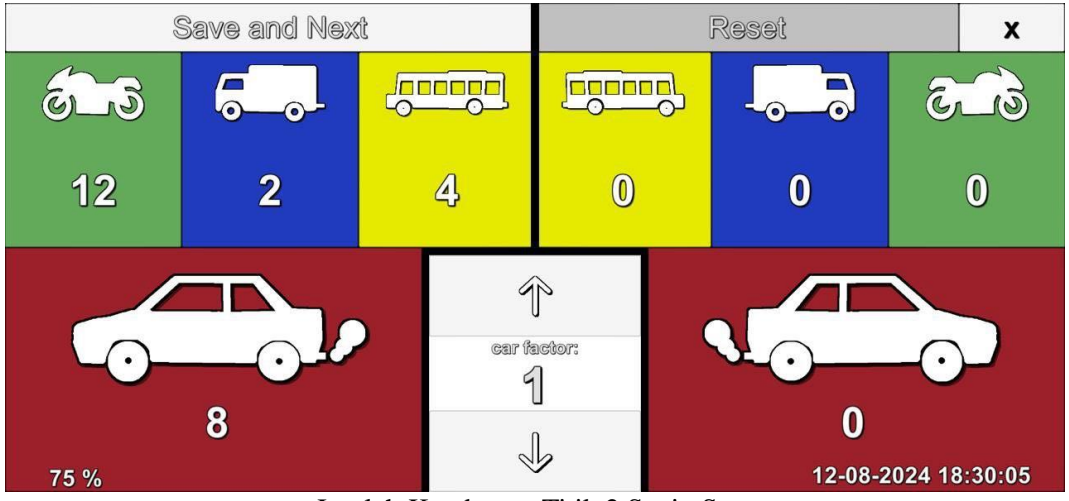


Nilai Min Kebisingan Titik 2 Senin Siang



Jumlah Kendaraan Titik 1 Senin Sore (Masuk)

Jumlah Kendaraan Titik 1 Senin Sore (Keluar)



Jumlah Kendaraan Titik 2 Senin Sore



Konsentrasi CO Titik 1 Senin Sore



Konsentrasi Co Titik 2 Senin Sore



Nilai Max Kebisingan Titik 1 Senin Sore



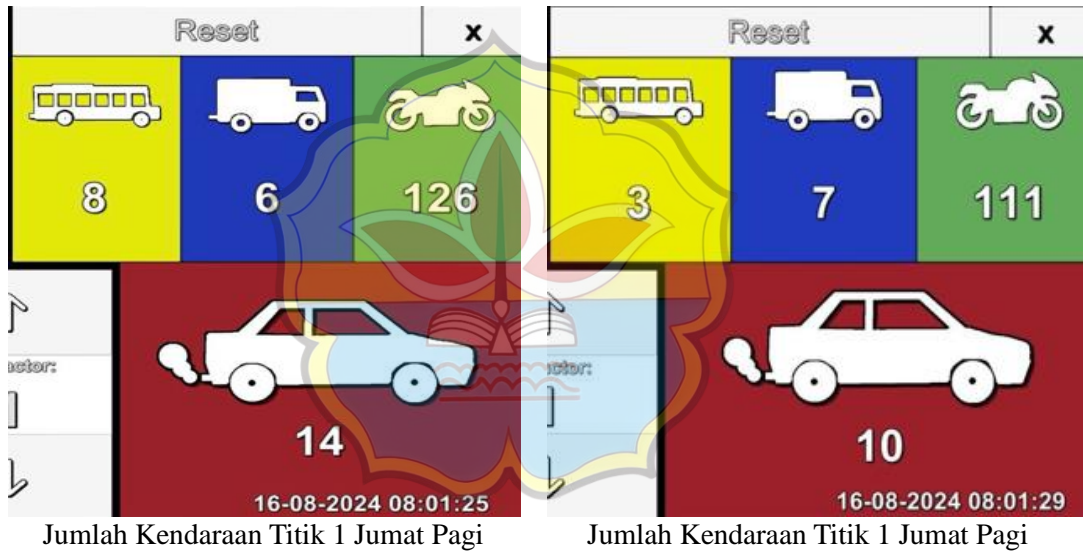
Nilai Min Kebisingan Titik 1 Senin Sore



Nilai Max Kebisingan Titik 2 Senin Sore

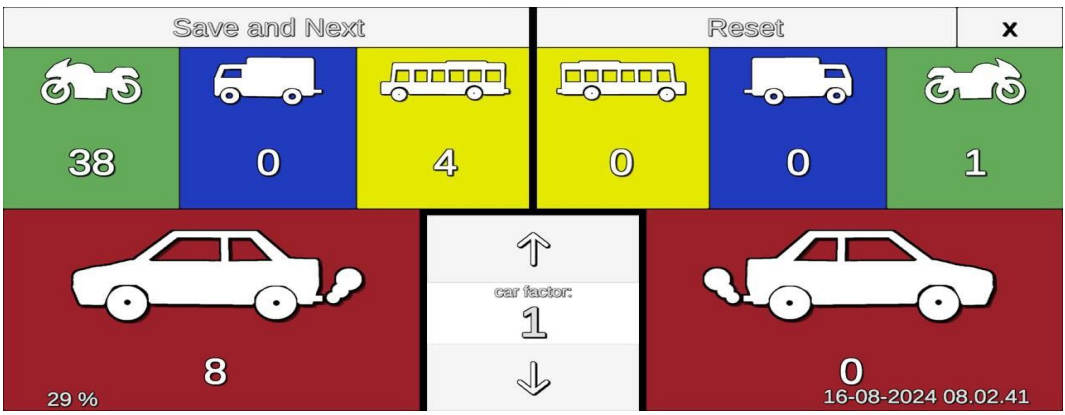


Nilai Min Kebisingan Titik 2 Senin Sore



(Masuk)

Jumlah Kendaraan Titik 1 Jumat Pagi (Keluar)



Jumlah Kendaraan Titik 2 Jumat Pagi



Konsentrasi Co Titik 1 Jumat Pagi



Konsentrasi Co Titik 2 Jumat Pagi



Nilai Max Kebisingan Titik 1 Jumat Pagi



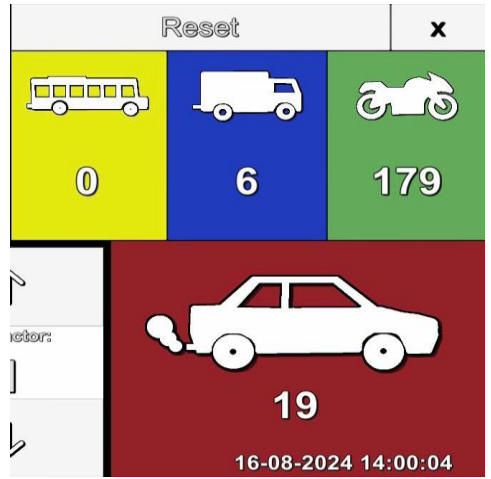
Nilai Min Kebisingan Titik 1 Jumat Pagi



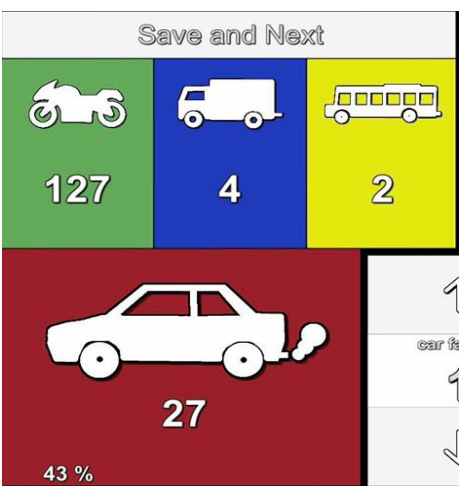
Nilai Max Kebisingan Titik 2 Jumat Pagi



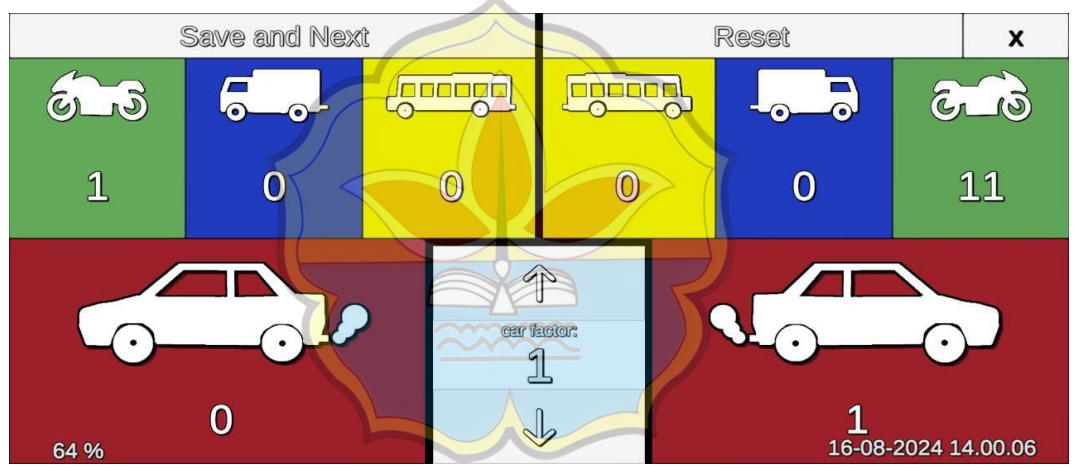
Nilai Min Kebisingan Titik 2 Jumat Pagi



Jumlah Kendaraan Titik 1 Jumat Siang (Masuk)



Jumlah Kendaraan Titik 1 Jumat Siang (Keluar)



Jumlah Kendaraan Titik 2 Jumat Siang



Konsentrasi Co Titik 1 Jumat Siang



Konsentrasi Co Titik 2 Jumat Siang



Nilai Max Kebisingan Titik 1 Jumat Siang



Nilai Min Kebisingan Titik 1 Jumat Siang



والق

63

Nilai Max Kebisingan Titik 2 Jumat Siang

Reset

5

rotor:



Nilai Min Kebisingan Titik 2 Jumat Siang
Save and Next

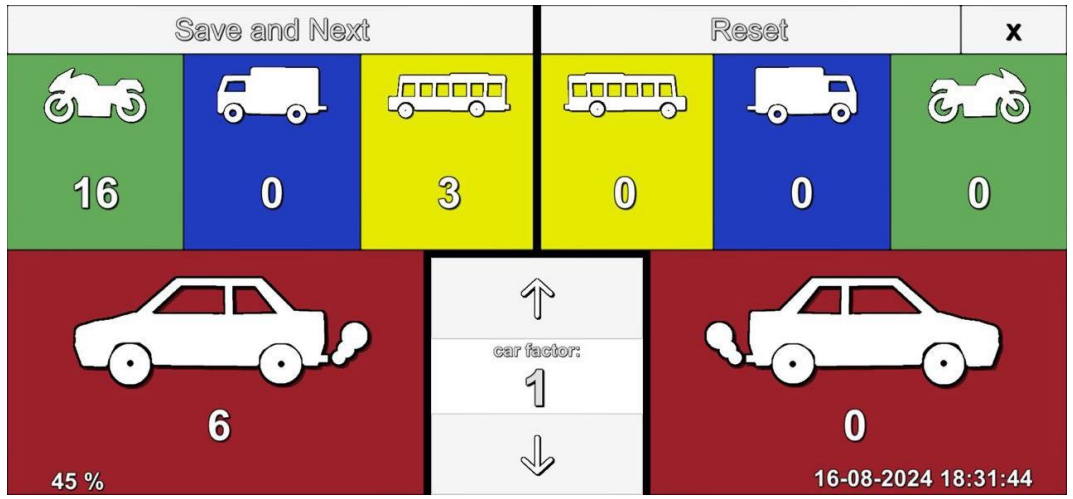
46
2
3

Jumlah Kendaraan Titik 1 Jumat Sore (Masuk)

17

16-08-2024 18:30:14

Jumlah Kendaraan Titik 1 Jumat Sore (Keluar)



Jumlah Kendaraan Titik 2 Jumat Sore



Nilai Max Kebisingan Titik 1 Jumat Sore

Nilai Min Kebisingan Titik 1 Jumat Sore



Nilai Max Kebisingan Titik 2 Jumat Sore



Nilai Min Kebisingan Titik 2 Jumat Sore



Save and Next Reset x

6 5 6 0 0 4 2 46

11 18-08-2024 08.00.04

Jumlah Kendaraan Titik 11 Minggu Pagi



Konsentrasi CO Titik 1 Minggu Pagi



Konsentrasi CO Titik 2 Minggu Pagi



Nilai Max Kebisingan Titik 1 Minggu Pagi



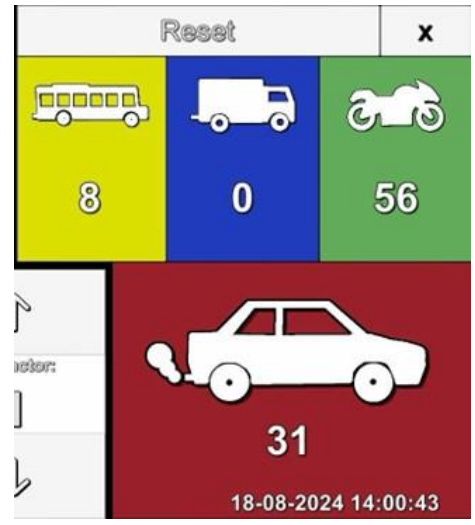
Nilai Min Kebisingan Titik 1 Minggu Pagi



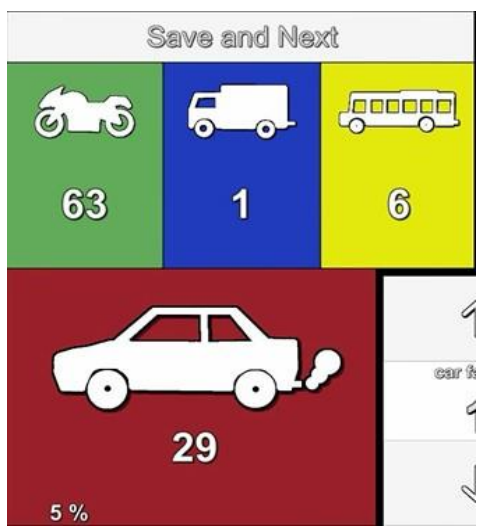
Nilai Max Kebisingan Titik 2 Minggu Pagi



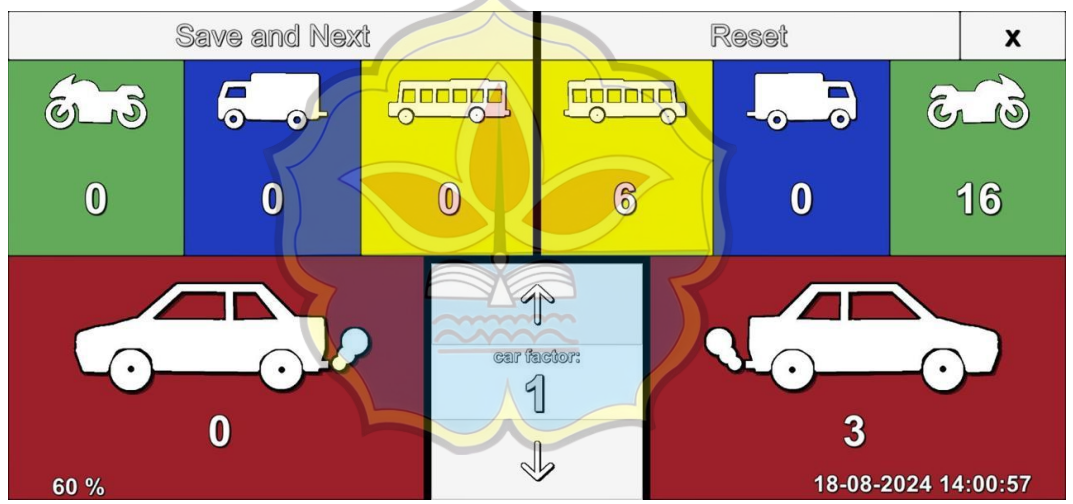
Nilai Min Kebisingan Titik 2 Minggu Pagi



Jumlah Kendaraan Titik 1 Minggu Siang (Masuk)



Jumlah Kendaraan Titik 1 Minggu Siang (Keluar)



Jumlah Kendaraan Titik 2 Minggu Siang



Konsentrasi CO Titik 1 Minggu Siang



Konsentrasi CO Titik 2 Minggu Siang



Nilai Max Kebisingan Titik 1 Minggu Siang



Nilai Min Kebisingan Titik 1 Minggu Siang



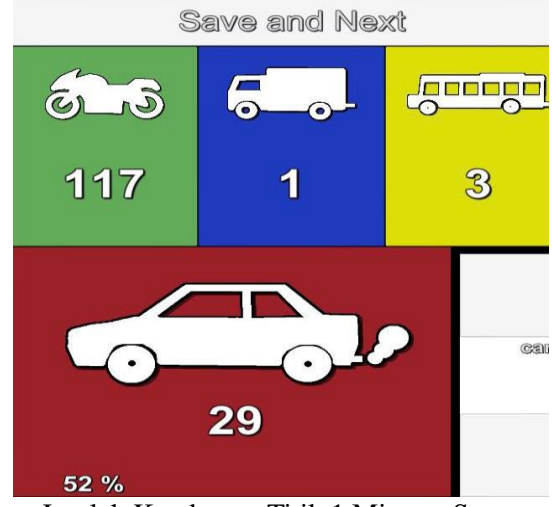
Nilai Max Kebisingan Titik 2 Minggu Siang



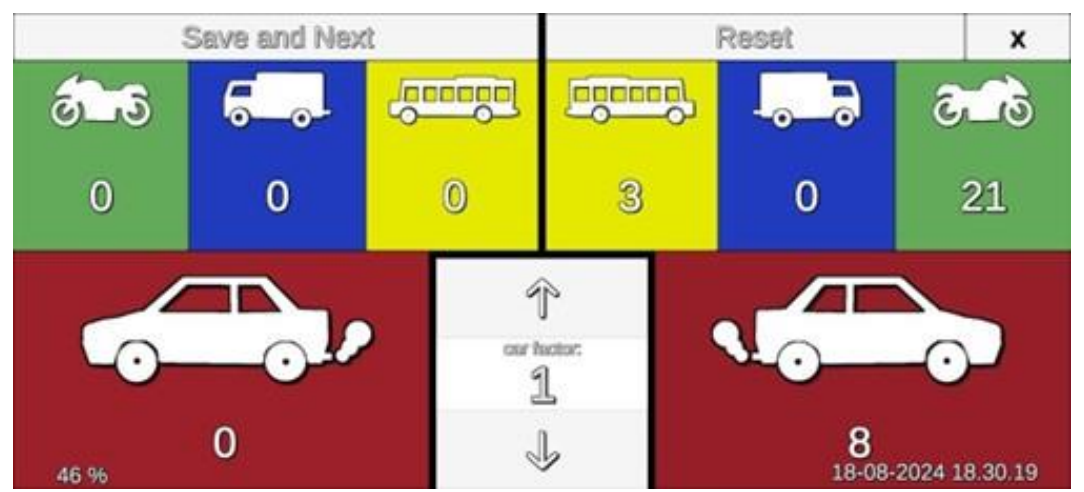
Nilai Min Kebisingan Titik 2 Minggu Siang



(Masuk)



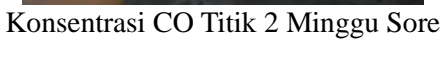
Jumlah Kendaraan Titik 1 Minggu Sore (Keluar)



Jumlah Kendaraan Titik 2 Minggu Sore



Konsentrasi CO Titik 1 Minggu Sore



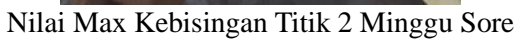


Nilai Max Kebisingan Titik 1 Minggu Sore



Nilai Min Kebisingan Titik 1 Minggu Sore







Nilai Min Kebisingan Titik 2 Minggu Sore

